

國立交通大學

物理研究所

碩士論文

以 X 光吸收光譜學檢驗 Hubbard 理論模型

Experimental tests on Hubbard model by X-ray absorption



研究 生：江孟恭

指 導 教 授：林俊源 教授

中華民國一百零一年九月

以 X 光吸收光譜學檢驗 Hubbard 理論模型

Experimental tests on Hubbard model by X-ray absorption  
spectroscopy.

研究 生：江孟恭

Student : Meng-Gong Jiang

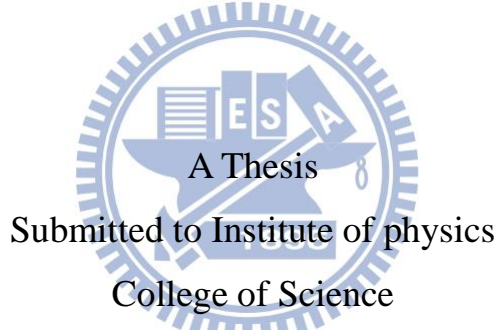
指 導 教 授：林俊源

Advisor : Jiunn-Yuan Lin

國 立 交 通 大 學

物 理 研 究 所

碩 士 論 文



Submitted to Institute of physics  
College of Science  
National Chiao Tung University  
in partial Fulfillment of the Requirements

for the Degree of

Master

in

physics

September 2012

Hsinchu, Taiwan

中華民國一百零一年九月

# 以 X 光吸收光譜學檢驗 Hubbard 理論模型

學生：江孟恭

指導教授：林俊源

國立交通大學物理研究所

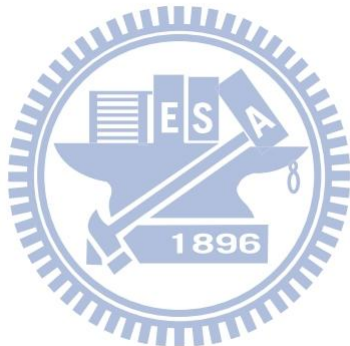
## 摘要

本論文中利用同步輻射中心極化光源進行 O K-edge 和 Cu L-edge X 光近緣吸收光譜(X-ray absorption near edge structure, XANES)實驗，樣品為脈衝雷射蒸鍍系統(Pulse Laser Deposition System, PLD)所製備的  $Y_{1-x}Ca_xBa_2Cu_3O_y$  ( $x=0$  、  $0.3$  、  $0.4$  ，  $6.0 \leq y \leq 6.95$ ) 薄膜。本實驗探討  $Y_{1-x}Ca_xBa_2Cu_3O_y$  薄膜的銅氧平面費米能階(Fermi level ;  $E_F$ )附近能帶之光譜權重(spectral weight)做討論。量測載子(電洞)濃度  $0 \leq p \leq 0.23$  區域間的樣品以分析其電洞之分佈，進而重新檢視 D. C. Peets *et al.* (Phys. Rev. Lett. **103**, 087402 (2009)) 中對 Hubbard model 理論預測的質疑。

我們並無觀察到 D. C. Peets 等人於論文中所宣稱在載子濃度  $p > 0.21$  處 Zhang-Rice band 光譜權重有飽和的情形，而是持續有增長的趨勢，故本實驗認為 Hubbard model 理論預測在  $0 \leq p \leq 0.23$  區域間仍可適用。

本論文亦補充李佩茹學姊實驗論文[26]中缺少的低載子濃度

$\text{YBa}_2\text{Cu}_3\text{O}_y$  薄膜的銅氧平面費米能階(Fermi level ;  $E_F$ )附近能帶之 O K-edge 光譜權重(spectral weight)，於偽能隙(Pseudogap)上下溫區是否有所差異，進而檢證 Philip Phillips *et al.*, Phys. Rev. Lett. **99**, 046404 (2007)所提出高溫超導體中 Hidden charge  $2e$  boson model 之新理論。實驗結果為光譜權重有所變化，與理論定性相符。



# Experimental tests on Hubbard model by X-ray absorption spectroscopy.

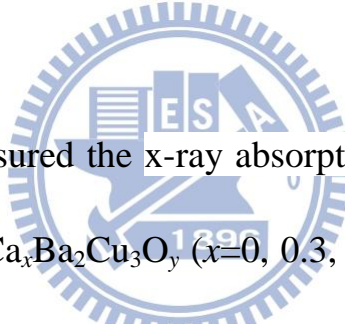
student : Meng-Gong Jiang

Advisor : Dr. Jiunn-Yuan Lin

Institute of physics

National Chiao Tung University

## Abstract



In this thesis, We measured the x-ray absorption spectroscopy (XAS) at O  $K$ - and Cu  $L$ -edges of  $Y_{1-x}Ca_xBa_2Cu_3O_y$  ( $x=0, 0.3, 0.4, 6.0 \leq y \leq 6.95$ ) thin films which were fabricated by pulse laser deposition technique. We studied the spectral weight at the doping level  $0 \leq p \leq 0.23$  to check the Hubbard model, and compared the results to the theoretical trend proposed by D. C. Peets *et al.*, Phys. Rev. Lett. **103**, 087402 (2009).

It is concluded that Zhang-Rice band spectrum weight still grows with the  $p$ . The experimental results suggest that the Hubbard model be applicable at least up  $p=0.23$ .

We also measure the temperature dependent XAS on  $YBa_2Cu_3O_y$  ( $0.5 \leq p \leq$

0.092) above and below the pseudogap temperature  $T^*$ . The experimental results qualitatively support the theory of the Hidden charge  $2e$  boson.



## 謝 辭

碩班兩年修業來，雖然遇到了很多困難，但也感謝命運的安排讓我平安的走過這段路程。每個事件、每件學習、每一個人都是烙印在我生命中不可或缺的拼圖，讓我碩班兩年沒有任何留白，這也是未來支持我向前跑的動力。

首先感謝林俊源老師在學術上的指導，並給我到韓國參加會議的機會，以及同步輻射中心陳錦明老師和李振民大哥的幫忙及教導，還有電物所洪天河先生在實驗上的幫忙，因為有您們的教導和幫忙，我才能順利的度過這些在實驗上所遇到的難關。

也非常感謝 Tra 學長、佩茹學姊、嘉偉學長、昱廷學長、柏全學長、怡姍學姐、文彥學長及宗諺學長在碩班時耐心的教導我，能認識學長姐你們真的是很幸運，也希望在未來大家都能平安順利。

也因為有實驗室裡的同儕、學弟妹，誠文、政男、光彥、軍佑、蔡婷、堯薇、沛姍、智匡、昶鴻、凱威以及天約，有你們的實驗室真的非常開心，感謝你們在我碩班期間的不辭辛苦幫忙，雖然我們有吵鬧、有喧囂，但是切的一切都不及我們感受到的快樂。

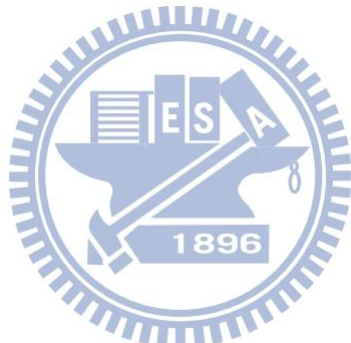
最後感謝國小、國中、高中、大學及研究所同學及所有朋友們，我們有幸一起在新竹念書，不管是以前認識，還是上研究所認識，有知心的你們陪我順利度過碩班兩年是很有緣份的，希望我們在未來都能順利的踏上自己所建築的軌道，勇往直前。

# 目錄

|                                  |      |
|----------------------------------|------|
| 中文摘要.....                        | i    |
| 英文摘要.....                        | iii  |
| 謝辭.....                          | v    |
| 目錄.....                          | vi   |
| 表次.....                          | vii  |
| 圖次.....                          | viii |
| 第一章 緒論.....                      | 1    |
| 1.1 實驗動機.....                    | 1    |
| 1.2 Hubbard model 簡介.....        | 5    |
| 第二章 材料與理論簡介.....                 | 7    |
| 2.1 鈇鋨銅氧化物之簡介.....               | 7    |
| 2.1.1 鈇鋨銅氧的晶體結構.....             | 7    |
| 2.1.2 鈇鋨銅氧支費米能階附近電子結構.....       | 9    |
| 2.1.3 鈇鋨銅氧的傳導機制.....             | 10   |
| 2.1.4 偽能隙 (Pseudogap).....       | 11   |
| 第三章 實驗方法.....                    | 12   |
| 3.1 樣品製備-薄膜製備.....               | 12   |
| 3.1.1 靶材製備.....                  | 12   |
| 3.1.2 薄膜磊晶.....                  | 13   |
| 3.2 特性量測之分析、裝置及原理介紹.....         | 17   |
| 3.2.1 X-ray 繞射分析.....            | 17   |
| 3.2.2 電阻率量測介紹.....               | 17   |
| 3.2.3 热處理流程(控氧).....             | 20   |
| 3.2.4 Seebeck effect.....        | 23   |
| 3.2.5 XANES 之原理簡介.....           | 26   |
| 第四章 實驗結果與討論.....                 | 32   |
| 4.1 實驗設計.....                    | 32   |
| 4.2 實驗流程.....                    | 33   |
| 4.3 O K edge XANES 光譜分析.....     | 36   |
| 4.4 Cu L edge XANES 光譜分析.....    | 46   |
| 4.5 O K edge 變溫之 XANES 光譜分析..... | 49   |
| 第五章 結論.....                      | 54   |
| 參考文獻.....                        | 55   |
| 附錄一.....                         | 57   |
| 附錄二.....                         | 74   |

## 表次

|                   |    |
|-------------------|----|
| 表 3-1 燒靶條件.....   | 13 |
| 表 3-2 薄膜製備條件..... | 14 |



## 圖次

|  |    |
|--|----|
| 圖 1-1 為 Zhang-Rice Band 強度隨著載子濃度變化的趨勢圖。.....   | 3  |
| 圖 1-2 為 Wang 等人的 three band Hubbard model 模擬計算圖。.....  | 3  |
| 圖 1-3 Liebsch 的模擬數據模擬 Zhang-Rice band 光譜權重增長的趨勢圖。....  | 4  |
| 圖 1-4 為 Hidden charge $2e$ boson model 之理論圖 .....  | 4  |
| 圖 2-1 為釔銨銅氧之晶體結構。 .....  | 8  |
| 圖 2-2 為 $\text{YBa}_2\text{Cu}_3\text{O}_{6.93}$ 之晶體示意圖。 .....   | 8  |
| 圖 2-3 銅氧化物費米能階附近電子結構圖。.....  | 10 |
| 圖 3-1 雷射蒸鍍系統裝置圖。.....  | 14 |
| 圖 3-2 電阻-溫度量測系統裝置圖。 .....  | 18 |
| 圖 3-3(a)電阻四點量測法。.....  | 19 |
| 圖 3-4(b) van der Pauw 電阻率量測法。.....   | 19 |
| 圖 3-5 $f(\frac{R_1}{R_2})$ 對 Q 的函數圖。.....  | 19 |
| 圖 3-6 YBCO 氧相圖。.....   | 20 |
| 圖 3-7 $\text{YBa}_2\text{Cu}_3\text{O}_{7-\delta}$ 薄膜與多晶之臨界溫度 $T_c$ 與氧含量 $\delta$ 關係圖。.....  | 21 |
| 圖 3-8 热處理(控氧)系統裝置圖。.....   | 22 |
| 圖 3-9 Seebeck 效應示意圖。.....  | 24 |
| 圖 3-10 Thermoelectric power 量測系統之樣品座示意圖。.....  | 24 |
| 圖 3-11 Thermoelectric power 量測系統示意圖。 .....   | 25 |
| 圖 3-12 於 290K 下 Seebeck coefficient 與電洞載子濃度 $p$ 相圖。.....   | 26 |
| 圖 3-13 為 X 光吸收光譜之電子及螢光產率原理圖。.....  | 28 |
| 圖 3-14 以螢光做為自我吸收校正的概念圖。 .....  | 30 |
| 圖 3-15 6m HSGM 光束線光學系統配置圖。.....  | 31 |
| 圖 4-1 $\text{Y}_{1-x}\text{Ca}_x\text{Ba}_2\text{Cu}_3\text{O}_y$ ( $x=0, 0.3, 0.4$ ) 氣相圖。 .....   | 33 |
| 圖 4-2 $\text{YBa}_2\text{Cu}_3\text{O}_y$ ( $y=6.03, 6.08, 6.1$ ) 薄膜電阻率與溫度相圖。.....   | 34 |
| 圖 4-3 $\text{Y}_{1-x}\text{Ca}_x\text{Ba}_2\text{Cu}_3\text{O}_y$ ( $x=0, 0.3, 0.4, 6.0 \leq y \leq 6.95$ ) 薄膜電阻率與溫度相圖。 .....                      | 34 |
| 圖 4-4 $\text{Y}_{1-x}\text{Ca}_x\text{Ba}_2\text{Cu}_3\text{O}_y$ ( $x=0, 0.3, 0.4$ ) 薄膜之 x-ray 繞射分析圖。.....  | 35 |
| 圖 4-5 $\text{Y}_{1-x}\text{Ca}_x\text{Ba}_2\text{Cu}_3\text{O}_y$ ( $x=0, 0.3, p=0.035 \sim 0.17$ ) 薄膜之入射光電場垂直 $c$ 軸，<br>O K edge XANES 吸收光譜。..... | 38 |

|  |    |
|--|----|
| 圖 4-6 $\text{Y}_{1-x}\text{Ca}_x\text{Ba}_2\text{Cu}_3\text{O}_y$ ( $x=0, 0.3, 0.4$ , $p=0.092\sim0.226$ ) 薄膜之入射光電場垂直 $c$ 軸, O $K$ edge XANES 吸收光譜。.....         | 39 |
| 圖 4-7 $\text{YBa}_2\text{Cu}_3\text{O}_{6.95}$ 薄膜之入射光垂直 $c$ 軸, O $K$ edge XANES 吸收光譜擬合圖。.....  | 40 |
| 圖 4-8 林沛宏論文 $\text{Y}_{1-x}\text{Ca}_x\text{Ba}_2\text{Cu}_3\text{O}_y$ ( $x=0, 0.3$ ) 薄膜之入射光電場垂直 $c$ 軸, O $K$ edge XANES 吸收光譜。.....                             | 41 |
| 圖 4-9 以高斯曲線擬合取得之 Zhang-Rice band 光譜權重對載子濃度 $p$ 之作圖。.....   | 42 |
| 圖 4-10 以 lowest-energy prepeak 為中心取左右 0.25eV 為積分範圍所得 Zhang-Rice band 光譜權重對載子濃度 $p$ 之作圖。.....   | 43 |
| 圖 4-11 以 lowest-energy prepeak 為中心取左右 0.5eV 為積分範圍所得 Zhang-Rice band 光譜權重對載子濃度 $p$ 之作圖。.....  | 43 |
| 圖 4-12 不同擬合法所得之 Zhang-Rice band 光譜權重對載子濃度 $p$ 之作圖。.....  | 44 |
| 圖 4-13 $\text{Y}_{1-x}\text{Ca}_x\text{Ba}_2\text{Cu}_3\text{O}_y$ ( $x=0, 0.3, 0.4$ , $p=0.035\sim0.226$ ) 薄膜之入射光電場平行 $c$ 軸, O $K$ edge XANES 吸收光譜。.....        | 45 |
| 圖 4-14 $\text{Y}_{1-x}\text{Ca}_x\text{Ba}_2\text{Cu}_3\text{O}_y$ ( $x=0, 0.3, 0.4$ , $p=0.035\sim0.17$ ) 薄膜之入射光電場垂直 $c$ 軸, Cu $L_{III}$ edge XANES 吸收光譜。.....  | 47 |
| 圖 4-15 $\text{Y}_{1-x}\text{Ca}_x\text{Ba}_2\text{Cu}_3\text{O}_y$ ( $x=0, 0.3, 0.4$ , $p=0.133\sim0.226$ ) 薄膜之入射光電場垂直 $c$ 軸, Cu $L_{III}$ edge XANES 吸收光譜。..... | 47 |
| 圖 4-16 $\text{YBa}_2\text{Cu}_3\text{O}_{6.5}$ , $p=0.092$ 薄膜 $T=300\text{K}\sim18\text{K}$ O $K$ edge XANES 光譜實驗數據圖。.....                                       | 50 |
| 圖 4-17 $\text{YBa}_2\text{Cu}_3\text{O}_{6.35}$ , $p=0.08$ 薄膜 $T=300\text{K}\sim17\text{K}$ O $K$ edge XANES 光譜實驗數據圖。.....                                       | 51 |
| 圖 4-18 $\text{YBa}_2\text{Cu}_3\text{O}_{6.3}$ , $p=0.055$ 薄膜 $T=300\text{K}\sim17\text{K}$ O $K$ edge XANES 光譜實驗數據圖。.....                                       | 51 |
| 圖 4-19 $\text{YBa}_2\text{Cu}_3\text{O}_{6.3}$ , $p=0.05$ 薄膜 $T=300\text{K}\sim17\text{K}$ O $K$ edge XANES 光譜實驗數據圖。.....  | 52 |
| 圖 4-20 以 300K 為原點之 $\text{YBa}_2\text{Cu}_3\text{O}_y$ ( $T_c=52\text{K}, 35\text{K}, 20\text{K}, 0\text{K}$ ) 不同溫度下 $\Delta S$ 變化趨勢圖(呂宗諺)。.....                 | 52 |
| 圖 4-21 以 300K 為原點之 $\text{YBa}_2\text{Cu}_3\text{O}_y$ ( $T_c=56\text{K}, 44\text{K}, 9\text{K}, 0\text{K}$ ) 不同溫度下 $\Delta S$ 變化趨勢圖。.....                       | 53 |

# 第一章 緒論

## 1.1 實驗動機

自 1986 年高溫超導體(hight  $T_c$  superconductor, HTSC)被發現以來，科學界在高溫超導體上發現許多不同於傳統超導體之性質，其中微觀物理機制及其正常態和超導態之性質、費米面之形狀及偽能隙(pseudogap)隨著載子濃度變化之曲線，乃科學界中目前極力探索之研究方向。

D. C. Peets 等人於 2009 年發表的論文中[1]提出在分析高溫超導體的近緣吸收光譜中，載子濃度處於 overdoped 區域的高溫超導樣品於 O K-edge XANES 光譜中如預期 upper Hubbard Band 光譜權重逐漸變小，但 Zhang-Rice Band 的光譜權重增長卻不如理論預測，如圖 1-1 所示，虛線代表為理論預測，但在載子濃度超過 0.21 後，實驗結果顯示 Zhang-Rice Band 光譜權重增長趨勢明顯小於理論值，並有飽合的趨勢，進而提出 single-band Hubbard model 不適用於描述高溫超導銅氧化物在 overdoped regime 中的情形。此實驗結果帶來新的問題，是否有其他理論模型可以符合高溫超導銅氧化物在 overdoped regime 的行為？或是 Hubbard model 真的在 overdoped regime 中不適用嗎？亦或實驗是正確的，那消失的電洞轉移到哪？在 2010 年 Xin Wang 等人發表的研究[2]中認為 three-band Hubbard model 的預測也

依然無法符合於 D. C. Peets 等人的實驗結果。而 Liebsch 的理論計算[3,4]提出目前並無充分證明 single-band Hubbard model 在 overdoped regime 中之不適用。因此為了更明白 single-band Hubbard model 在 overdoped regime 中是否適用，也為了更清楚與理論計算作比較，本論文探討並分析 underdoped 到 overdoped ( $p=0\sim0.23$ )區域載子濃度下電洞之分佈。

本論文以 D. C. Peets 等人所發表的研究為動機，探討在高溫超導銅氧化物系統  $Y_{1-x}Ca_xBa_2Cu_3O_y$  ( $x=0, 0.3, 0.4$ ,  $6.0 \leq y \leq 6.95$ ) 薄膜中，觀察費米能階附近能帶之光譜權重的變化，與文獻的實驗結果做比較。

另外本論文也補充李佩茹學姐論文[26]中缺少的低載子濃度  $YBa_2Cu_3O_y$  薄膜的銅氧平面費米能階(Fermi level ;  $E_F$ )附近能帶之 O K-edge 光譜權重(spectral weight)，於偽能隙(Pseudogap)上下溫區是否有所差異，進而檢證 Philip Phillips et al. (Phys. Rev. Lett. **99**, 046404 (2007)) 所提出高溫超導體中 Hidden charge  $2e$  boson model 之新理論。

在實驗方法上，XANES ( x-ray absorption near edge structure ) 是分析材料空軌域電子組態(電洞)上直接且強而有力的工具，可由 O K-edge 光譜中的幾個特定能量上，了解在銅氧練、銅氧面及軸向氧上的載子分布情形，故使用此方法對本論文議題作探討。

本篇論文架構安排如下：第一章為緒論；第二章為將對釔鋇銅氧化物此材料作簡介；第三章為實驗方法；第四章為實驗結果與討論；第五章為

結論。

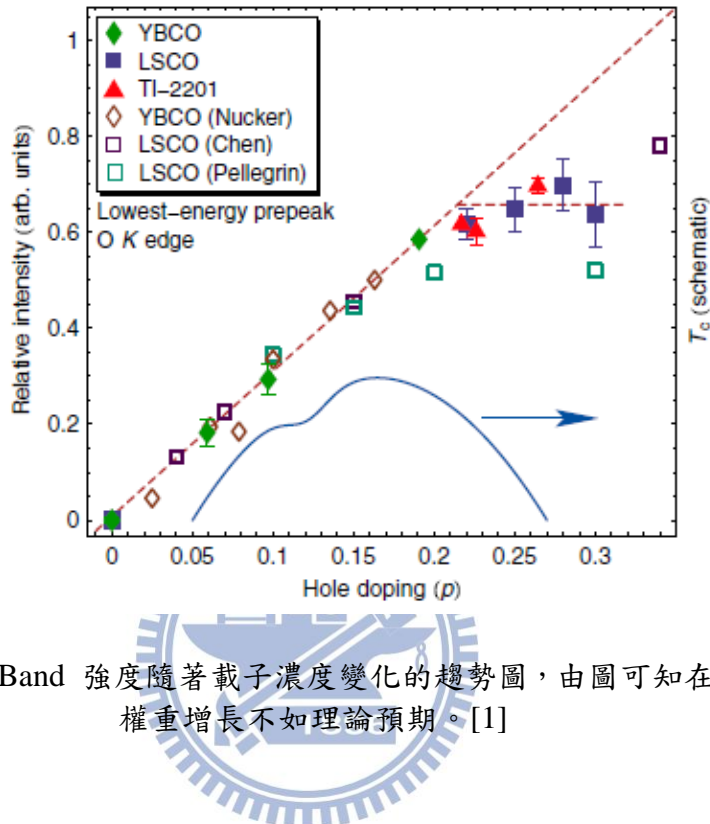


圖 1-1 為 Zhang-Rice Band 強度隨著載子濃度變化的趨勢圖，由圖可知在  $p>0.21$  後光譜權重增長不如理論預期。[1]

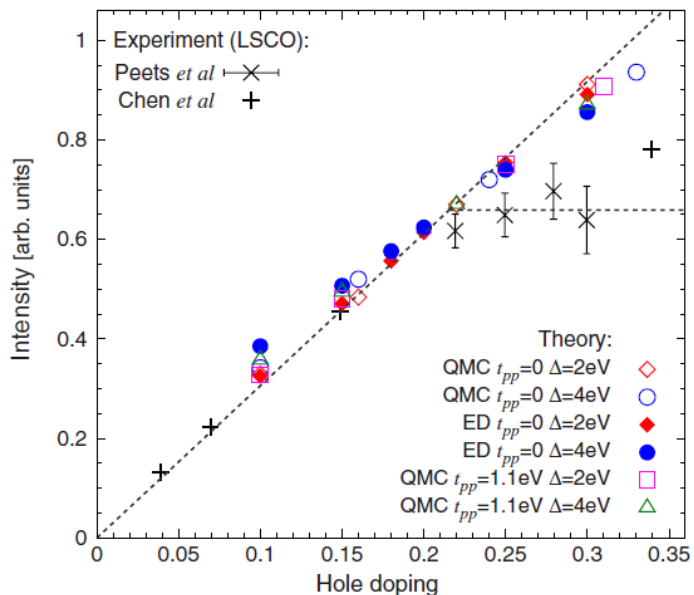


圖 1-2 為 Wang 等人的理論計算[4]，在  $p > 0.21$  後 three band Hubbard model 模擬計算無法符合 Peets 等人的實驗數據[2]。

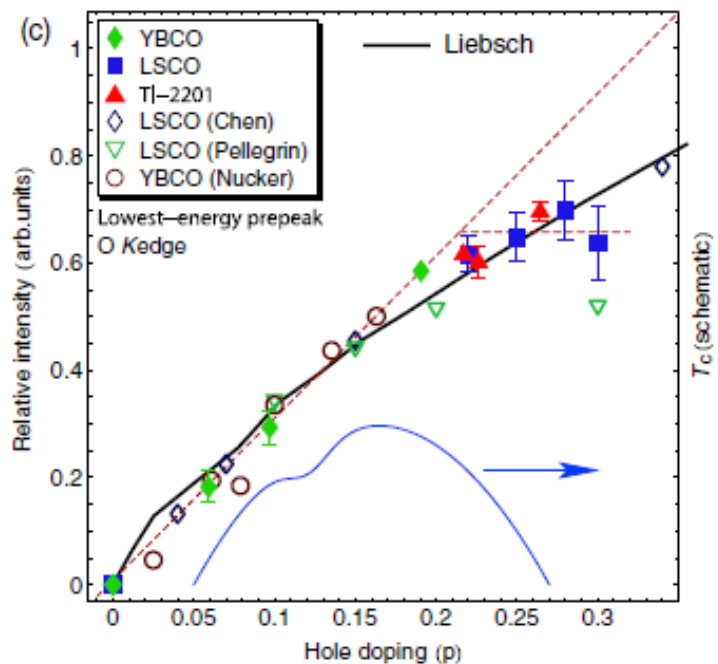


圖 1-3 黑色實線為 Liebsch 的模擬數據[4]，有較符合樣品光譜權重增長的趨勢。  
虛線為 Peets 等人的理論模型[1]。

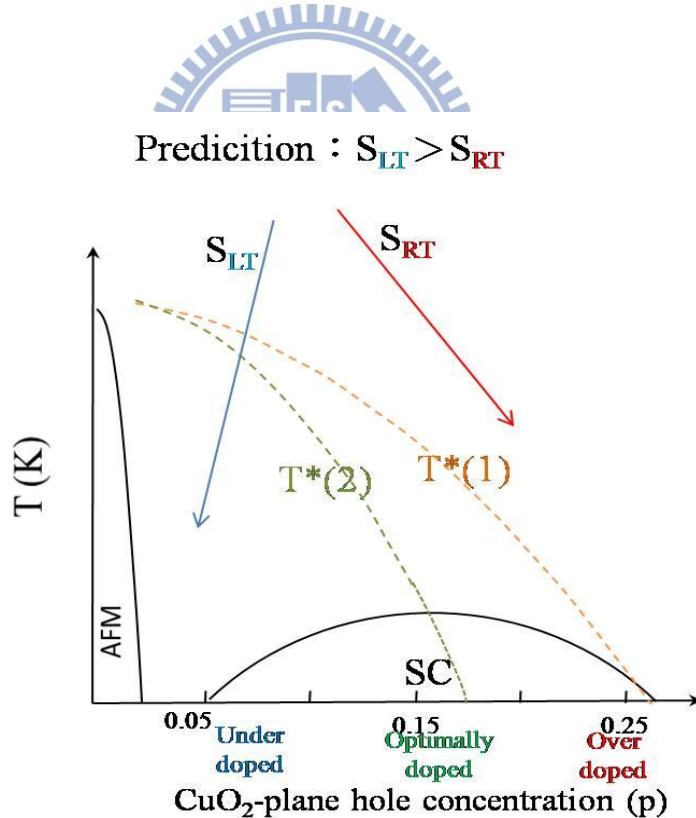


圖 1-4 為 Hidden charge 2e boson model 之理論； $T^*(1)$ 、 $T^*(2)$ 為不同預測之偽能隙， $S_{RT}$ 為室溫 Zhang-Rice band (ZR) 之光譜權重， $S_{LT}$ 為低溫 ZR 之光譜權重。

## 1.2 Hubbard model 簡介

Hubbard model 為描述強關聯系統的模型，闡述 Mott insulators 中 3d 電子軌域交疊很大，d 軌道中電子相互靠近，故不能再忽略電子和電子間的庫倫作用力，所以在 Hamiltonian 算符中考慮了電子和電子間的庫倫作用力，其式如下：

$$H = - \sum_{\langle i,j \rangle \sigma} t_{ij} c_{i\sigma}^+ c_{j\sigma} + U \sum_i \hat{n}_i \hat{n}_i \quad (1-1)$$

其中，H 為 Hamiltonian 量，而  $c_{i\sigma}^+ c_{j\sigma}$  為具有自旋  $\sigma$  處在電子態上  $\Psi_i$  電子的產生(creation operator)與湮滅(annihilation operation)算符， $\langle i, j \rangle$  表示對近鄰座位求和， $t_{ij}=1$ ，當  $i, j$  為最近鄰；其它情形為零，另外 U 為一對正負自旋電子處於同一座位上的 Coulomb 排斥能（相關能）。式中前項  $- \sum_{\langle i,j \rangle \sigma} t_{ij} c_{i\sigma}^+ c_{j\sigma}$  為單一方向自旋電子佔據某晶格位置中之躍遷運動；則後項  $U \sum_i \hat{n}_i \hat{n}_i$  為電子與電子之庫倫交互作用力。

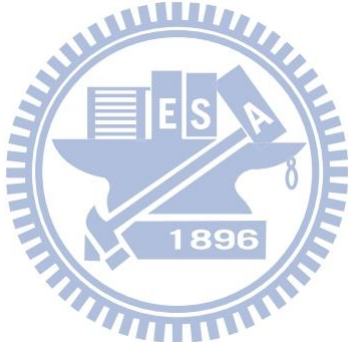
在強耦合情況  $U \gg |t|$ ，Hubbard model 可以近似成 t-J model：

$$H = - \sum_{\langle i,j \rangle \sigma} t_{ij} c_{i\sigma}^+ c_{j\sigma} + J_{ij} \sum_{ij} \left( s_i s_i - \frac{1}{4} n_i n_j \right) \quad (1-2)$$

其中， $J_{ij} = 4 \frac{|t_{ij}|}{U}$ 。另外式中前項  $- \sum_{\langle i,j \rangle \sigma} t_{ij} c_{i\sigma}^+ c_{j\sigma}$  為單一方向自旋電子佔據某晶格位置中之躍遷運動；則後項  $\sum_{ij} \left( s_i s_i - \frac{1}{4} n_i n_j \right)$  描述 indirect exchange interaction 中，位於 copper sites 自旋  $S=1/2$  電子的 antiferromagnetic exchange 作用。

高溫超導體為 Mott insulators，與能帶理論預測其為金屬相違背，其銅

氧平面受強關聯作用力而形成一個能隙，此能隙區分造成了 upper Hubbard band 與 lower Hubbard band。當外加電洞進入銅氧平面後，電洞與銅的自旋相互作用進而在 upper Hubbard band 與 lower Hubbard band 之間形成了 Zhang-Rice band [9]。所以我們利用 Oxygen K edge x-ray absorption spectra 來分析  $\text{Y}_{1-x}\text{Ca}_x\text{Ba}_2\text{Cu}_3\text{O}_y$  ( $x=0, 0.3, 0.4, 6.0 \leq y \leq 6.95$ ) 薄膜的 Zhang-Rice band 光譜權重變化來檢驗 Hubbard model。



## 第二章 材料與理論的簡介

本章節中將對釔銨銅氧化物此材料作簡介。

### 2.1 釔銨銅氧化物之簡介

本章節中將說明釔銨銅氧化物之結構與其傳導機制，及對偽能隙(Pseudogap)之簡介。

#### 2.1.1 釔銨銅氧的晶體結構



釔銨銅氧化物( $\text{YBa}_2\text{Cu}_3\text{O}_y$ ,  $6 \leq y \leq 7$ )乃是具有高度異向性的晶格結構，如圖 2-1 (a)、(b)，其結構稱之為鈣鈦礦結構(perovskite) [5]，主要是由兩層  $\text{Cu}(1)\text{O}(1)$ - $\text{BaO}(4)$  上下夾住  $\text{Cu}(2)\text{O}(2)$ - $\text{Y}-\text{Cu}(2)\text{O}(3)$  層，如圖 2-2。而在  $\text{Cu}(2)-\text{O}(2,3)$  所形成的平面結構稱之為銅氧面( $\text{CuO}_2$  plane)，也是  $\text{YBa}_2\text{Cu}_3\text{O}_y$  的導電層。當氧含量高時，會於  $b$  軸方向形成  $\text{Cu}(1)-\text{O}(1)-\text{Cu}(1)$  的鏈狀結構，稱為銅氧鏈(Cu-O chain)，當含氧量降低時，結構會發生由 orthorhombic 到 tetragonal 的相變[6]。若  $y > 6.3$  時釔銨銅氧將會從絕緣性轉變為超導性[7]。而沿著  $c$  軸方向的  $\text{O}(4)$ ，則稱之為軸向氧(apical)。

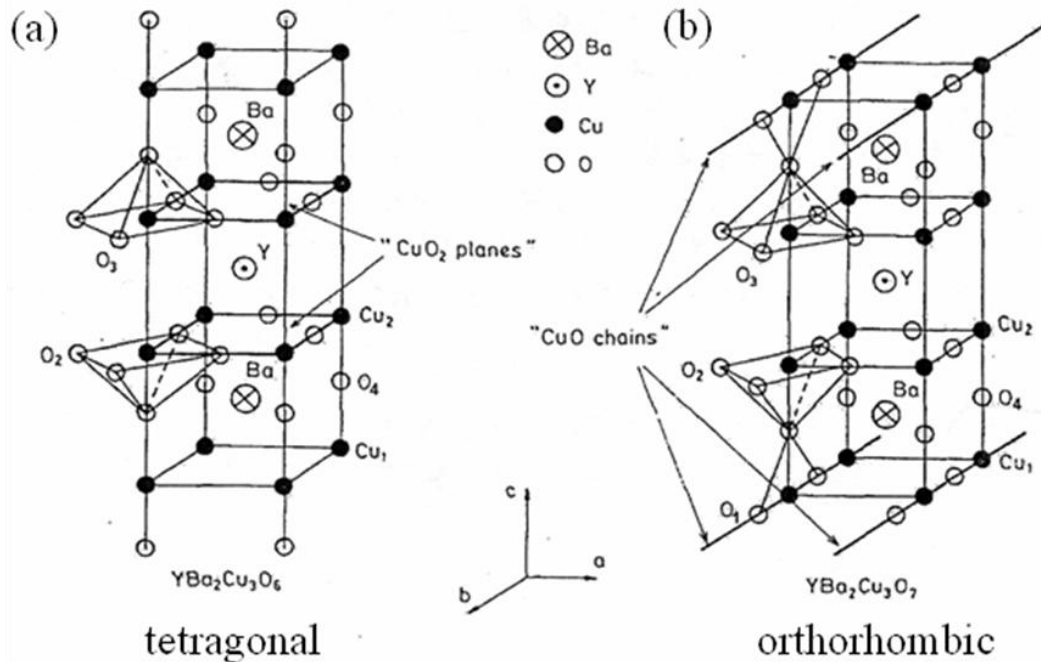


圖 2-4 為釔鋇銅氧之晶體結構：(a) 為  $\text{YBa}_2\text{Cu}_3\text{O}_6$  絶緣體；  
 (b) 為  $\text{YBa}_2\text{Cu}_3\text{O}_{6.93}$  超導體。[5]

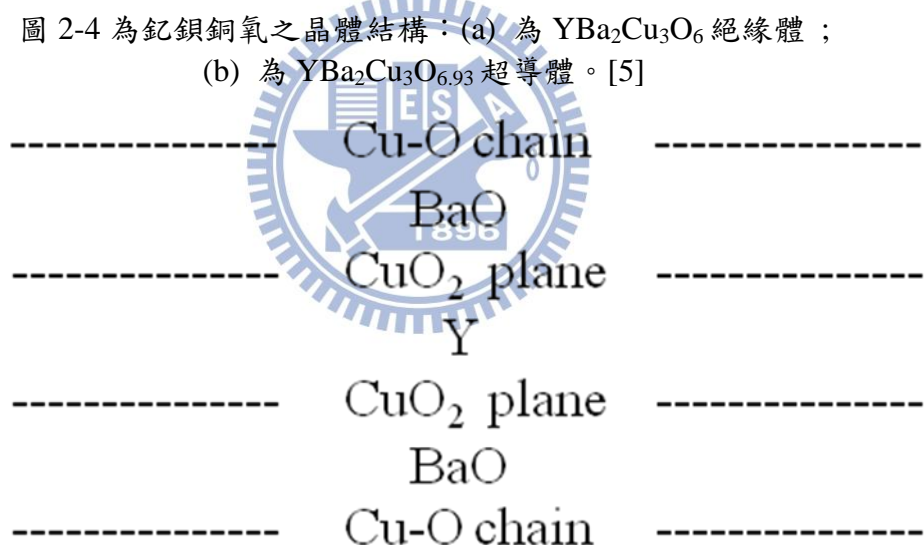


圖 2-5 為  $\text{YBa}_2\text{Cu}_3\text{O}_{6.93}$  之晶體示意圖。

## 2.1.2 鈇鋨銅氧之費米能階附近電子結構

銅氧化物中的銅氧面之費米能階(Fermi level ;  $E_F$ )附近能帶，主要是由 O  $2p_\sigma$  與 Cu  $3d_{x^2-y^2}$  混成所貢獻[8]，如圖 2-3 所示，(a)小圖為 O  $2p_\sigma$  與 Cu  $3d_{x^2-y^2}$  軌域示意圖，當將 one electron tight-binding model 考慮進去後，分裂出三個能帶，如(b)小圖所示，預測有半滿的導帶 AB，樣品應有良好的導性，但將強庫倫作用力  $U$  考慮進去後，導帶 AB 分裂為 upper Hubbard band 及 lower Hubbard band，而樣品變為 Mott insulator，如(c)小圖所示。考慮到強庫倫作用力  $U \gg \Delta_{ct}$  (gap between the highest filled anion-like and the lowest empty cation-like states) 後，因能隙介在 UHB 和 NB 間，為典型的 charge transfer insulator，見圖(d)。最後考慮 Cu-O hybridization，使得 B 分裂成在價帶邊緣的 Zhang-Rice singlet 及處在能量較低處的 Triplet，如圖(e)。當超導體未摻入電洞時，電子填滿 ZRS 與 LHB，此時 UHB 為空，則將會呈現絕緣特性。當摻入電洞進入樣品（如在 YBCO 增加氧含量）時，則會在 ZRS 中出現未填滿之軌域，而形成 p-type 超導體。如圖(f)。

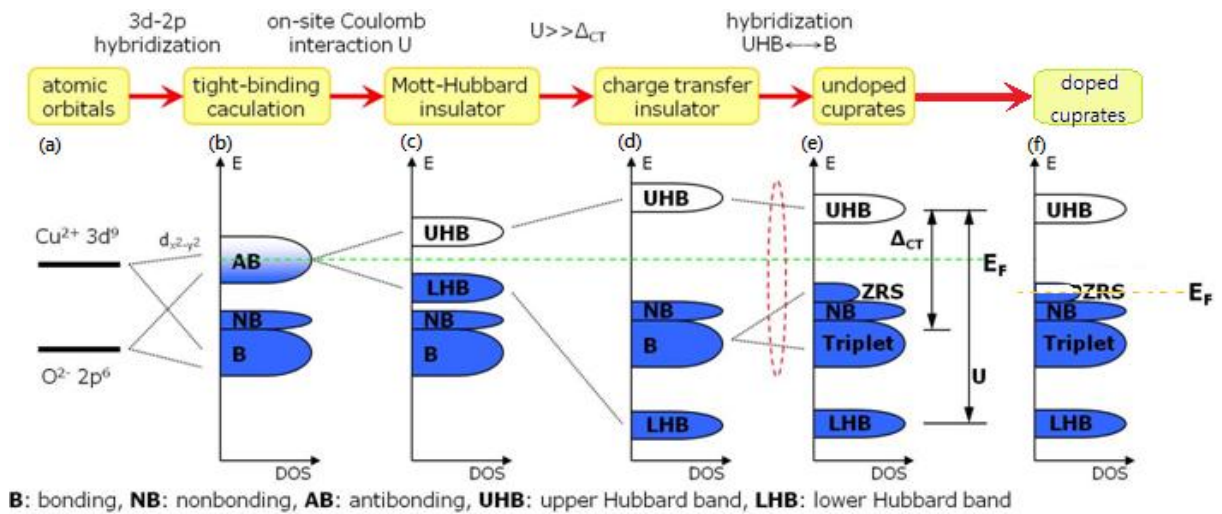


圖 2-6 銅氧化物費米能階附近電子結構圖。[24]

### 2.1.3 鈇鋇銅氧的傳導機制

在缺氧的樣品中，銅氧面上的銅離子( $\text{Cu}^{2+}$ )具有( $d^9$ )電子軌域，並對鄰近的銅離子具有強的反磁性，此時銅氧面為絕緣，當增加銅氧面載子（電洞）的數目，如以二價的原子取代原本三價的原子或增加  $\text{YBa}_2\text{Cu}_3\text{O}_6$  中的氧，如同在銅氧面當中加入  $\text{O}^{2-}$  成分形成  $\text{Cu}-\text{O}$  鏈，銅氧面為了維持電荷平衡，電子將從銅氧面離開，留下具移動性的電洞（失去電子），於是開始具導電之特性。當電洞在臨界溫度  $T_c$  以下產生了 Cooper pairs，因此才開始具有超導性[10]。

我們可將銅氧化物超導體視為用銅氧面分隔載子庫的架構，而  $\text{Cu}-\text{O}$  鏈可以被視為載子庫，其具有傳遞載子進入銅氧面的功能，故我們可以直覺的想像由載子庫傳遞載子到銅氧面上，銅氧面才開始具有導電之特性。

## 2.1.4 偽能隙(Pseudogap)

偽能隙的發現最早是由低摻雜(underdoped)中的銅氧化物，經由 NMR 的實驗發現銅氧化物在正常態(normal state)中，於某特定溫度( $T^*$ )下之 Fermi level 附近時，可由電荷和自旋在激發光譜上其狀態密度(Density of state)明顯地變少之現象推測似乎有一個能隙產生，但是仍可保持金屬之特性，故稱之為「偽能隙」，而從其它實驗中，如中子繞射、傳輸特性、比熱、自旋磁化率、光導率、穿隧光譜、拉曼光譜及角分析光電子能譜(ARPES)等，也可量測到偽能隙。由電阻率與溫度之相圖可判別出偽能隙溫度( $T^*$ )，其定義為當溫度由高溫區往低溫區移動，電阻率與溫度之變化趨勢開始呈現非線性之溫度即為偽能隙溫度( $T^*$ )。



一般認為超導態的發生，一定要符合兩項要素，一為電子與電子之間必須要形成庫柏對(Cooper pair)，另一要素則是庫柏對中的相位要一致，當兩者皆符合時才能形成超導態。偽能隙的存在，直到光電子能譜實驗，才直接被證明出來，因為光電子能譜可量測出對應於電子對中束縛能的正常態之能隙，如同在低摻雜銅氧化物於  $T > T_c$  時將具有超導載子。然而這些超導載子的相位於此時並無長程相干性(long-range coherence)，使之無法形成超導，唯有當  $T < T_c$  時，超導載子的相位能克服熱擾動之影響，且具有長程相干性，此時超導特性才能發生。

## 第三章 實驗方法

### 3.1 樣品製備-薄膜製備

在本節將說明  $Y_{1-x}Ca_xBa_2Cu_3O_y$  ( $x=0, 0.3, 0.4; 6.0 \leq y \leq 6.9$ ) 薄膜之製備過程。

#### 3.1.1 靶材製備

靶材製備前須先寫出各化合物( $Y_2O_3$ 、 $BaCO_3$ 、 $CaCO_3$ 、 $CuO$ )之反應式並計算各化合物其分子量之莫耳數  $Y_{1-x}Ca_xBa_2Cu_3O_y$  並配製每項化合物粉末(其純度高達 99.9% 以上)之克數，且倒入瑪瑙研鉢中研磨均勻後將其倒至氧化鋁坩鍋置入管狀爐當中，以  $10^{\circ}\text{C}/\text{min}$  升溫，在空氣中以高溫( $>860^{\circ}\text{C}$ )進行 8 小時粉燒連續粉燒三次，且於每次燒完後再次研磨至均勻粉末，且再提高  $10^{\circ}\text{C}$  進行粉燒，在粉燒過程中粉末的顏色將逐漸呈現深黑色，其重量與體積也略為減少，此乃碳酸物質揮發失去之結果。粉燒三次後其粉末再以高壓模具壓製成塊，放置於氧化鋁板上，送入管狀爐當中以  $5^{\circ}\text{C}/\text{min}$  升溫，在空氣中以高溫( $3^{\text{rd}}$  粉燒溫度再提高  $10^{\circ}\text{C}$ )進行 24 小時燒結，燒完後量測靶材密度，再持續將塊材搗碎成粉末再壓成塊材繼續置入管狀爐高溫

燒結，待達到所需靶材理論密度的 80%以上。表 3-1 為靶材之粉末與塊材燒結溫度。

表 3-1 燒靶條件

|   | 粉燒 1 <sup>st</sup> 溫度 | 粉燒 2 <sup>nd</sup> 溫度 | 粉燒 3 <sup>rd</sup> 溫度 | 塊材燒結溫度 |
|---|-----------------------|-----------------------|-----------------------|--------|
| YBa <sub>2</sub> Cu <sub>3</sub> O <sub>y</sub>                                   | 880 °C                | 890 °C                | 900 °C                | 910 °C |
| Y <sub>0.7</sub> Ca <sub>0.3</sub> Ba <sub>2</sub> Cu <sub>3</sub> O <sub>y</sub> | 870 °C                | 880 °C                | 890 °C                | 900 °C |
| Y <sub>0.6</sub> Ca <sub>0.4</sub> Ba <sub>2</sub> Cu <sub>3</sub> O <sub>y</sub> | 870 °C                | 880 °C                | 890 °C                | 900 °C |

### 3.1.2 薄膜磊晶



本實驗使用脈衝雷射蒸鍍系統(PLD, Pulse Laser Deposition System)如圖 3-1。此脈衝雷射蒸鍍系統所使用之 KrF 準分子雷射(HyperEx400, Lumonics Excimer Laser)，光源波長為 248 nm，脈衝能量是 400 mJ/pulse，經聚焦後估計雷射脈衝能量密度約為 4 J/cm<sup>2</sup>，脈衝頻率(Repetition rate)5Hz，脈衝持續時間(duration) 約 12 ns。

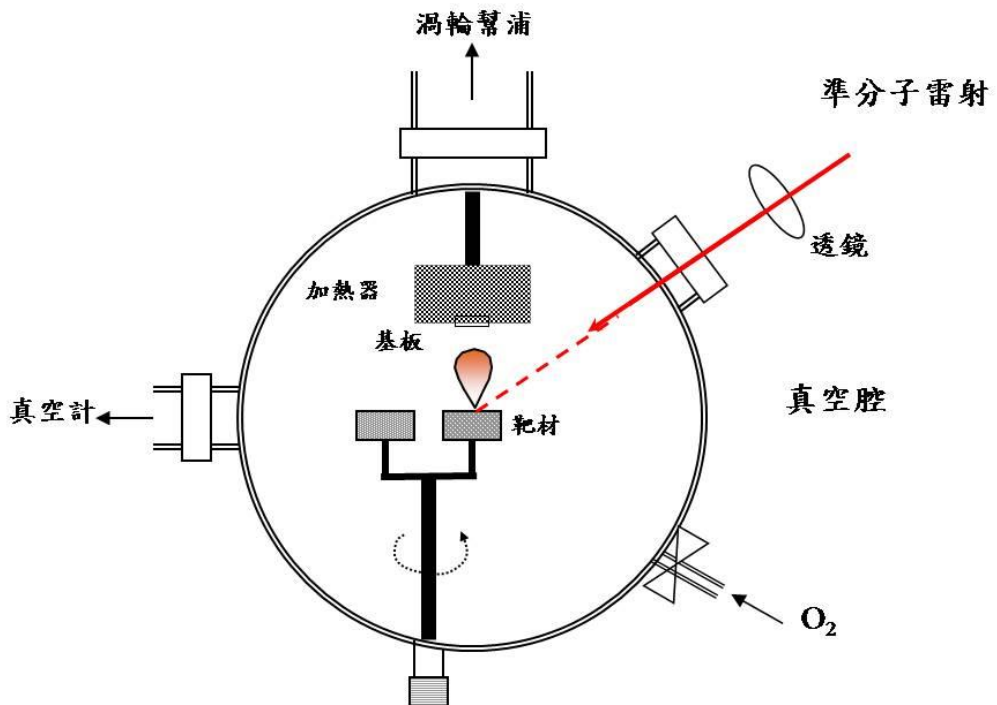


圖 3-9 雷射蒸鍍系統裝置圖。

鍍膜前基板的清潔與鍍膜時基板的溫度、氧壓及雷射能量、基板與靶材的距離及旋轉靶材之轉速等因素均會影響薄膜的品質。因此進行蒸鍍薄膜前，必須先找出成長的最佳條件。表 3-2 為可穩定製備出結構好、均勻度佳的  $\text{Y}_{1-x}\text{Ca}_x\text{Ba}_2\text{Cu}_3\text{O}_y$  ( $x=0, 0.3, 0.4$ ) 薄膜之條件。

表 3-2 薄膜製備條件

|   | 蒸鍍溫度(°C) | 氧壓(torr) | 雷射能量(mJ) | 雷射頻率(Hz) |
|---|----------|----------|----------|----------|
| $\text{YBa}_2\text{Cu}_3\text{O}_y$                             | 770      | 0.3      | 350      | 5        |
| $\text{Y}_{0.7}\text{Ca}_{0.3}\text{Ba}_2\text{Cu}_3\text{O}_y$ | 760      | 0.26     | 350      | 5        |
| $\text{Y}_{0.6}\text{Ca}_{0.4}\text{Ba}_2\text{Cu}_3\text{O}_y$ | 740      | 0.26     | 350      | 5        |

薄膜磊晶實驗步驟如下：

(a) 基板清潔

1. 將  $\text{SrTiO}_3$  基板放入裝有丙酮(acetone)溶液之燒杯中，再以超音波震盪器去除油質及表面的殘留物，時間約 10 分鐘。
2. 將  $\text{SrTiO}_3$  基板放入甲醇(methanol)溶液中，利用超音波震盪除去表面殘留的丙酮，清洗時間約為 10 分鐘。
3. 將  $\text{SrTiO}_3$  基板放入去離子水溶液中，超音波震盪除去表面殘留的甲醇，時間約為 10 分鐘，最後用氮氣槍吹乾基板正反面。
4. 將乾淨的基板使用高溫銀膠黏貼在加熱器基座上，並在大氣壓力下加熱烤乾銀膠。



(b) 鍍膜步驟其細說如下

1. 對光：利用 Nd:YAG 雷射檢視準分子雷射出光的路徑和位置，使雷射光能打至靶材上，並留意基板須在火焰所能完全涵蓋到的範圍之內。
2. 抽真空：將已烘烤乾並黏有基板之基座放入高真空鍍膜室，開機械幫浦(Rotary pump)進行初抽，抽至壓力小於  $2 \times 10^{-2}$  torr 時關機械幫浦閥門，開渦輪幫浦(turbo pump)將真空腔抽至  $5 \times 10^{-6}$  torr 以下。  
薄膜成長：在加熱至蒸鍍溫度時填充氧氣至高真空鍍膜室，使其壓力、
3. 雷射功率、頻率如表 3-2，當一切就緒時，即開始旋轉靶材、啟動雷

射開始鍍膜，其脈衝次數約為 3000 pulse。真空腔內有一不鏽鋼金屬管（距基板約 4 公分），能使氧氣經由管口向基板附近噴出，令薄膜能得到足夠的氧含量。靶材與基板的距離約 5 公分左右，故能確保濺鍍到基板上的原子或分子團的數目極少，可在緩慢且均勻的過程進行成長。

4. 冷卻：鍍膜完成時，關掉加熱器，關閉抽真空閘，且於真空腔內通入大量的氧氣，進行淬冷 (quench)，當溫度降至 50 °C 即可拿出樣品。



## 3.2 特性量測之分析、裝置及原理介紹

### 3.2.1 X-ray 繞射分析

本實驗利用 X-ray 繞射檢視薄膜之軸向及其晶格常數。當 X-ray 入射樣品時，會產生繞射，根據布拉格(Bragg)繞射條件：

$$2d\sin\theta=n\lambda \quad (3-1)$$

其中， $d$  為晶格平面間之距離， $\theta$  為入射光與樣品之間的夾角， $\lambda$  為入射光的波長， $n$  為正整數。



### 3.2.2 電阻率量測介紹

本實驗室的電阻-溫度量測系統如圖 3-2 所示。在低溫系統方面包括閉路液氮冷凍機(closed cycle liquid helium refrigerator)，一個真空室(chamber)和抽真空的機械幫浦。真空室內有一個銅製試片座(sample holder)，試片座內部下方則有一顆二極體溫度計(Silicon diode thermometer)連接溫控器(Lake Shore DRC-91CA controller)。

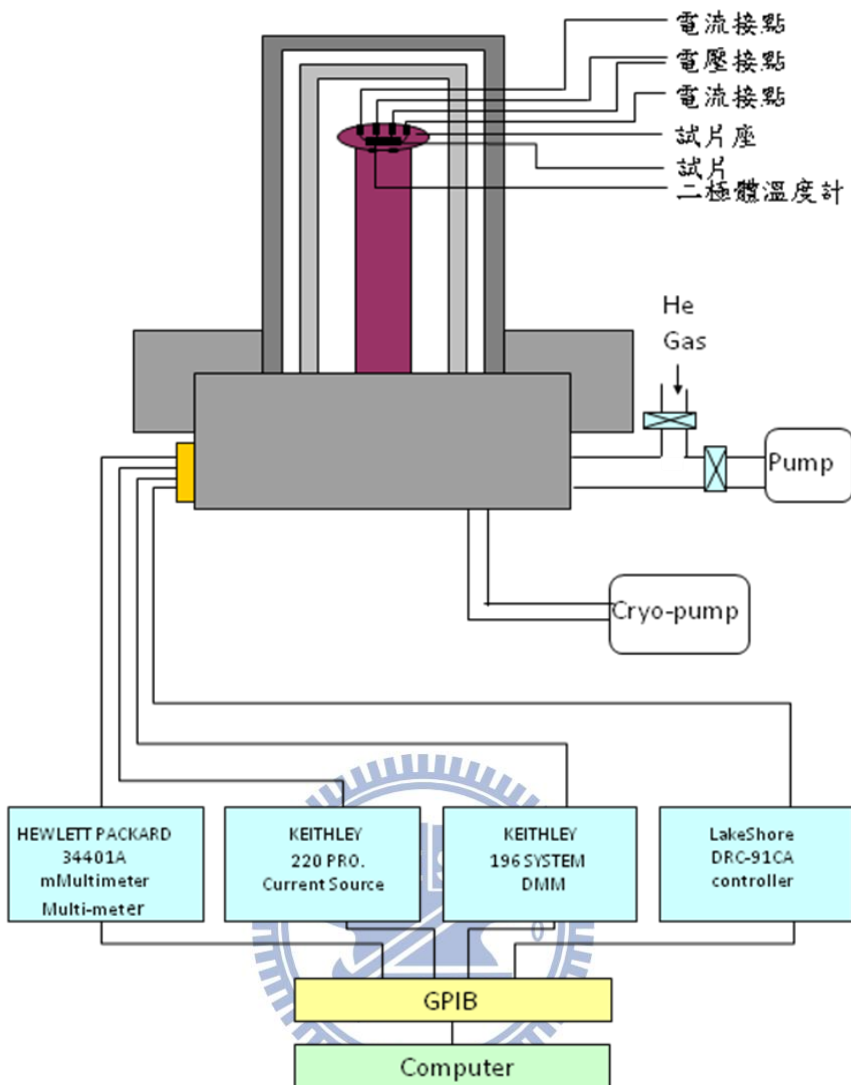


圖 3-10 電阻-溫度量測系統裝置圖。

量測樣品時，先以雙面膠將樣品固定在試片座上，在將樣品上四個條量測線連接於試片座上四個接點，其外側兩點輸入電流，內側兩點則用來量電壓。此法為標準的四點量測法，如圖 3-3(a)所示。此外可利用 van der Pauw 量測法，如圖 3-3(b)所示，此方法利用  $\alpha$ -step 儀器測量膜厚，即可得電阻率。計算如公式 3-2 式：

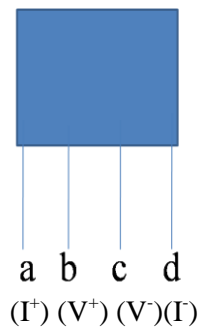


圖 3-11(a)電阻四點量測法。

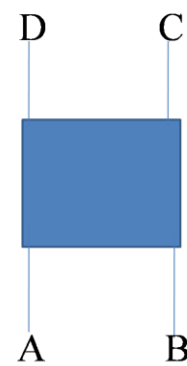


圖 3-12(b) van der Pauw 電阻率量測法。

$$\rho = \frac{\pi d}{\ln 2} \times \left( \frac{R_1 + R_2}{2} \right) \times f\left(\frac{R_1}{R_2}\right) \quad (3-2)$$

其中， $R_1$  為 AB 之間的電阻或 CD 之間的電阻， $R_2$  為 BC 之間的電阻或 AD 之間的電阻， $d$  為膜厚， $f\left(\frac{R_1}{R_2}\right)$  為如圖 3-4 所示。

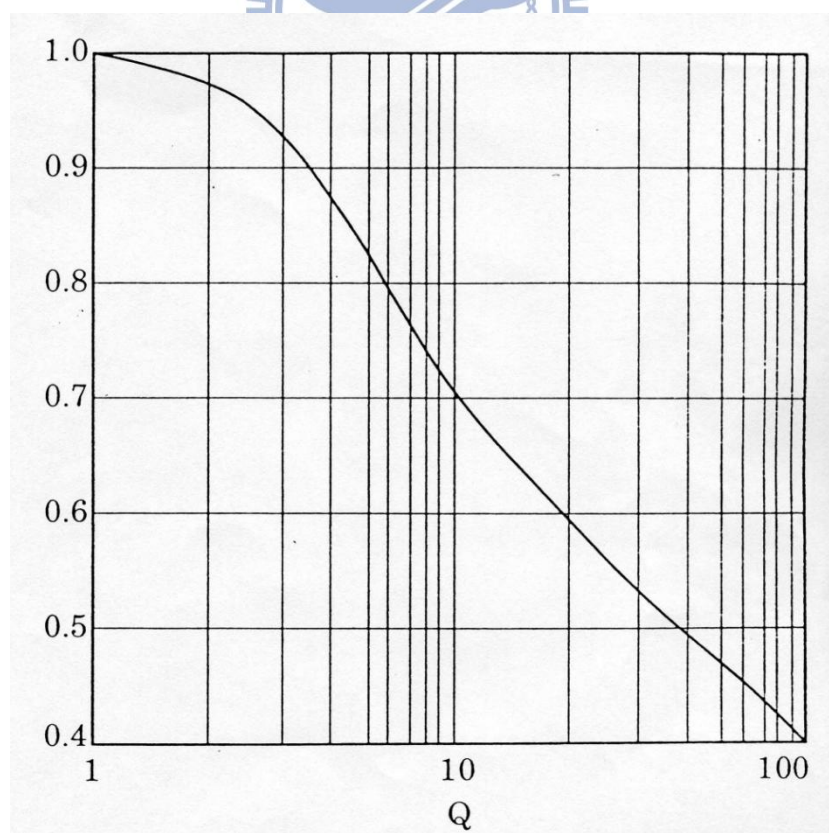


圖 3-13  $f\left(\frac{R_1}{R_2}\right)$  對  $Q$  的函數圖。 $(Q = \frac{R_1}{R_2})$

### 3.2.3 热處理流程(控氧)

#### (a) 基本概念:

由於薄膜的質量太小無法用化學滴訂法確定其氧含量，因此需將薄膜與塊材一起置於相同控氧條件，當薄膜與塊材相接觸達到平衡後，即擁有相同的氧含量，最後利用化學滴訂法確定塊材的氧含量，即可得薄膜之氧含量。其控氧條件如圖 3-5 所示[11]。氧相圖中標出多個不同氧含量  $\text{YBa}_2\text{Cu}_3\text{O}_y$  ( $6 \leq y \leq 7$ ) 塊材溫度與壓力的特定點。將相圖中相同氧含量的點連上，可得到特定點的斜率和截距。根據方程式 3-3 式計算帶入可得連續溫度變化對氧壓之關係，此即為控氧的主要概念。

$$\log P = a \frac{1000}{T} + b \quad (3-3)$$

其中， $P$  為氧壓， $T$  為溫度， $a$  為斜率， $b$  為截距。

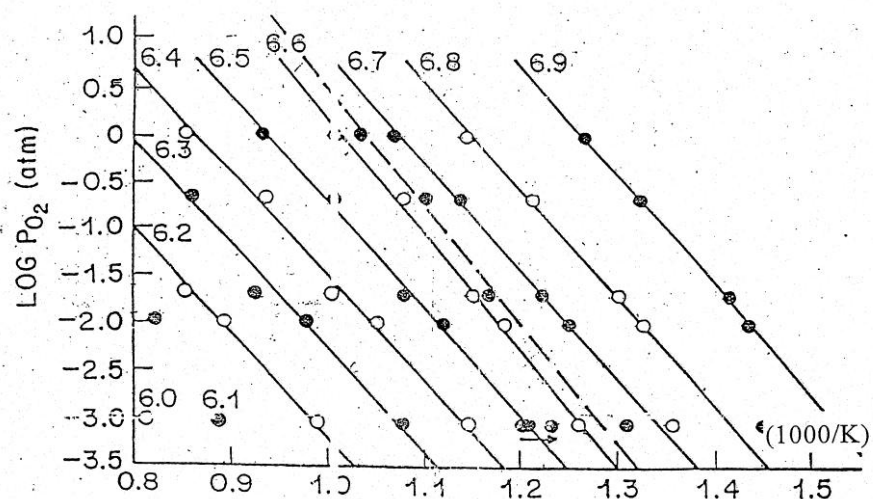


圖 3-14 YBCO 氧相圖。[11]

圖 3-6 說明了  $\text{YBa}_2\text{Cu}_3\text{O}_y$  薄膜與塊材中氧含量對臨界溫度的關[12]，因此若知道  $\text{YBa}_2\text{Cu}_3\text{O}_y$  薄膜的  $T_c$ ，再對照此圖，即可得  $\text{YBa}_2\text{Cu}_3\text{O}_y$  的氧含量即確定  $y$ 。

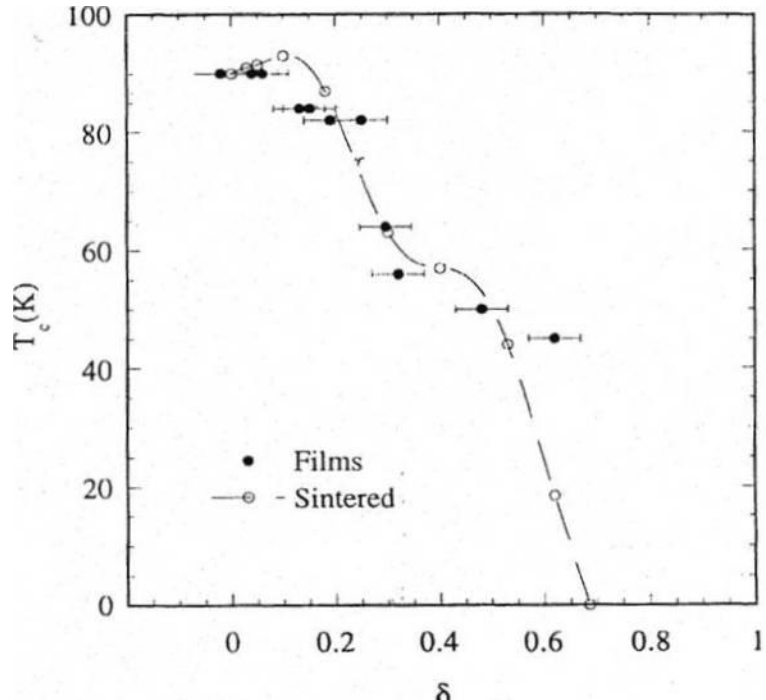
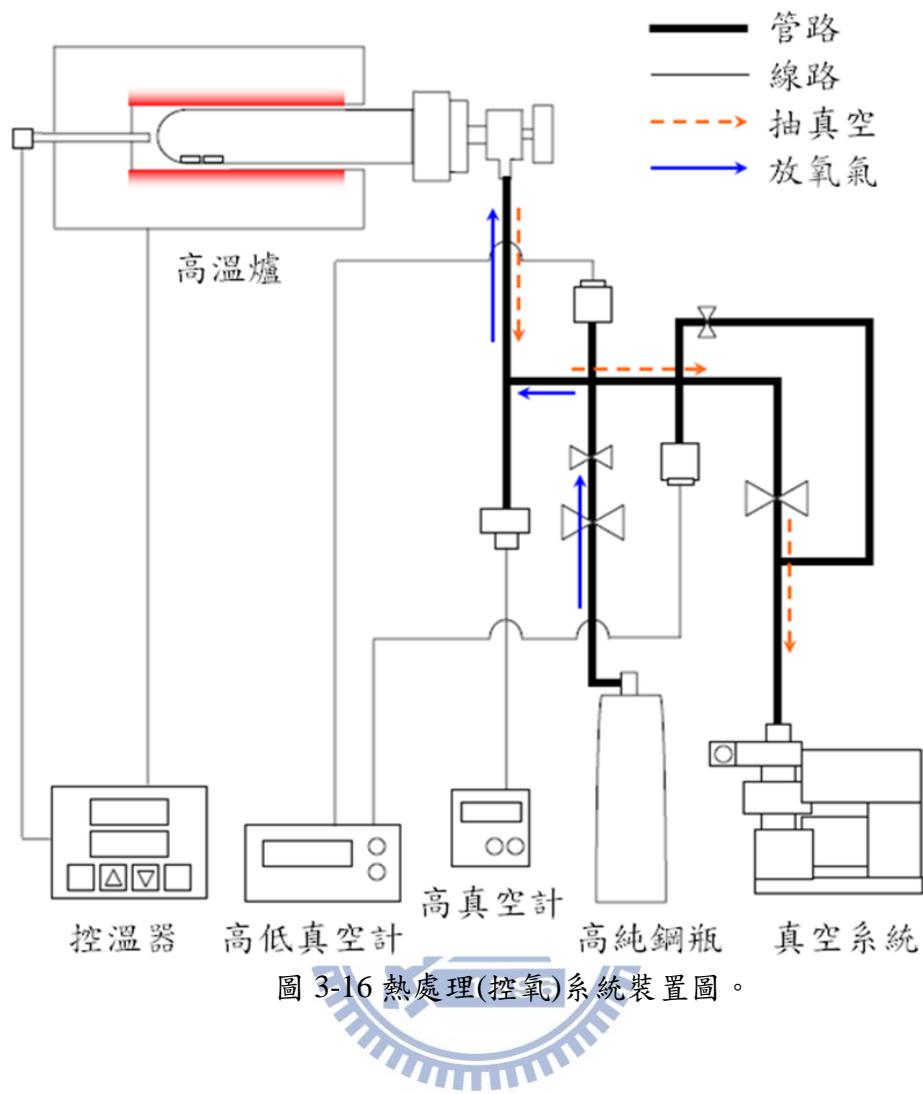


圖 3-15  $\text{YBa}_2\text{Cu}_3\text{O}_{7-\delta}$  薄膜與多晶之臨界溫度  $T_c$  與氧含量  $\delta$  關係圖。[12]

(b) 热處理(控氧)實驗步驟，系統裝置如圖 3-7 所示：

1. 將薄膜放在石英管內，再將石英管置入高溫爐中。
2. 開始抽真空，當石英管內壓力降至  $5 \times 10^{-6}$  torr 以下，再以  $10^\circ\text{C}/\text{min}$  速率升溫至  $450^\circ\text{C}$ ，此時要關掉抽氣幫浦的閥門放氧至目標壓力，進行 60 分鐘的熱處理。
3. 將石英管放入以冰水進行淬冷(quench)，即完成控氧動作。



### (c) 輽子濃度計算

過去文獻多以載子濃度  $p$  值來描述高溫超導之行為，而  $p$  值被定義為  
銅面上每一個銅原子所分配到對電洞數。高溫超導體中載子濃度  $p$  與臨  
界溫度  $T_c$  之關係如下式。[13]

$$1 - \frac{T_c}{T_{c\max}} = 82.6(p - 0.16)^2 \quad (3-4)$$

其中， $T_{c\max}$  為該樣品最高之臨界溫度。

### 3.2.4 Seebeck effect

Seebeck effect 相關實驗由國立東華大學物理學系郭永綱教授實驗團隊協助完成。

本效應由 1823 年德國物理學家 Thomas Seebeck 所發現，只當兩種不同導體連接成一封閉迴路時，在其中一接點 A 上給予溫度梯度，而造成其相對另一接點 B 有溫差  $\Delta T$  時，此溫度差會在迴路中產生一電壓差  $\Delta V$ ，物理上定義 Seebeck 係數 S 為：

$$S_{AB} = \lim_{\Delta T \rightarrow 0} \frac{\Delta V}{\Delta T} \quad (3-5)$$



此效應是由於在熱端相對於冷端有較多的電子能躍遷至導帶，於是就產生一電子梯度，此一梯度造成冷熱兩端電子擴散速率不同，於是其中一端就累積了較多電子而形成一電壓差，此電壓差阻止了電子的流動而達成系統平衡，此壓差稱為 Seebeck voltage。

Seebeck 係數只和絕對溫度有關，一般在材料中 S 可寫成  $S=S_d+S_g$ ， $S_d$  代表載子熱擴散對 Seebeck 係數的影響， $S_g$  代表聲子和載子之間交互作用之影響。

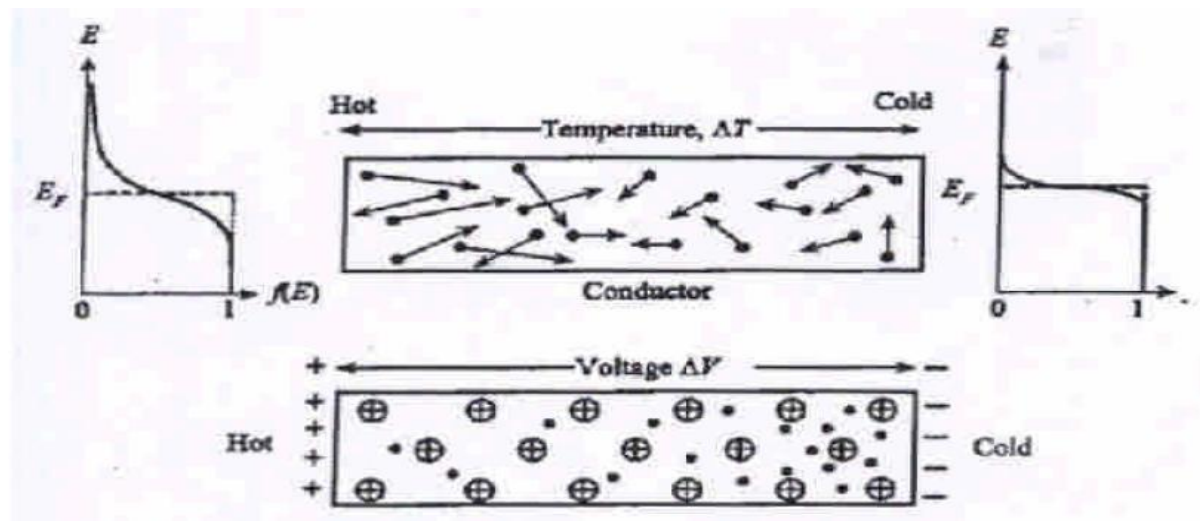


圖 3-9 Seebeck 效應示意圖[22]。

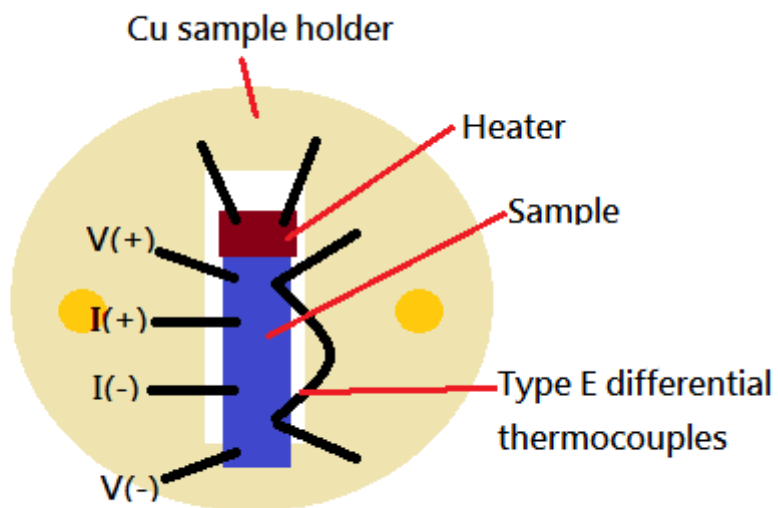


圖 3-10 Thermoelectric power 量測系統之樣品座示意圖。

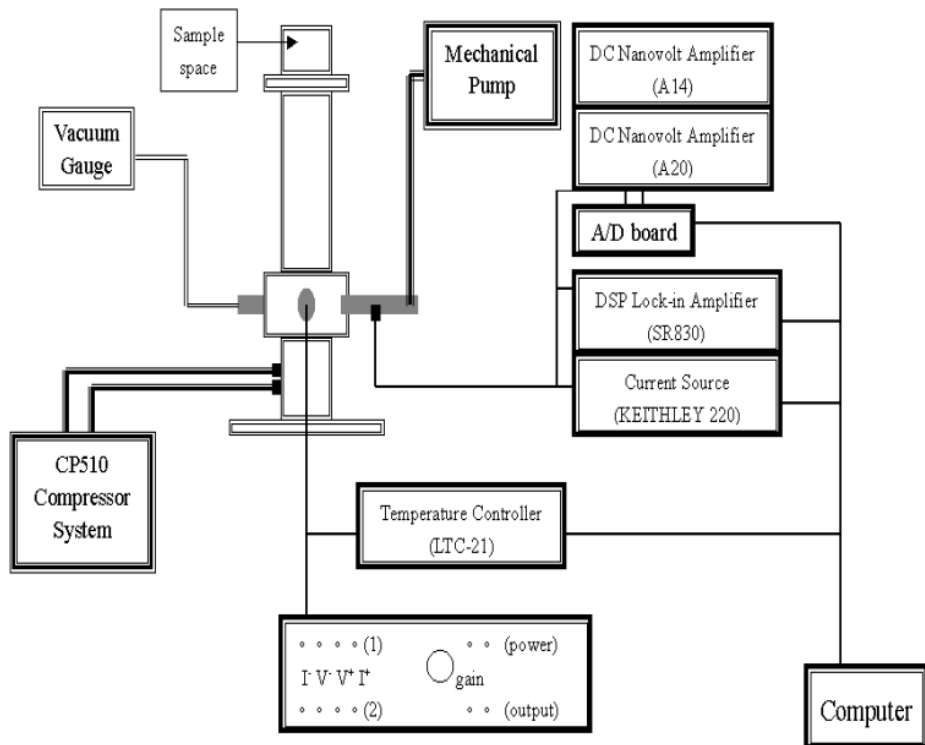


圖 3-11 Thermoelectric power 量測系統示意圖。

當取得樣品於 290K 的 Seebeck coefficient ( $S_{290}$ )後，我們可以參考 J. L. Tallon 等人於 1995 年所發表論文[23]中的數據及公式，來推估在  $p < 0.05$  下樣品的載子濃度，公式及圖如下：

$$S_{290} = 372 \exp(-32.4p) \text{ for } 0.00 < p < 0.05,$$

$$S_{290} = 992 \exp(-38.1p) \text{ for } 0.05 < p < 0.155,$$

$$S_{290} = -139p + 24.2 \text{ for } 0.155 < p. \quad (3-6)$$

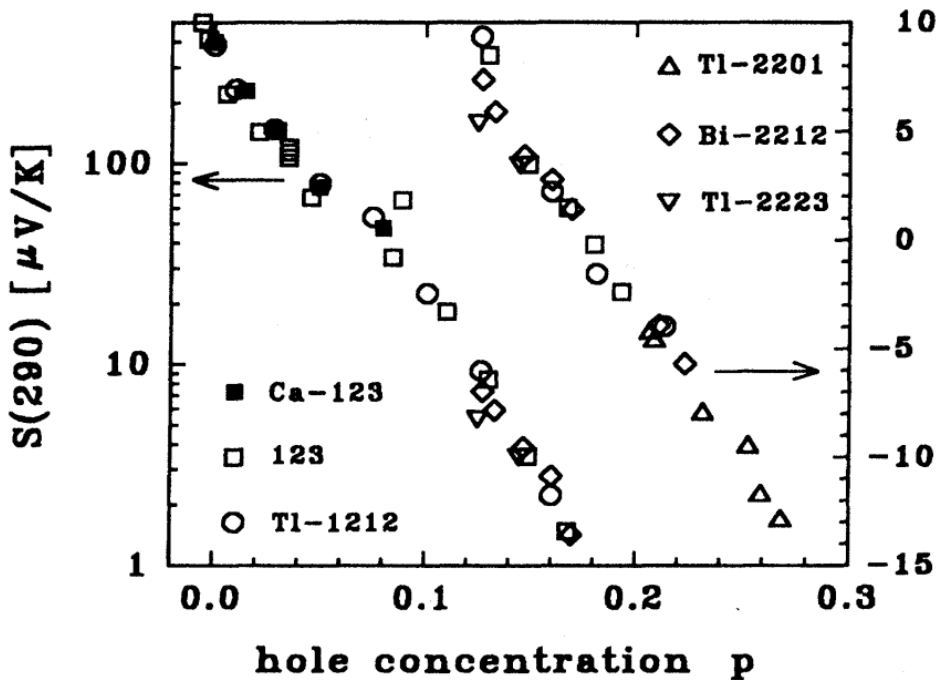


圖 3-12 於 290K 下 Seebeck coefficient 與電洞載子濃度  $p$  相圖[23]。



### 3.2.5 XANES 之原理簡介

本實驗將製備完成樣品於國家同步輻射研究中心 (National Synchrotron Radiation Research Center, NSRRC) 中之 6m high energy spherical grating monochromator (6m HSGM) 光束線 BL20A [14]，進行 X 光吸收光譜量測。

### 3.2.5 (a) XANES 原理簡介

XANES ( x-ray absorption near edge structure ) 主要為分析材料空軌域電子組態(電洞)之工具，特別是 O 的 K edge (O 的 1s 到 2p 空軌域的吸收) ，由光譜中的幾個特定能量上，可了解能帶載子分佈之情形。從 XANES 光譜分析中可量測兩種數據：全電子產率 (Total electron yield) 與 X 光螢光產率 (x-ray fluorescence yield)，如圖 3-13。

由全電子產率可得知樣品表面的特性，因為當 x-ray 照射樣品時會激發內部光電子往樣品的表面移動，但由於電子與電子間的庫倫作用力之牽制，會使較深層電子因阻礙多不容易跑出樣品表面，而淺層電子因阻礙少容易跑出樣品表面，藉由電流計檢測其光電流，可知樣品表面的特性。相對於全電子產率，X 光螢光產率是用來了解材料整體結構的特性分析，因為 x-ray 將光電子激發後會留下空軌域，外層的電子將會佔據此空軌域將放出光子而產生螢光。螢光是由光子所組成，故不會受到庫倫作用力之牽制，因此可探測較深層之電子結構，

實驗上常利用 X 光螢光產率是來作樣品整體結構的特性分析。

**X-ray Fluorescence:** An x-ray with energy =  
the difference of the core-levels is emitted.

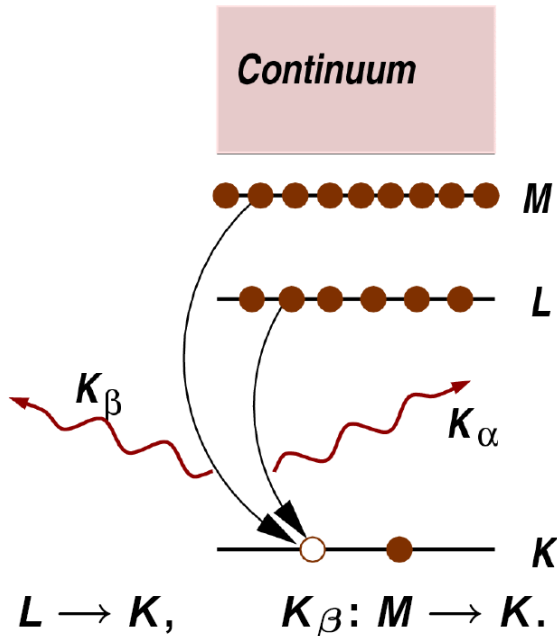


圖 3-13 為 X 光吸收光譜之電子及螢光產率原理圖：X 光打入樣品激發內層電子躍遷至空軌域，外層電子掉至內層電洞因而產生螢光。



### 3.2.5 (b) 自我吸收光譜 (self-absorption) 校正

當螢光自生成到完全離開樣品過程中仍會被樣品所吸收，此稱之為自我吸收。故須作自我吸收光譜校正。圖 3-14 為兩種極端自我吸收情形，由此可知自我吸收之效應會受到入射角度之影響。經過自我吸收校正後，可得 O 原子之 1s 軌域吸收截面  $\mu_{oxy}$ ，計算如公式 3-7 式[15]。

$$\mu_{oxy}(E) = \frac{I'(E) \cdot P}{f - I'(E)} \quad (3-7)$$

其中， $E$  為 photon energy， $\mu_{oxy}$  為 absorption cross section of oxygen atoms， $\mu_{total}$  為 absorption cross section of all elements， $E_R$  為 fluorescence energy  $\sim 520$  eV， $F$  為 factor。

另外，

$$I'(E) = I(E) - I(520) + f \cdot \mu(520)$$

$$I(E) \equiv \frac{I_R(E)}{I_0(E)}$$

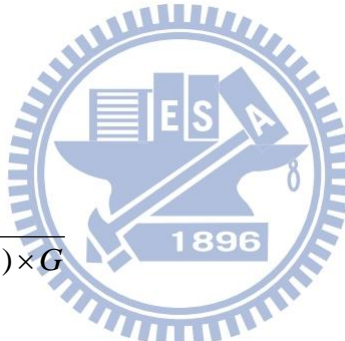
$$P = \mu_{other}(E) + \mu_{total}(E_R) \times G$$

$$f = \frac{I_{600} - I_{520}}{\mu_{600} - \mu_{520}}$$

$$\mu(E) \equiv \frac{\mu_{oxy}(E)}{\mu_{total}(E) + \mu_{total}(E_R) \times G}$$

$$G = \frac{\cos \alpha'}{\cos \beta'} (\alpha' = 45 - \alpha, \beta' = 45 - \beta)$$

$$\mu_{total}(E) = \mu_{oxy}(E) + \mu_{other}(E)$$



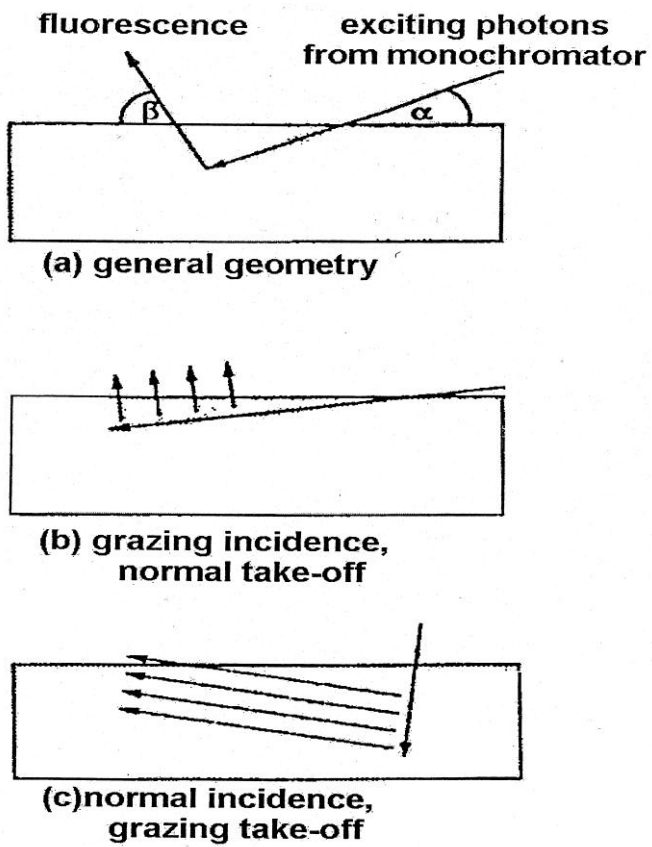


圖 3-14 以螢光做為自我吸收校正的概念圖：

- (a)為入射光與螢光之路徑；
- (b)為入射光以掠角入射，螢光為垂直放出；
- (c)為入射以垂直入射，螢光為掠角放出。[15]

當得到 O 原子之 1s 軌域吸收截面  $\mu_{oxy}$ ，可由公式 3-8 式得不同角度之 X 光螢光產率。

$$I_\alpha(E) = I_0(E) \cos^2 \alpha + I_{90}(E) \sin^2 \alpha \quad (3-8)$$

其中， $I_\alpha(E)$ 為入射角  $\alpha$  之 X 光螢光產率強度， $I_0(E)$ 為入射角 0 度之 X 光螢光產率強度， $I_{90}(E)$ 為入射角 90 度之 X 光螢光產率強度。

### 3.2.5(c) HSGM 裝置簡介

如圖 3-15 為國家同步輻射研究中心（National Synchrotron Radiation Research Center , NSRRC ) 中之 6m high energy spherical grating monochromator (6m HSGM) 光束線 BL20A 光學系統設計圖。

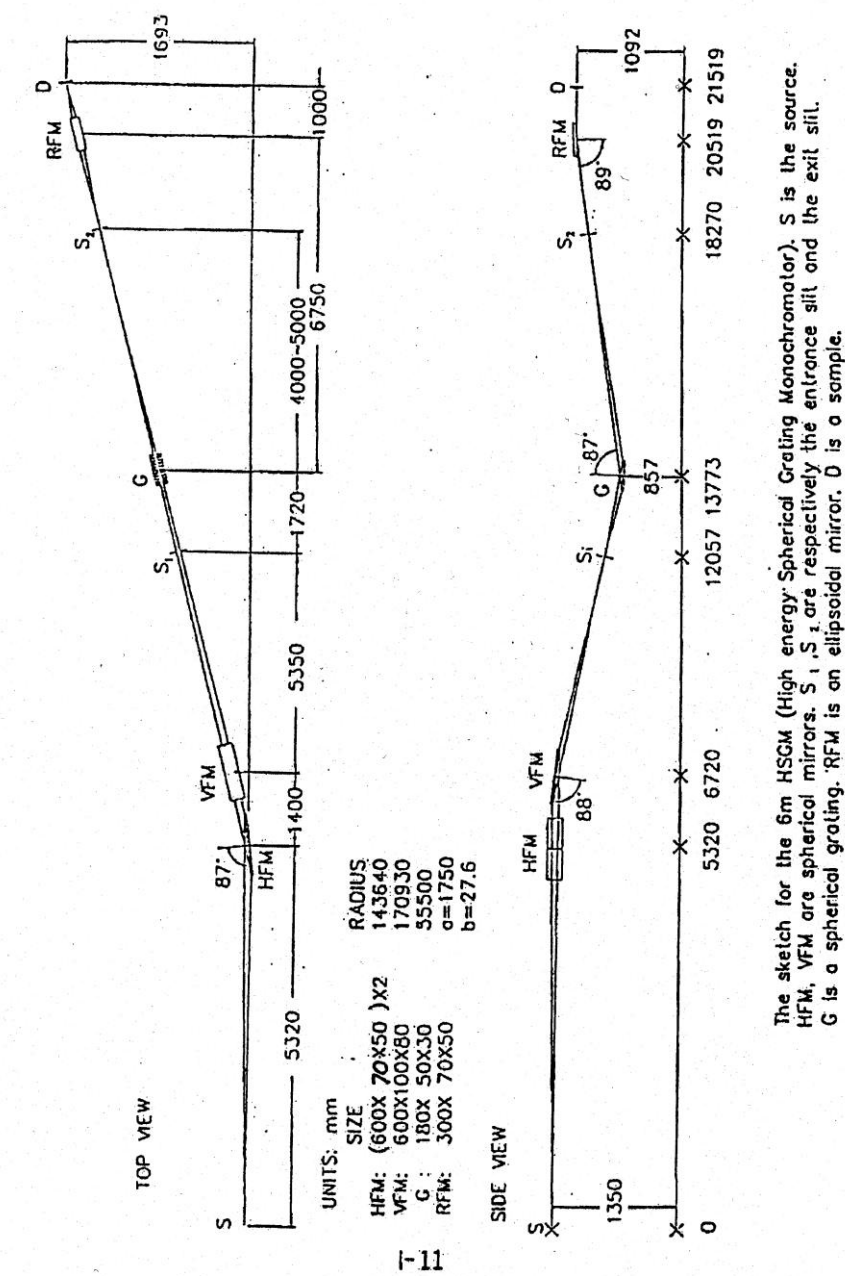


圖 3-15 6m HSGM 光束線光學系統配置圖。

## 第四章 實驗結果與討論

本實驗室以不同氧濃度的  $\text{Y}_{1-x}\text{Ca}_x\text{Ba}_2\text{Cu}_3\text{O}_y$  ( $x=0, 0.3, 0.4, 6.0 \leq y \leq 6.95$ ) 薄膜來做 O K-edge (O 的 1s 到 2p 空軌域的吸收) 和 Cu L<sub>III</sub>-edge (Cu 的 2p<sub>3/2</sub> 到 Cu 3d 空軌域的吸收) 之 X 光吸收光譜(XANES) 實驗。

本實驗探討  $\text{Y}_{1-x}\text{Ca}_x\text{Ba}_2\text{Cu}_3\text{O}_y$  薄膜的銅氧平面費米能階(Fermi level ;  $E_F$ ) 附近能帶之光譜權重(spectral weight)。量測在高載子(電洞)濃度區域下的樣品以分析其電洞之分佈，進而檢證 D. C. Peets *et al.* (Phys. Rev. Lett. **103**, 087402 (2009)) 中的實驗結果，以及補充李佩茹學姐論文[26]中低載子濃度在不同溫區下之光譜權重變化。



### 4.1 實驗設計

本實驗利用  $\text{Y}_{1-x}\text{Ca}_x\text{Ba}_2\text{Cu}_3\text{O}_y$  ( $x=0, 0.3, 0.4$ ) 薄膜，進行熱處理方式控制載子數(電洞)來改變薄膜  $T_c$ ，以得到不同含氧量之薄膜。圖 4-1 為鈇銨銅氧相圖。樣品氧含量是由參考文獻[16,17]決定。

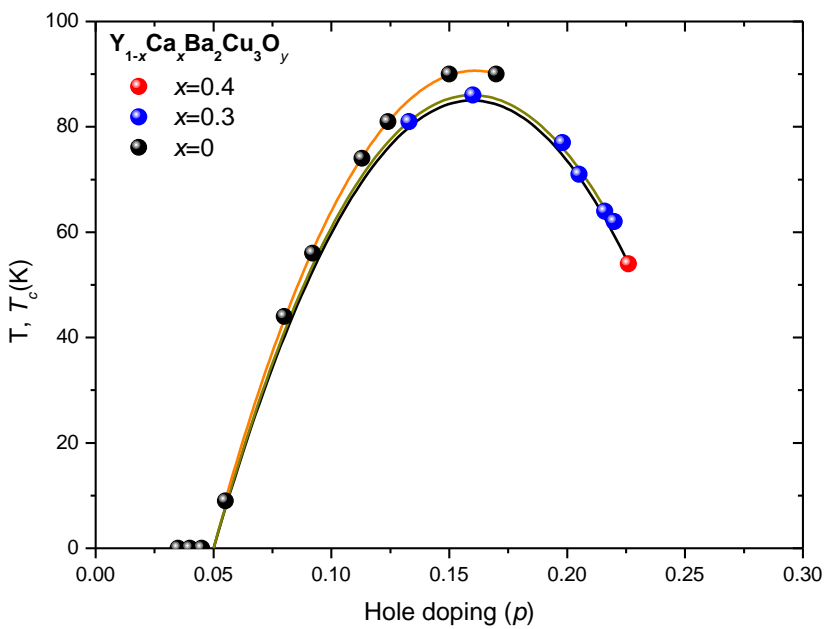
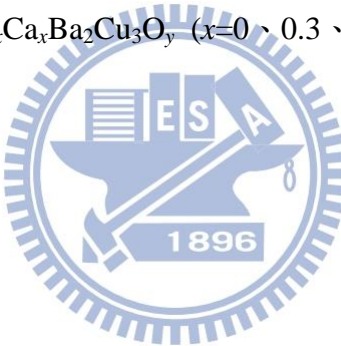


圖 4-1  $\text{Y}_{1-x}\text{Ca}_x\text{Ba}_2\text{Cu}_3\text{O}_y$  ( $x=0$ 、 $0.3$ 、 $0.4$ ) 氣相圖。



## 4.2 實驗流程

本實驗利用脈衝雷射蒸鍍  $\text{Y}_{1-x}\text{Ca}_x\text{Ba}_2\text{Cu}_3\text{O}_y$  ( $x=0$ 、 $0.3$ 、 $0.4$ ) 於  $\text{SrTiO}_3(001)$  基板上，並利用電阻-溫度量測系統與 van der Pauw 電阻率量測法檢測二種薄膜的電性傳輸，藉由  $T_c$  及電阻率對溫度相圖及殘餘電阻判斷製備薄膜品質的好壞，如圖 4-2、4-3。

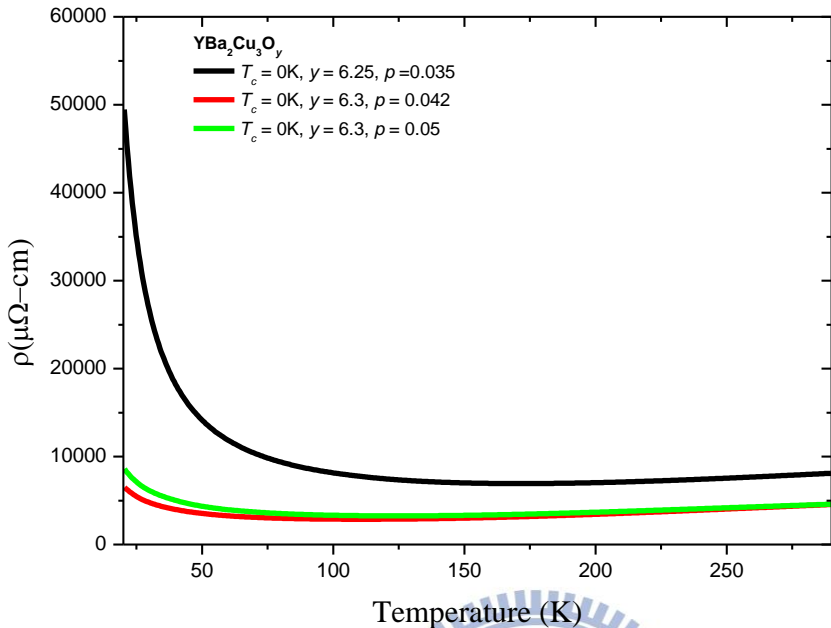


圖 4-2  $\text{YBa}_2\text{Cu}_3\text{O}_y$  ( $y=6.3$ 、 $6.3$ 、 $6.25$ ) 薄膜電阻率與溫度相圖。

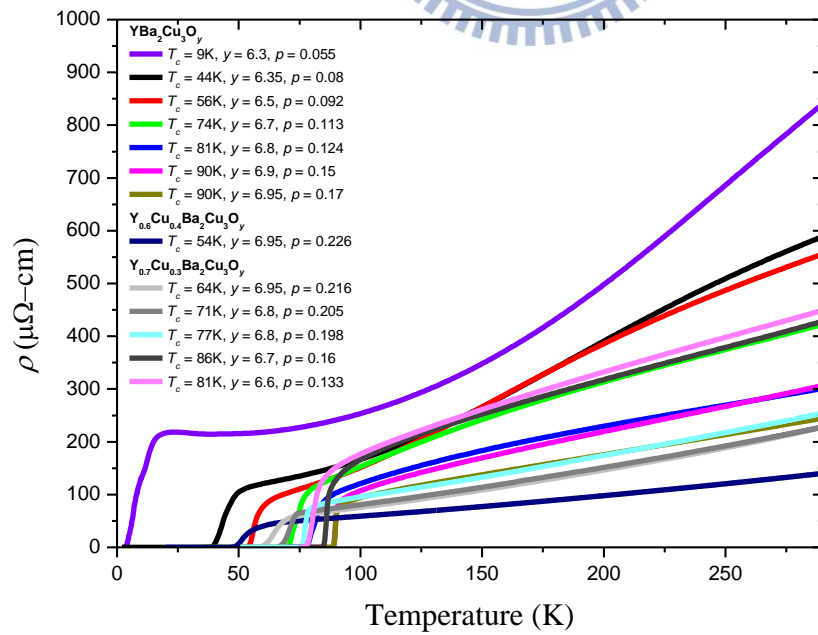


圖 4-3  $\text{Y}_{1-x}\text{Ca}_x\text{Ba}_2\text{Cu}_3\text{O}_y$  ( $x=0$ 、 $0.3$ 、 $0.4$ ， $6.3 \leq y \leq 6.95$ ) 薄膜電阻率與溫度相圖。

圖 4-4 是以  $2\theta$  x-ray 繞射儀檢驗薄膜樣品 x-ray 之繞射圖，由此可驗証樣品  $c$  軸垂直膜面。

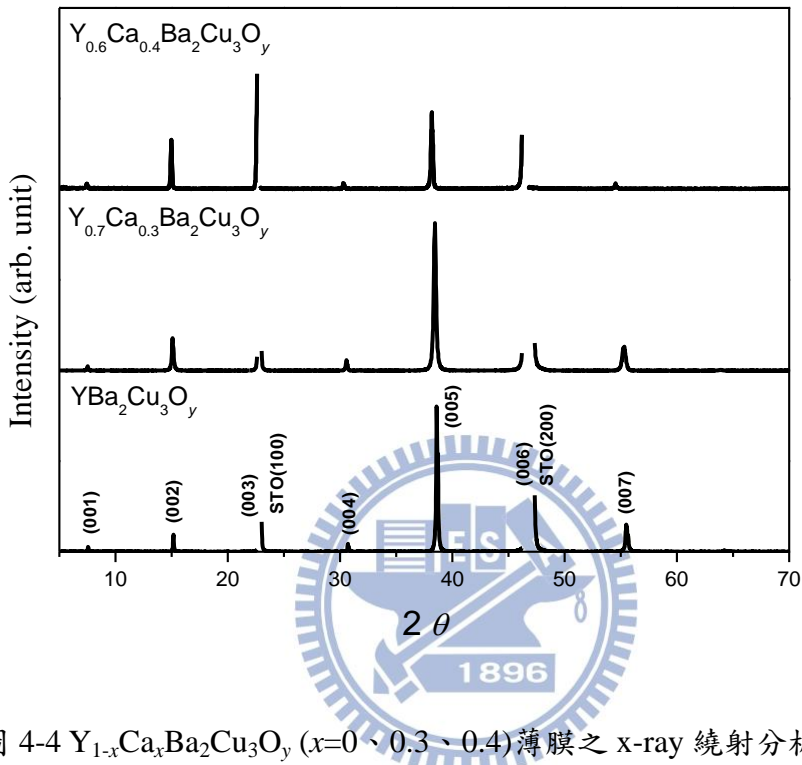


圖 4-4  $\text{Y}_{1-x}\text{Ca}_x\text{Ba}_2\text{Cu}_3\text{O}_y$  ( $x=0$ 、 $0.3$ 、 $0.4$ ) 薄膜之 x-ray 繞射分析圖。

經過電阻-溫度量測系統與 van der Pauw 電阻率量測法，以及  $2\theta$  x-ray 繞射儀檢驗確認樣品品質及結構是良好的，製備完成之樣品再於同步輻射中心(National Synchrotron Radiation Research Center, NSRRC)進行 XANES (X-ray absorption near edge structure)光譜量測。

### 4.3 O K edge XANES 光譜分析

圖 4-5、4-6 為同步輻射入射光電場垂直樣品  $c$  軸，O K edge XANES 吸收光譜，其光譜顯示  $\text{Y}_{1-x}\text{Ca}_x\text{Ba}_2\text{Cu}_3\text{O}_y$   $ab$  平面的電子結構，光譜能量區間在 526eV 到 531eV 間是目前科學界比較能確認的幾個區段，其間有四個能帶；位於 527eV 的峰，是由銅氧鍊上的氧 O(1) 所貢獻，位於 528eV 的峰，是由銅氧面上 O(2)、O(3) 所貢獻，稱為 ZR band (Zhang-Rice band)。位於 529.5eV 的峰，是 O 1s 跃遷到 UHB(upper Hubbard band) 的吸收，位於 530.3eV 的峰，是 Cu(1) 與 O(1,4) 之間電荷轉移的吸收 [18]。



$T_c$  的高低與銅氧平面的載子數有直接關係。一般認為銅氧鍊上的氧 O(1) 載子數不會影響  $T_c$  的高低，因為在  $\text{LaSr}_2\text{Cu}_3\text{O}_{6+y}$  超導化合物中，其結構沒有銅氧鍊。觀察 529.5eV 的峰光譜變化趨勢，比較  $\text{YBa}_2\text{Cu}_3\text{O}_y$  ( $y=6.25\sim6.95$ )，明顯的隨著氧含量的減少，529.5eV 的峰光譜面積增加，相似於  $\text{Y}_{0.7}\text{Ca}_{0.3}\text{Ba}_2\text{Cu}_3\text{O}_y$ ，表示 529.5eV 的峰與樣品的氧含量有關。比較相同  $T_c = 81\text{K}$  的  $\text{YBa}_2\text{Cu}_3\text{O}_{6.8}$  和  $\text{Y}_{0.7}\text{Ca}_{0.3}\text{Ba}_2\text{Cu}_3\text{O}_{6.6}$  這組，529.5eV 的峰大小似乎與  $T_c$  無直接關聯；而對照其載子濃度  $p$  值， $\text{Y}_{0.7}\text{Ca}_{0.3}\text{Ba}_2\text{Cu}_3\text{O}_{6.6}$  載子濃度比  $\text{YBa}_2\text{Cu}_3\text{O}_{6.8}$  大，直接反映在光譜上的就是位於 528eV 的峰 ZR band 光譜面

積的增長。

由過去文獻可知氧含量之多寡與 UHB 光譜權重和 ZR band 光譜權重皆有關聯性[8,19,20]，如圖 4-5、4-6，相同摻鈣量(相同  $x$ ) 的  $\text{YBa}_2\text{Cu}_3\text{O}_y$ ，當氧含量減少時，ZR band 光譜權重變小，而 UHB 光譜權重變大，且 ZR band 之峰位置隨著氧含量減少往能量高方向移動。

ZR band 的光譜權重代表著銅氧面的電洞數，觀察  $\text{Y}_{1-x}\text{Ca}_x\text{Ba}_2\text{Cu}_3\text{O}_y$  光譜在相同  $y$  值下，摻鈣越多( $x$  越大)，其 ZR band 光譜權重有成長的趨勢，UHB 光譜權重有減少的趨勢，摻入鈣後一些 UHB 光譜權重轉移到 ZR band 光譜權重上。如圖 4-5 中  $\text{Y}_{0.7}\text{Ca}_{0.3}\text{Ba}_2\text{Cu}_3\text{O}_{6.7}$  ZR band 光譜權重比  $\text{YBa}_2\text{Cu}_3\text{O}_{6.7}$  光譜權重大，顯示是摻入鈣的載子進入銅氧平面所引起；且觀察到  $\text{Y}_{0.7}\text{Ca}_{0.3}\text{Ba}_2\text{Cu}_3\text{O}_{6.7}$  UHB 光譜權重比  $\text{YBa}_2\text{Cu}_3\text{O}_{6.7}$  光譜權重略小，其變化趨勢跟 ZR band 光譜權重變化趨勢相反。相同由圖 4-6 中  $\text{Y}_{0.7}\text{Ca}_{0.3}\text{Ba}_2\text{Cu}_3\text{O}_{6.95}$  和  $\text{YBa}_2\text{Cu}_3\text{O}_{6.95}$ 、 $\text{Y}_{0.7}\text{Ca}_{0.3}\text{Ba}_2\text{Cu}_3\text{O}_{6.8}(T_c = 71\text{K}、77\text{K})$  和  $\text{YBa}_2\text{Cu}_3\text{O}_{6.8}$  我們也可以觀察到相同結果。

由上述討論得知，ZR band 和 UHB 有很強的關聯性，這現象與文獻 [8,19,20] 所提相同。顯示摻入鈣與增加氧含量效果相同，都可以增加銅氧平面上的載子，且不改變釔銀銅氧費米能階附近電子結構，其中摻鈣是為了

取代鈦增加銅氧平面的載子濃度[25]。

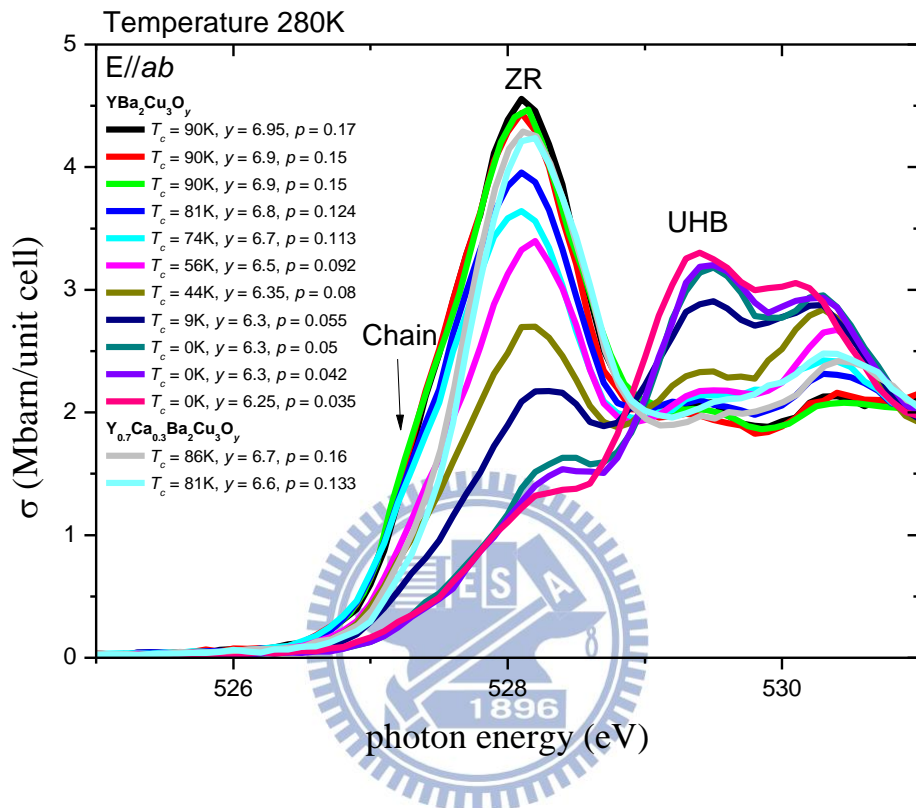


圖 4-5  $\text{Y}_{1-x}\text{Ca}_x\text{Ba}_2\text{Cu}_3\text{O}_y$  ( $x=0$ 、 $0.3$ ， $p=0.035\sim0.17$ ) 薄膜之入射光電場垂直  $c$  軸， $\text{O} K$  edge XANES 吸收光譜。

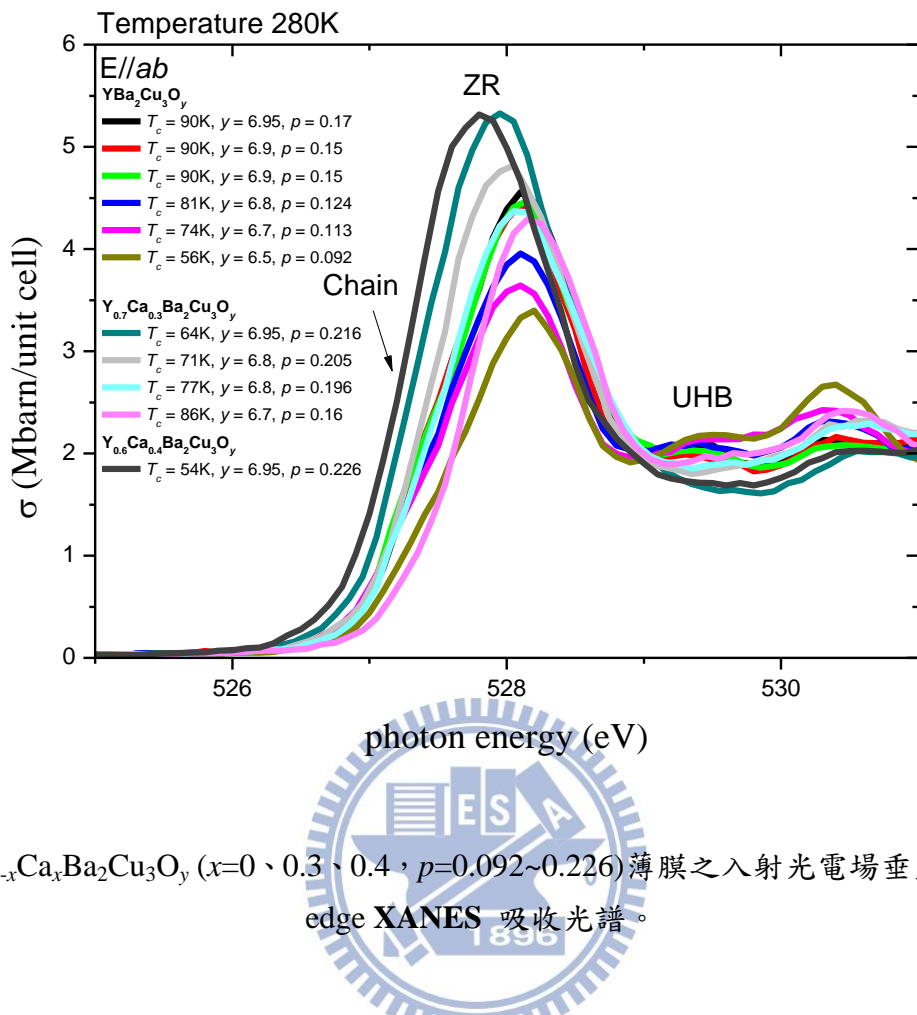


圖 4-6  $Y_{1-x}Ca_xBa_2Cu_3O_y$  ( $x=0, 0.3, 0.4, p=0.092 \sim 0.226$ ) 薄膜之入射光電場垂直  $c$  軸， $O\ K$  edge XANES 吸收光譜。

本實驗想要驗證 D. C. Peets 等人所發表的論文[1]中，Zhang-Rice band 在 overdoped regime 中有著不符合 Hubbard model 理論所預測的行為，需要知道 Zhang-Rice band 光譜權重在不同氧含量之間的變化，必須將 O 的  $K$  edge 吸收光譜，作高斯曲線擬合，以求 chain、Zhang-Rice band 及 upper Hubbard band 的光譜權重，做較定量的分析。其圖如下，圖 4-7 為  $YBa_2Cu_3O_{6.95}$  做高斯曲線的擬合圖，其他樣品如圖 4-7 做相同處理放置於附錄一。

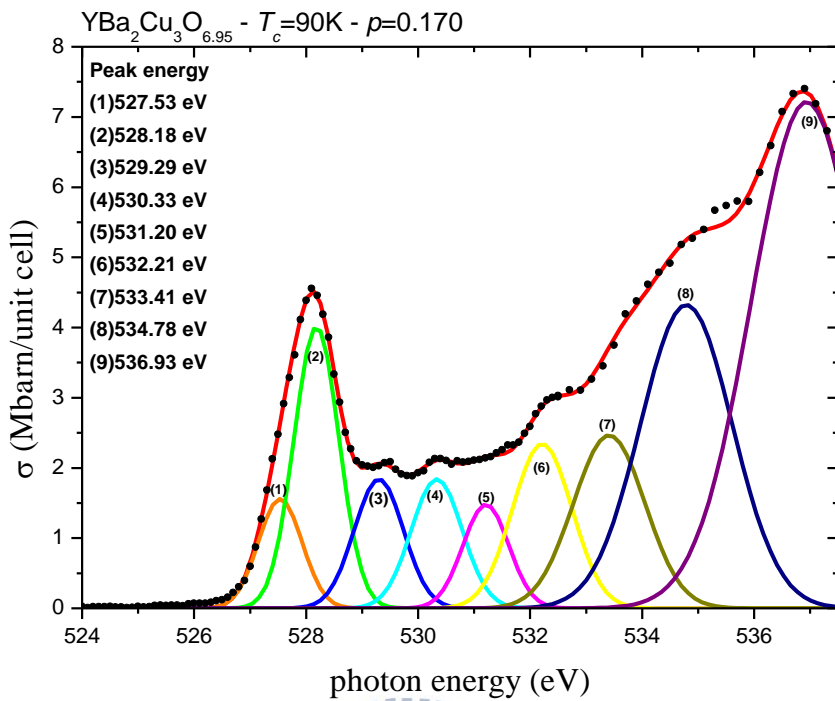


圖 4-7  $\text{YBa}_2\text{Cu}_3\text{O}_{6.95}$  薄膜之入射光垂直  $c$  軸， $\text{O } K$  edge XANES 吸收光譜擬合圖。

圖 4-7 為  $\text{YBa}_2\text{Cu}_3\text{O}_{6.95}$  做高斯曲線的擬合圖，黑色實點表是光譜原始數據，紅色的線為九個高斯曲線依原始數據擬合成的近似曲線。九個高斯曲線分別以(1)~(9)標示，並依序把 peak 能量峰值標示於圖左上方，能量由低到高標示之(1)、(2)、(3)分別代表 chain、Zhang-Rice band、upper Hubbard band，其餘為目前科學上尚不確定意義的光譜區段，在此也做高斯曲線擬合來輔助低能區段的擬合準確性。

我們將本次實驗結果與林沛宏論文[8]放置做為整理，圖 4-8 為林沛宏論文中室溫下入射光電場垂直  $\text{Y}_{0.7}\text{Ca}_{0.3}\text{Ba}_2\text{Cu}_3\text{O}_y$ 、 $\text{YBa}_2\text{Cu}_3\text{O}_y$  之  $c$  軸  $\text{O} K$  edge XANES 光譜。如圖 4-9 所示，看似 ZR band 光譜權重增長趨勢為近似曲線狀逐漸緩和，且將 Liebsch 的理論預測與本實驗數據做擬合，也頗為符合。ZR band 光譜權重隨著載子濃度增加而做非線性的成長，表示 Liebsch 的理論計算模型[3]在我們的數據範圍內 ( $p=0\sim 0.23$ ) 為適用，但在載子濃度  $p \geq 0.23$  處，本論文因樣品限制無法做更一步的討論。

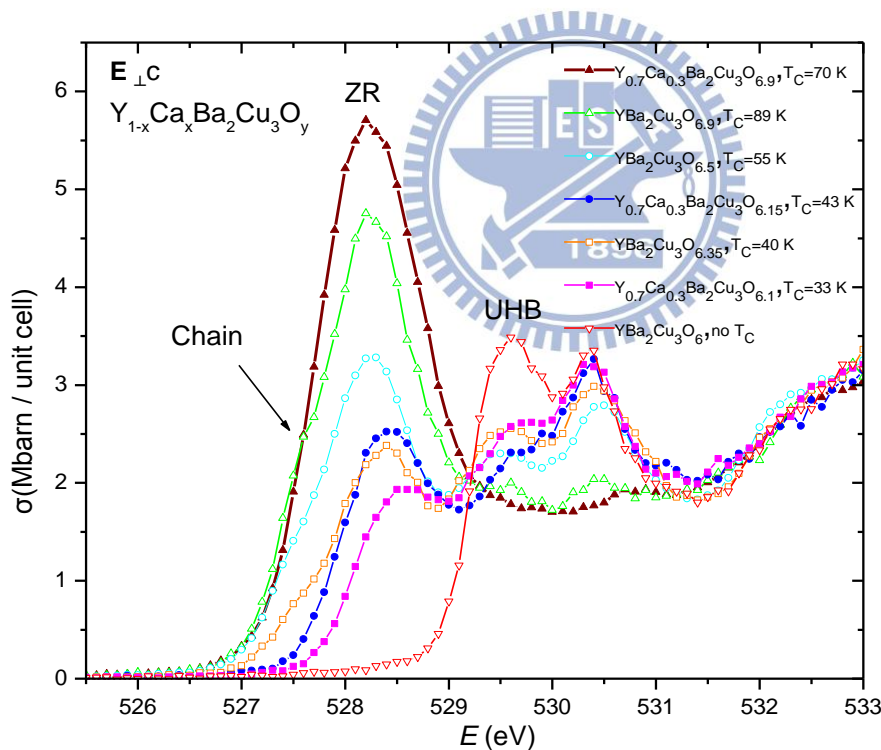


圖 4-8 林沛宏論文  $\text{Y}_{1-x}\text{Ca}_x\text{Ba}_2\text{Cu}_3\text{O}_y$  ( $x=0$ 、 $0.3$ ) 薄膜之入射光電場垂直  $c$  軸， $\text{O} K$  edge XANES 吸收光譜[8]。

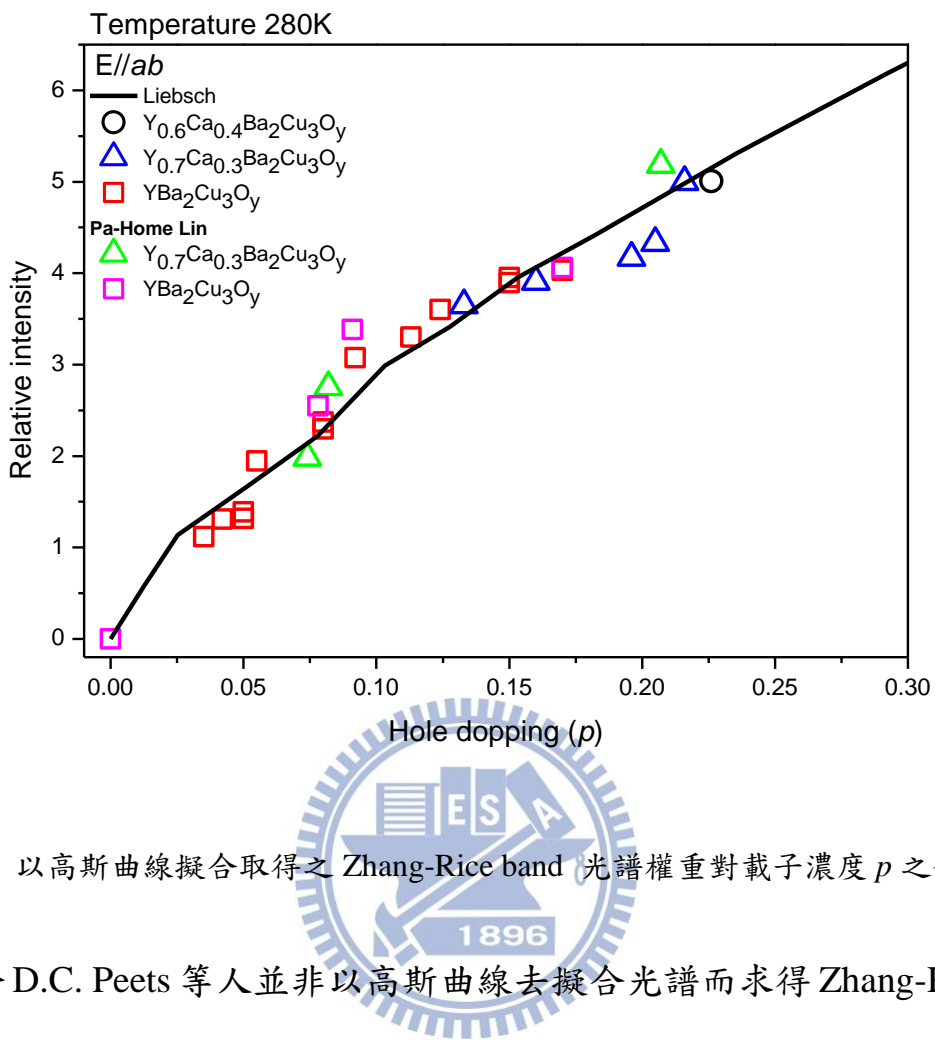


圖 4-9 以高斯曲線擬合取得之 Zhang-Rice band 光譜權重對載子濃度  $p$  之作圖。

由於 D.C. Peets 等人並非以高斯曲線去擬合光譜而求得 Zhang-Rice band 光譜權重，而是在 lowest-energy prepeak 前後取一能量區間直接做積分得其光譜權重，所以我們也仿照此法在 lowest-energy prepeak 處取正負 0.25 eV 及 0.5 eV 做為積分的能量區間以求其光譜權重，如圖 4-10 和 4-11 所示，將其結果與圖 4-9 高斯曲線擬合所得之數據取  $p=0.15$  處值歸一化做比較，如圖 4-12 所示。將此兩種不同的方法所得實驗數據放置一起與圖 4-9 以高斯曲線擬合取得之數據仍有一致的走勢，並無太明顯的趨勢差異存在。

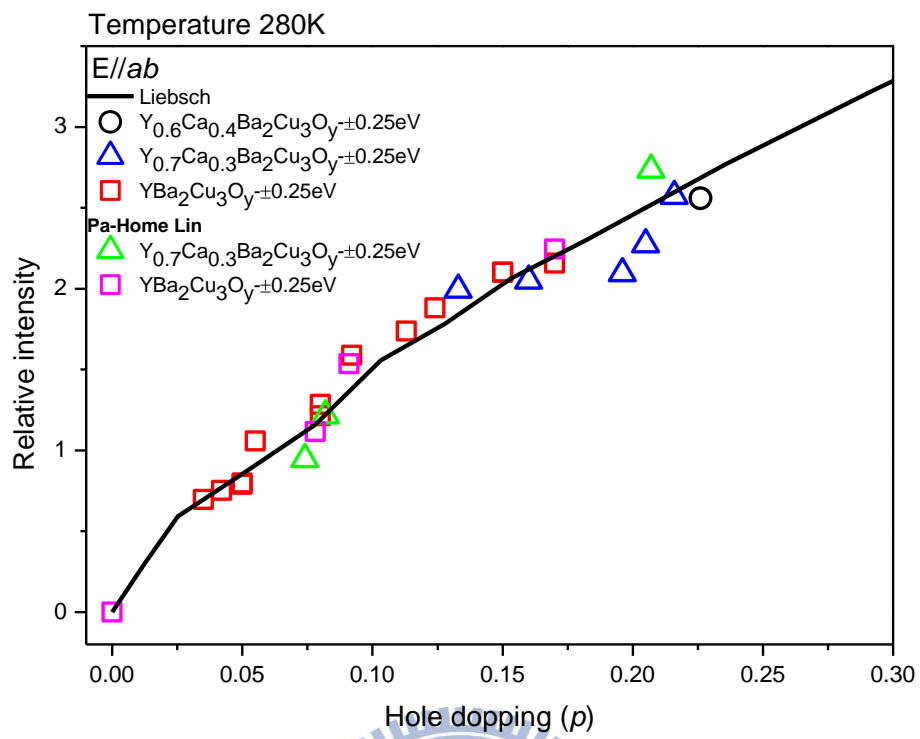


圖 4-10 以 lowest-energy prepeak 為中心取正負 0.25eV 為積分範圍所得 Zhang-Rice band 光譜權重對載子濃度  $p$  之作圖。

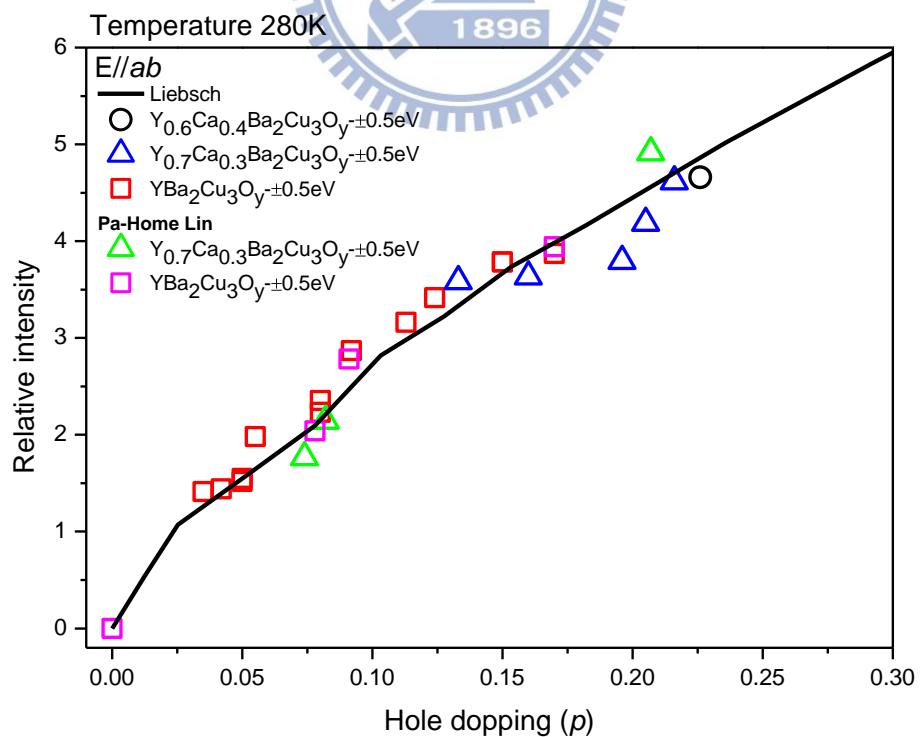


圖 4-11 以 lowest-energy prepeak 為中心取正負 0.5eV 為積分範圍所得 Zhang-Rice band 光譜權重對載子濃度  $p$  之作圖。

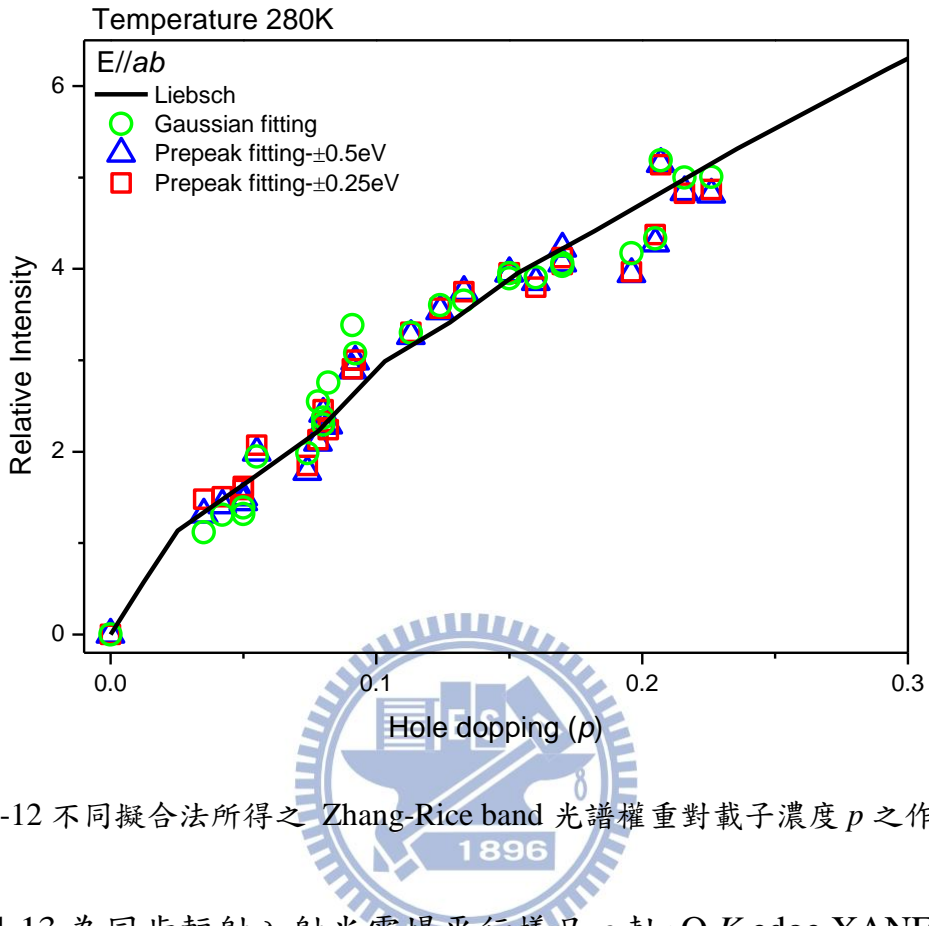


圖 4-12 不同擬合法所得之 Zhang-Rice band 光譜權重對載子濃度  $p$  之作圖。

圖 4-13 為同步輻射入射光電場平行樣品  $c$  軸, O  $K$  edge XANES 吸收光譜, 其光譜能量在 526eV 到 531eV 之間有兩個峰, 位於 527.5eV 的峰(寬約 526eV 到 529.5eV)是由軸向氧(apical O(4))的吸收貢獻[12], 位於 530.5eV 的峰, 為空缺的 O(1)所貢獻。

由過去文獻可知摻入鈣的載子並沒有出現在軸向氧上, 且氧含量之多寡與能量位置約為 530.5eV 和 532eV 的峰光譜權重皆有關聯性[8], 如圖 4-13 中觀察  $\text{YBa}_2\text{Cu}_3\text{O}_{6.95}$ 、 $\text{Y}_{0.7}\text{Ca}_{0.3}\text{Ba}_2\text{Cu}_3\text{O}_{6.95}$  和  $\text{Y}_{0.6}\text{Ca}_{0.4}\text{Ba}_2\text{Cu}_3\text{O}_{6.95}$ , 位於 530.5eV 的峰光譜權重大致相同, 相同於  $\text{Y}_{0.7}\text{Ca}_{0.3}\text{Ba}_2\text{Cu}_3\text{O}_{6.8}$ ( $T_c = 71\text{K}、77\text{K}$ )

和  $\text{YBa}_2\text{Cu}_3\text{O}_{6.8}$ 。而位於 530.5eV 和 532eV 的峰光譜權重明顯隨著氧含量減少而增加。而能量位於 530.5eV 的峰光譜權重為 O(1)的空缺所貢獻，但位於 532eV 的峰光譜權重形成原因尚未研究證實，推測或許與軸向氧之空缺缺陷有關。

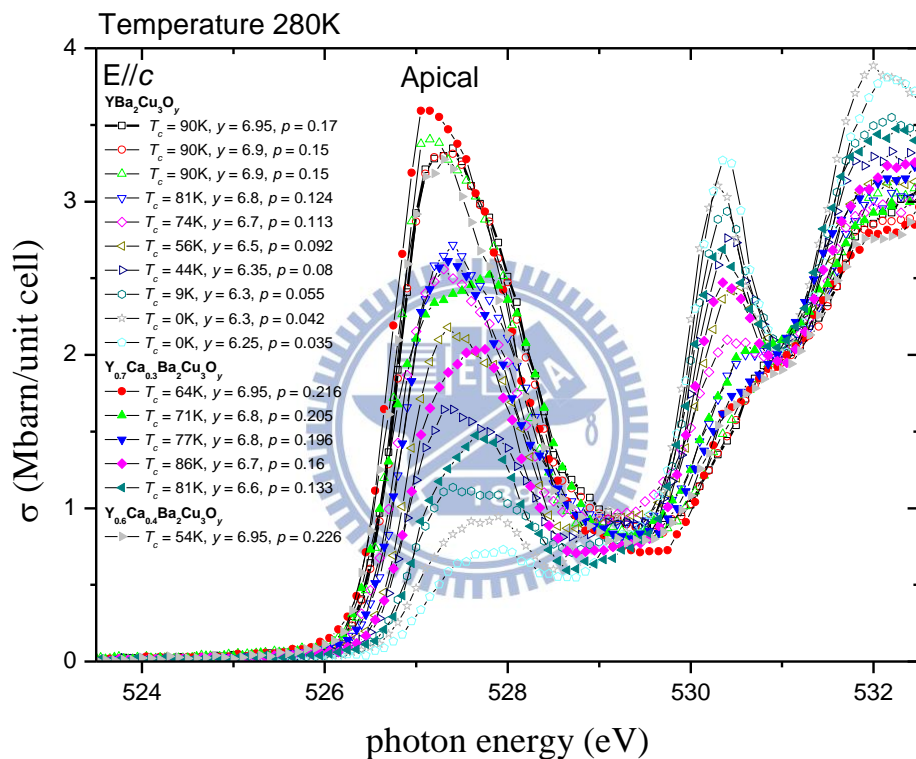


圖 4-13  $\text{Y}_{1-x}\text{Ca}_x\text{Ba}_2\text{Cu}_3\text{O}_y$  ( $x=0$ 、 $0.3$ 、 $0.4$ ， $p=0.035\sim0.226$ ) 薄膜之入射光電場平行  $c$  軸，O  $K$  edge XANES 吸收光譜。

## 4.4 Cu $L_{\text{III}}$ edge XANES 光譜分析

圖 4-14、4-15 為  $\text{Y}_{1-x}\text{Ca}_x\text{Ba}_2\text{Cu}_3\text{O}_y$  ( $x=0$ 、 $0.3$ 、 $0.4$ ， $6.25 \leq y \leq 6.95$ ) 於溫度  $T=280\text{K}$  下同步輻射入射光電場垂直樣品  $c$  軸之 Cu  $L_{\text{III}}$  edge XANES 光譜。光譜能量位置位約於  $931\text{eV}$  之光譜權重，被公認是銅氧面上帶+2 價的 Cu(2, 3) 之吸收，其  $\text{Cu}3d^9$  跃遷到  $\text{Cu}2p3d^{10}$  之吸收[12]，約位於  $932.3\text{ eV}$  的光譜權重被認為是帶+3 價的 Cu，由  $\text{Cu}(2,3)3d_x^{2-y^2}$  軌域發生由  $\text{Cu}3d^9L$  轉移到  $\text{Cu}2p3d^{10}\underline{L}$  的吸收，其中  $\underline{L}$  代表 ligand 上之電洞[21]，約位於  $933.8\text{ eV}$  的光譜權重被認為是+1 價的 Cu(1) [12]，且隨著樣品氧含量增加而下降。



由過去文獻得知氧含量之多寡與 ligand holes 數目和 Zhang-Rice band 光譜權重皆有關聯性[8,19,20]，如圖 4-14、4-15，當氧含量減少時，ligand holes 數目隨之減少，其變化行為與 Zhang-Rice band 光譜權重的變化一致。Ligand 為銅和氧混成的軌域，與氧相關，這也說明摻入鈣後載子大多進入氧上，而非銅上，由銅的吸收光譜可看出銅的價數改變與電荷轉換的情形，且位於  $932.3\text{ eV}$  的光譜權重與 O K edge 吸收光譜相互驗證。故由圖 4-14、4-15 得知樣品製備完成後至進行 XANES 實驗量測顯示結構依舊良好之另一證據。

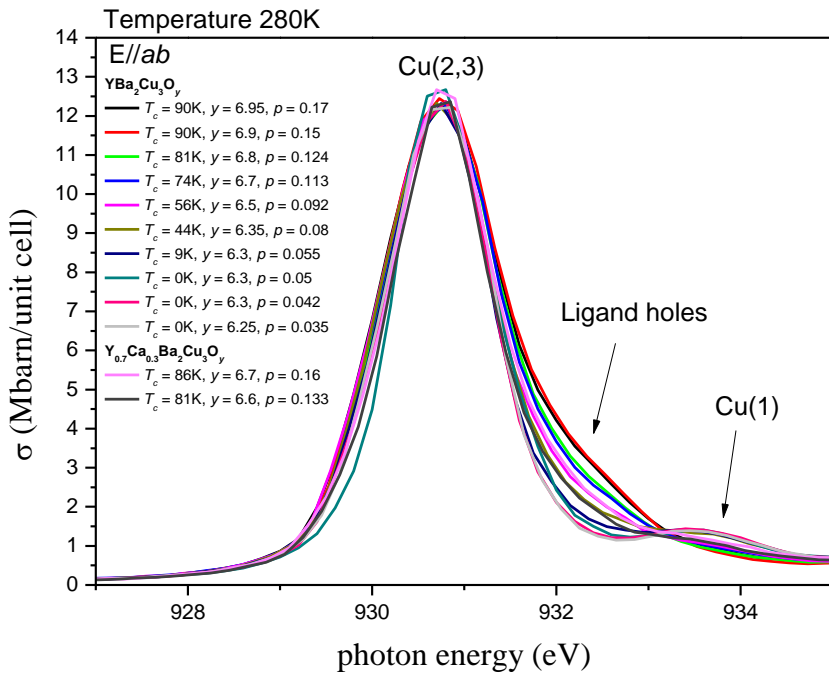


圖 4-14  $\text{Y}_{1-x}\text{Ca}_x\text{Ba}_2\text{Cu}_3\text{O}_y$  ( $x=0, 0.3, p=0.035\sim0.17$ ) 薄膜之入射光電場垂直  $c$  軸,  $\text{Cu } L_{\text{III}}$  edge XANES 吸收光譜。

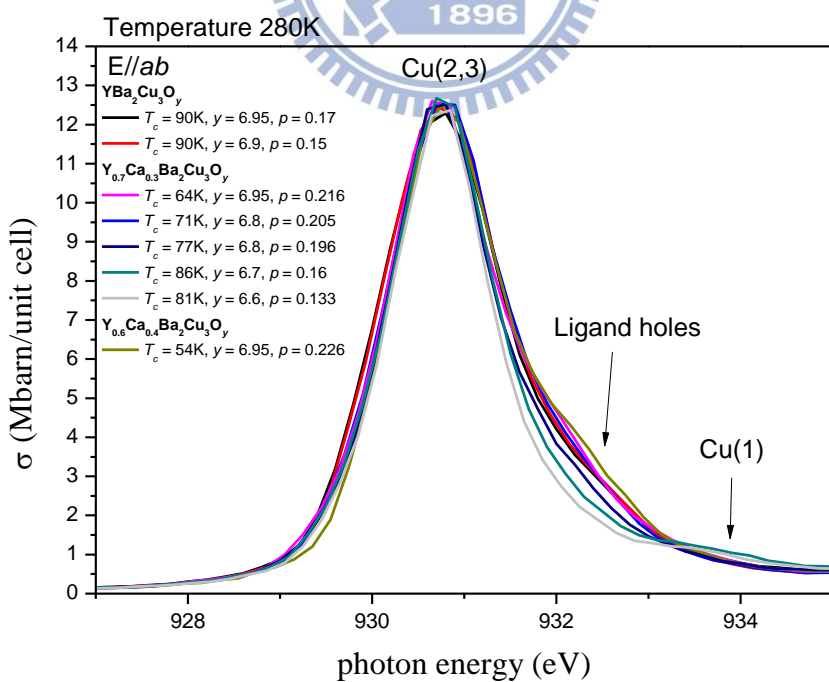


圖 4-15  $\text{Y}_{1-x}\text{Ca}_x\text{Ba}_2\text{Cu}_3\text{O}_y$  ( $x=0, 0.3, 0.4, p=0.133\sim0.226$ ) 薄膜之入射光電場垂直  $c$  軸,  $\text{Cu } L_{\text{III}}$  edge XANES 吸收光譜。

觀察圖 4-14、4-15 中，隨著氧含量增加，位於 933.8 eV +1 價的 Cu(1) 的光譜權重逐漸減少，一部份的+1 價的 Cu(1)慢慢被氧化成+3 價的 Cu，最後，過量的載子完全氧化+1 價的 Cu(1)。由過去文獻我們知道 ligand holes 的多寡與  $T_c$  有直接的關係[8]，且位於 932.3 eV 光譜權重變化行為與 ZR band 光譜權重的變化一致，說明 ligand holes 數目也暗示著 ZR band 上載子的多寡，因此 932.3 eV 光譜權重變化行為能作為 Liebsch 的理論計算模型[3]在我們的數據範圍內( $p=0\sim0.23$ )是否適用的另一證據。

由圖 4-15 中，隨著載子濃度  $p$  的增加，位於 932.3 eV +3 價的 Cu 光譜權重也逐漸增加，與 ZR band 光譜權重的變化一致。說明 ligand holes 數目隨著載子濃度  $p$  增加，但並未出現 D. C. Peets 等人論文[1]中提到的當載子濃度  $p$  大於 0.21 後 ZR band 光譜權重呈現飽和的狀態，也再次說明 Liebsch 的理論計算模型[3]在我們的數據範圍內( $p=0\sim0.23$ )為適用。

## 4.5 O K edge 變溫之 XANES 光譜分析

由李佩茹學姐論文[26]中我們知道  $\text{YBa}_2\text{Cu}_3\text{O}_y$  於 O K edge XANES 光譜實驗中，當樣品溫度  $T$  大於偽能隙溫度  $T^*$  時，其 ZR band 光譜權重會小於當樣品溫度  $T$  小於偽能隙溫度  $T^*$  時的光譜權重，其變化與 Philip Phillips *et al.* 所提出高溫超導體中 Hidden charge  $2e$  boson model 之新理論[27]定性符合。

在本論文中我們用  $T_c=56\text{K}、44\text{K}、9\text{K}、0\text{K}$  ( $p$  分別為  $0.092、0.08、0.055、0.05$ ) 的  $\text{YBa}_2\text{Cu}_3\text{O}_y$  薄膜樣品做溫度  $T$  於  $300\text{K}$  到約  $17\text{K}$  的 O K edge XANES 光譜實驗，計算其 Zhang-Rice band 和 upper Hubbard band 隨溫度的光譜權重變化，並和呂宗諺學長所量測的光譜實驗數據及李佩茹學姐論文[26]做比較。其 ZR band 和 UHB 光譜權重面積積分範圍，及呂宗諺學長光譜數據放置於附錄二。



圖 4-16~19 為  $\text{YBa}_2\text{Cu}_3\text{O}_y$  薄膜溫度  $T$  於  $300\text{K}$  到最低溫 O K edge XANES 光譜實驗數據圖。我們由圖 4-16~19 中以  $300\text{K}$  光譜權重為原點，計算其它溫區下之光譜權重面積差( $\Delta S$ )變化趨勢， $\Delta S = S_T - S_{300\text{K}}$ ，其中  $S_T$  為溫度  $T$  之光譜權重面積， $S_{300\text{K}}$  為溫度  $300\text{K}$  時之光譜權重面積， $\Delta S$  為溫度  $T$  之光譜權重減去溫度  $300\text{K}$  之光譜權重面積之差，其中  $\Delta S_{\text{ZR}}$ 、 $\Delta S_{\text{UHB}}$  分別代表 ZR band 和 UHB 不同溫度下之光譜權重面積差，如圖 4-20、4-21。圖 4-20 為呂宗諺學長量測不同溫度下之  $\text{YBa}_2\text{Cu}_3\text{O}_y$  光譜權重面積差變化圖，圖(a)、(b)、(c)  $\Delta S_{\text{ZR}}$  符合 Hidden charge  $2e$  boson model 理論預測，(d)因其

$T^*>300K$  無法量測偽能隙上溫區，不在理論預測討論範圍內，但由圖知道隨著  $p$  值越小  $\Delta S_{ZR}$  隨著溫度越低變化會越小的趨勢；而 UHB 隨著  $p$  值越小其  $\Delta S_{UHB}$  隨著溫度越低變化會越大(負成長)，但卻在  $p \leq 0.05$  時變化趨近零，這不規律的變化是我們所好奇的。因此於圖 4-21 為我們製備之  $\text{YBa}_2\text{Cu}_3\text{O}_y$  薄膜，其  $T_c=56\text{K}$ 、 $44\text{K}$ 、 $9\text{K}$ 、 $0\text{K}$ ，載子濃度  $p$  分別為  $0.092$ 、 $0.08$ 、 $0.055$ 、 $0.05$ ，且比較與圖 4-20 有相同之變化趨勢情形。由圖 4-21 出現當  $0.05 < p < 0.055$   $\Delta S_{UHB}$  由隨著溫度越低變化越大(負成長)轉成隨著溫度越低  $\Delta S_{UHB}$  趨近零的轉折，其中的物理原理有待解釋。

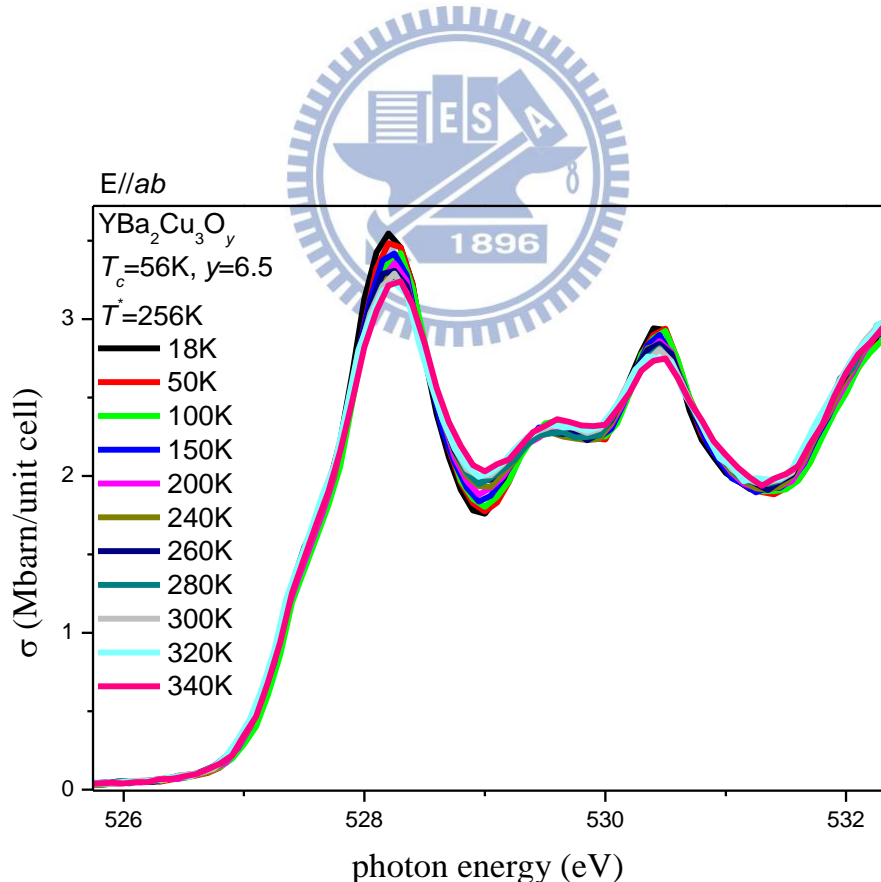


圖 4-16  $\text{YBa}_2\text{Cu}_3\text{O}_{6.5}$ ,  $p=0.092$  薄膜  $T=300\text{K} \sim 18\text{K}$  O K edge XANES 光譜實驗數據圖。

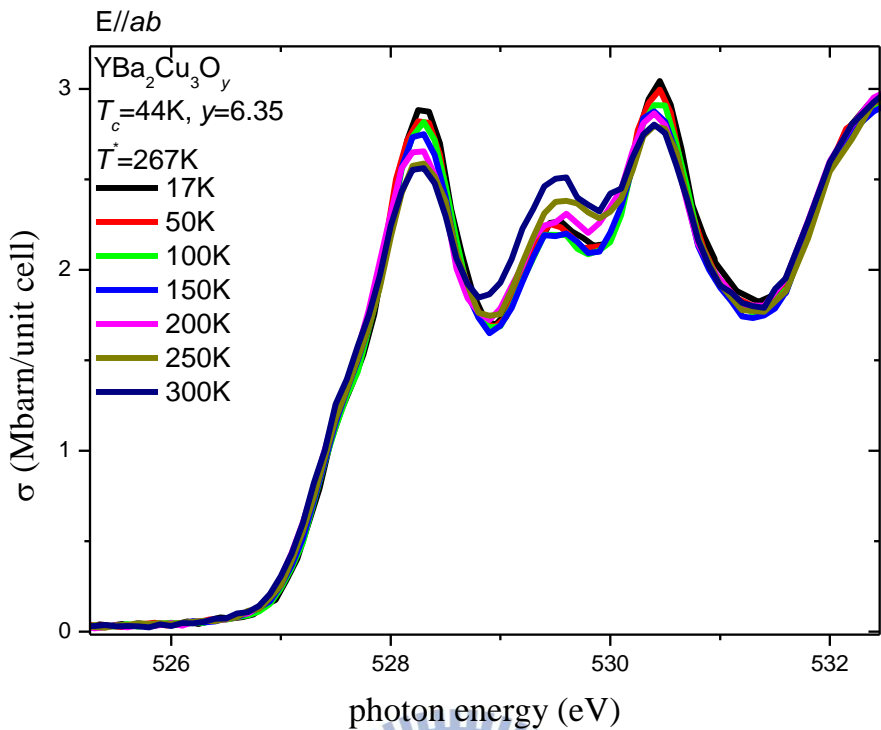


圖 4-17  $\text{YBa}_2\text{Cu}_3\text{O}_{6.35}$ ,  $p=0.08$  薄膜  $T=300\text{K}\sim 17\text{K}$  O K edge XANES 光譜實驗數據圖。

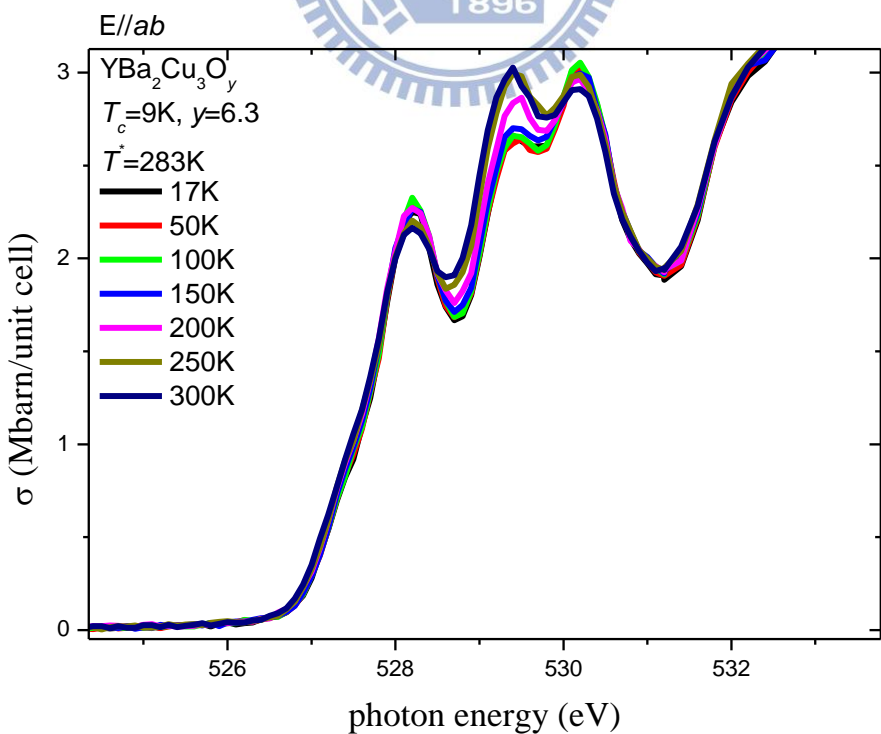


圖 4-18  $\text{YBa}_2\text{Cu}_3\text{O}_{6.3}$ ,  $p=0.055$  薄膜  $T=300\text{K}\sim 17\text{K}$  O K edge XANES 光譜實驗數據圖。

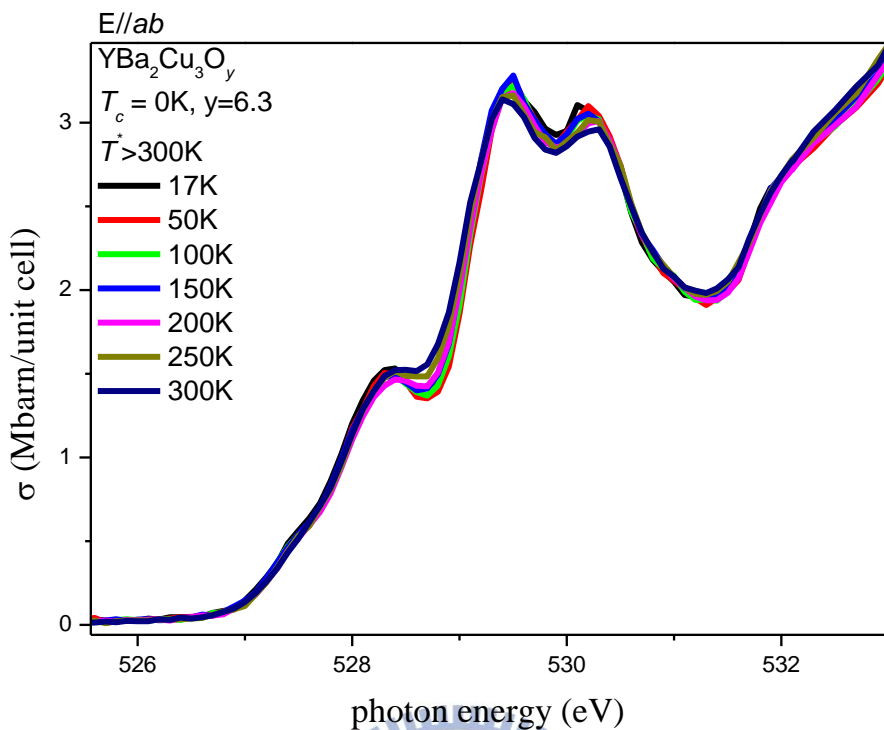


圖 4-19  $\text{YBa}_2\text{Cu}_3\text{O}_{6.3}$ ,  $p=0.05$  薄膜  $T=300\text{K}\sim 17\text{K}$  O K edge XANES 光譜實驗數據圖。

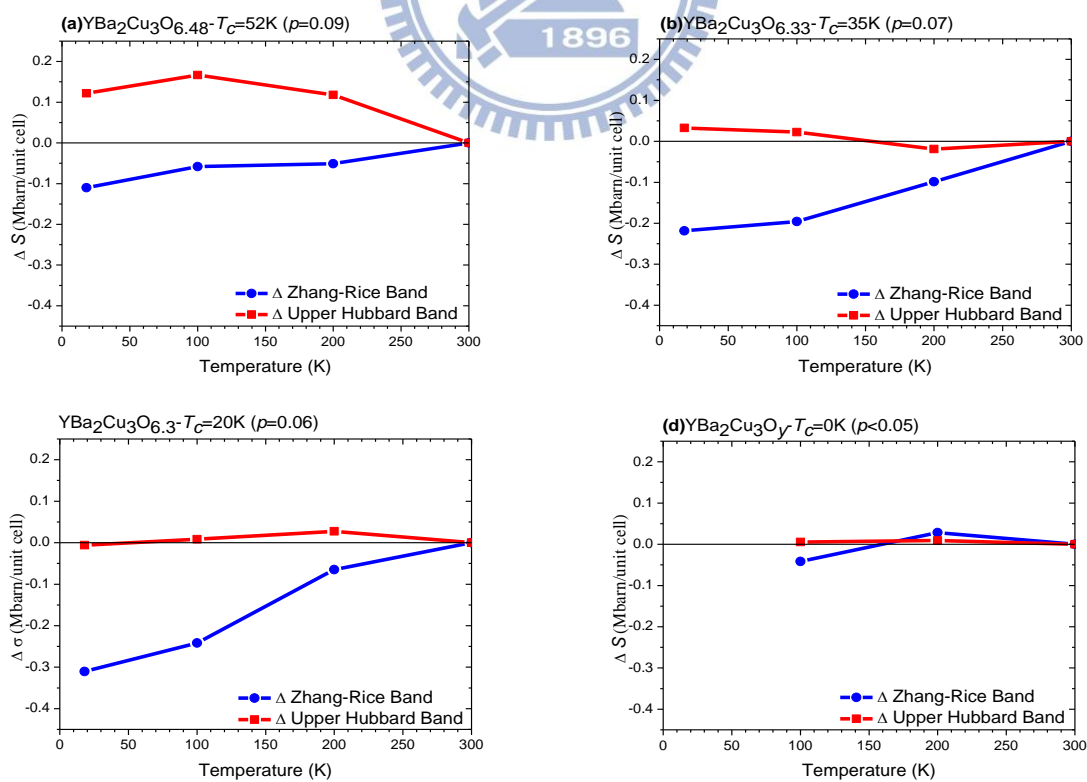


圖 4-20 以 300K 為原點之  $\text{YBa}_2\text{Cu}_3\text{O}_y$  ( $T_c=52\text{K}$ 、 $35\text{K}$ 、 $20\text{K}$ 、 $0\text{K}$ ) 不同溫度下  $\Delta S$  變化趨勢圖(呂宗諺)。

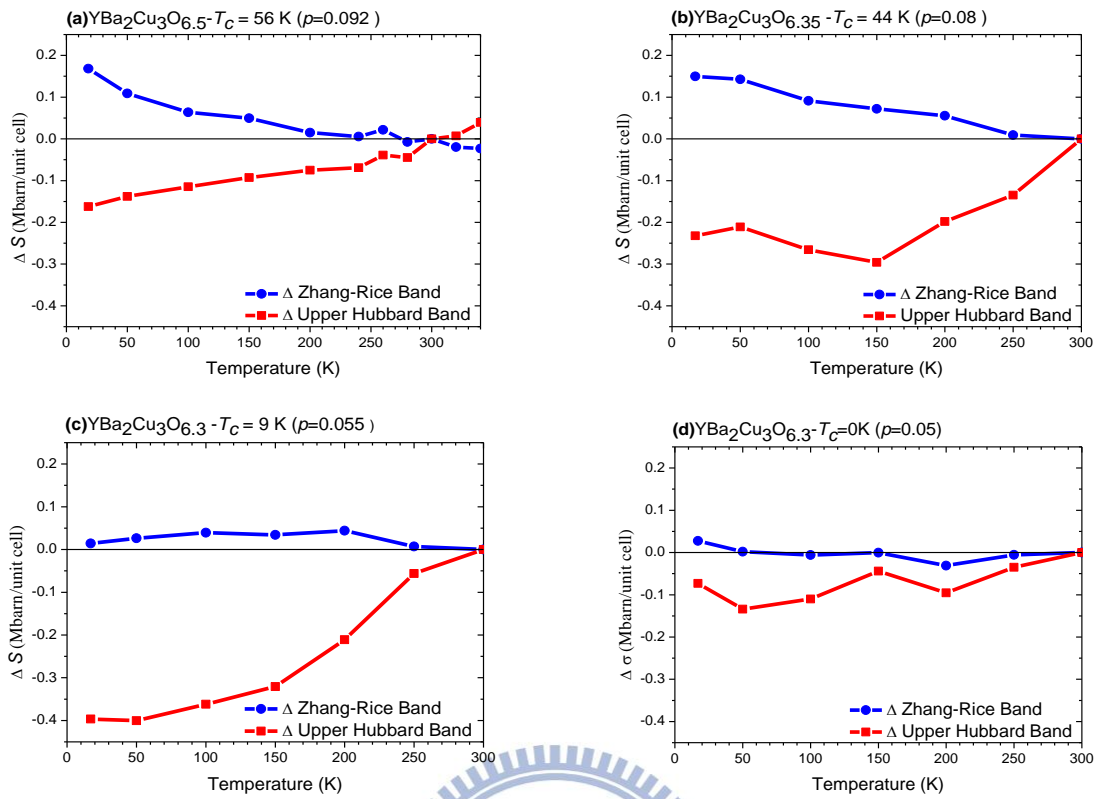
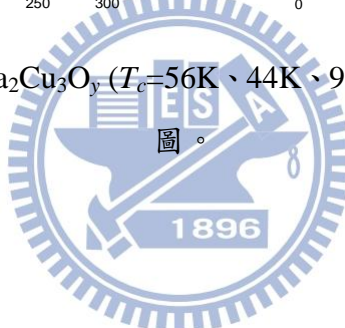


圖 4-21 以 300K 為原點之  $\text{YBa}_2\text{Cu}_3\text{O}_y$  ( $T_c=56\text{K}$ 、 $44\text{K}$ 、 $9\text{K}$ 、 $0\text{K}$ ) 不同溫度下  $\Delta S$  變化趨勢



## 第五章 結論

本實驗檢驗 D. C. Peets 等人於 2009 年發表的論文[1]中提出在分析高溫超導體的近緣吸收光譜中，載子濃度處於 overdoped 區域的高溫超導樣品於 O K edge XANES 光譜中如預期 upper Hubbard Band 光譜權重逐漸變小，但 ZR Band 的光譜權重增長卻不如理論預測。綜合本實驗研究之結果，於  $\text{Y}_{1-x}\text{Ca}_x\text{Ba}_2\text{Cu}_3\text{O}_y$  ( $x=0$ 、 $0.3$ 、 $0.4$ ， $6.0 \leq y \leq 6.95$ ) 薄膜 O K edge 並無發現有 D. C. Peets 等人實驗結果所宣稱在載子濃度  $p$  大於 0.21 後 ZR band 光譜權重呈現飽和的狀態，且在 Cu L<sub>III</sub> edge 之 X 光吸收光譜(XANES)實驗中，ligand holes 數目也無呈現飽和，並有繼續增長的趨勢。說明本實驗結果與 Liebsch 的 single band Hubbard model 理論模型結果[3, 4]較為符合，故本實驗認為 Hubbard model 在  $0 \leq p \leq 0.23$  間仍可適用。

$\text{YBa}_2\text{Cu}_3\text{O}_y$  於 O K edge 變溫之 XANES 光譜實驗中，當樣品溫度  $T$  大於偽能隙溫度  $T^*$  時，其 ZR band 光譜權重會小於當樣品溫度  $T$  小於偽能隙溫度  $T^*$  時的光譜權重，其  $p \leq 0.092$  樣品光譜實驗數據變化與李佩茹學姐論文[26]實驗數據和 Philip Phillips *et al.* 所提出高溫超導體中 Hidden charge  $2e$  boson model 之新理論[27]定性符合，而 HUB 其光譜權重變化需待解釋。

## 參考文獻

- [1] D. C. Peets, D. G. Hawthorn, K. M. Shen, Young-June Kim, D. S. Ellis, H. Zhang, Seiki Komiya, Yoichi Ando, G. A. Sawatzky, Ruixing Liang, D. A. Bonn, & W. N. Hardy. Phys. Rev. Lett. **103**, 087402 (2009).
- [2] X. Wang, L. de' Medici, & A. J. Millis, Phys. Rev. B **81**, 094522 (2010).
- [3] Liebsch, Phys. Rev. B **81**, 235133 (2010).
- [4] P. Phillips & M. Jarrell, Phys. Rev. Lett. **105**, 199701 (2010).
- [5] Michel Cyrot & Davor Pauna, World Scientific, Singapore, 1992.
- [6] D. C. Johnston, S. K. Sinha, A. J. Jacobson, J. M. Newsam. Physica (Amsterdam) **572**, 153 (1988).
- [7] H. Verweij, Solid state Commun. **67**, 109 (1988).
- [8] 林沛宏，碩士論文，“銅氧化物超導體  $T_c$  與銅氧面電洞之研究”，交通大學，(2003)。
- [9] F. C. Zhang & T. M. Rice, Phys. Rev. B **37**, 3759 (1988).
- [10] 馮端，金國均，凝聚態物理新論，凡異出版社 (2000)。
- [11] P. K. Gallagher, Adv. cram. Mater., **2** 632 (1987).
- [12] J. Fink, N. Nücker, E. Pellegrin, H. Romberg, M. Alexander, M. Knupfer, J. Electron Spectrosc. Relat. Phenom. **66**, 395 (1994).
- [13] Y. Tokura, J. B. Torrance, T. C. Huang, and A. I. Nazzal, Phys. Rev. B **38**, 7156 (1988).
- [14] User's Manual of the 6m-HSGM Beamline at SRRC. May 1996.
- [15] S. Eisebitt, T. Böske, J.-E. Rubensson, & W. Eberhardt, Phys. Rev. B **47**, 14013 (1993).
- [16] A. Carrington, D. J. C. Walker, A. P. Mackenzie, & J. R. Cooper, Phys. Rev. B **48**, 13051 (1993).
- [17] Ruixing Liang, D. A. Bonn, & W. N. Hardy, Phys. Rev. B **73**, 180505(R) (2006).

- [18] H. Krakauer, W. E. Pickett & S. F. Hu, Physica C **272**, 180 (1996).
- [19] J. Zaanen & G. A. Sawatzky, Phys. Rev. Lett. **55**, 418 (1985).
- [20] H. Eskes & G. A. Sawatzky, Phys. Rev. Lett. **61**, 1415 (1988).
- [21] N. Nücker, H. Romberg, X. X. Xi, J. Fink, B. Gegenheimer, & Z. X. Zhao, Phys. Rev. B **39**, 6619 (1989).
- [22] 許晉源，碲硒化鉍  $\text{Bi}_2\text{Te}_{3-x}\text{Se}_x$  之熱電特性與溫度相依性之探討。
- [23] J. L. Tallon, C. Bernhard, H. Shaked, R. L. Hitterman, & J. D. Jorgensen, Phys. Rev. B **51**, 12911 (1995).
- [24] A. Damascelli, et al, Rev. Mod. Phys. **75**, 473 (2003).
- [25] M. Merz, N. Nücker, P. Schweiss, S. Schuppler, C. T. Chen, V. Chakarian, J. Freeland, Y. U. Idzerda, M. Kläser, G. Müller-Vogt, & Th. Wolf, Phys. Rev. Lett. **80**, 5192 (1998).
- [26] 李佩茹，碩士論文，“過渡金屬氧化物之近緣吸收光譜研究”，交通大學，(2009)。
- [27] Robert G. Leigh, Philip Phillips, & Ting-Pong Choy, Phys. Rev. Lett. **99**, 046404 (2007).



## 附 錄 一

光譜擬合圖是利用 peakFit v4 數學軟體是以九個高斯曲線擬合光譜，其各能量位置參考光譜擬合圖，高斯曲線的半高寬為固定參數，依光譜能量由低而高依序排列參考如下。

(1) $p=0.226$

| $\text{Y}_{0.6}\text{Ca}_{0.4}\text{Ba}_2\text{Cu}_3\text{O}_{6.95}(T_c=54\text{K})$ | Energy(eV) | Area     | FWHM    |
|--|------------|----------|---------|
| 1  | 527.51     | 1.70708  | 0.38999 |
| 2  | 527.95     | 5.00737  | 0.48599 |
| 3  | 529.11     | 1.85632  | 0.51578 |
| 4  | 530.30     | 2.27201  | 0.54563 |
| 5  | 531.25     | 1.57645  | 0.48997 |
| 6  | 532.14     | 2.70175  | 0.54134 |
| 7  | 533.35     | 4.31987  | 0.68001 |
| 8  | 534.85     | 9.80454  | 0.88001 |
| 9  | 536.92     | 15.75502 | 1.01000 |

(2) $p=0.216$

| $\text{Y}_{0.7}\text{Ca}_{0.3}\text{Ba}_2\text{Cu}_3\text{O}_{6.95}(T_c=64\text{K})$ | Energy(eV) | Area     | FWHM    |
|--|------------|----------|---------|
| 1  | 527.55     | 1.77712  | 0.38999 |
| 2  | 528.07     | 4.99816  | 0.46100 |
| 3  | 529.19     | 1.88162  | 0.50598 |
| 4  | 530.38     | 2.03732  | 0.52563 |
| 5  | 531.24     | 1.46281  | 0.48997 |
| 6  | 532.19     | 2.71593  | 0.54135 |
| 7  | 533.38     | 3.73983  | 0.68002 |
| 8  | 534.87     | 9.63334  | 0.88001 |
| 9  | 537.02     | 16.35502 | 1.03000 |

(3) $p=0.205$

| $\text{Y}_{0.7}\text{Ca}_{0.4}\text{Ba}_2\text{Cu}_3\text{O}_{6.8}(T_c=71\text{K})$ | Energy(eV) | Area     | FWHM    |
|---|------------|----------|---------|
| 1   | 527.62     | 1.50573  | 0.38999 |
| 2   | 528.11     | 4.33293  | 0.45100 |
| 3   | 529.26     | 1.89258  | 0.51098 |
| 4   | 530.36     | 2.43849  | 0.52563 |
| 5   | 531.20     | 1.39255  | 0.46997 |
| 6   | 532.16     | 2.83004  | 0.55134 |
| 7   | 533.40     | 4.51761  | 0.69001 |
| 8   | 534.93     | 9.06345  | 0.84001 |
| 9   | 536.95     | 15.59502 | 0.99000 |

(4) $p=0.196$

| $\text{Y}_{0.7}\text{Ca}_{0.3}\text{Ba}_2\text{Cu}_3\text{O}_{6.8}(T_c=77\text{K})$ | Energy(eV) | Area     | FWHM    |
|---|------------|----------|---------|
| 1   | 527.60     | 1.32210  | 0.37999 |
| 2   | 528.18     | 4.17097  | 0.45100 |
| 3   | 529.37     | 2.12836  | 0.52096 |
| 4   | 530.47     | 2.30190  | 0.48562 |
| 5   | 531.26     | 1.05219  | 0.40997 |
| 6   | 532.16     | 2.92338  | 0.56135 |
| 7   | 533.35     | 3.91044  | 0.67002 |
| 8   | 534.86     | 9.34215  | 0.91001 |
| 9   | 537.05     | 16.70502 | 1.10000 |

(5) $p=0.16$

| $\text{Y}_{0.7}\text{Ca}_{0.3}\text{Ba}_2\text{Cu}_3\text{O}_{6.7}(T_c=86\text{K})$ | Energy(eV) | Area     | FWHM    |
|---|------------|----------|---------|
| 1   | 527.70     | 0.83592  | 0.37999 |
| 2   | 528.22     | 3.90558  | 0.41100 |
| 3   | 529.38     | 2.31632  | 0.54597 |
| 4   | 530.53     | 2.70129  | 0.50562 |
| 5   | 531.38     | 0.65340  | 0.40997 |
| 6   | 532.15     | 2.95698  | 0.56135 |
| 7   | 533.37     | 4.04960  | 0.66001 |
| 8   | 534.74     | 9.00602  | 0.85001 |
| 9   | 536.98     | 17.50502 | 1.10000 |

(6) $p=0.133$

| $\text{Y}_{0.7}\text{Ca}_{0.3}\text{Ba}_2\text{Cu}_3\text{O}_{6.6}(T_c=81\text{K})$ | Energy(eV) | Area     | FWHM    |
|---|------------|----------|---------|
| 1   | 527.69     | 0.72503  | 0.37999 |
| 2   | 528.23     | 3.65117  | 0.39100 |
| 3   | 529.30     | 2.32348  | 0.54098 |
| 4   | 530.44     | 2.79214  | 0.50563 |
| 5   | 531.30     | 0.88348  | 0.40998 |
| 6   | 532.17     | 2.94859  | 0.56135 |
| 7   | 533.34     | 3.94095  | 0.66001 |
| 8   | 534.76     | 8.77708  | 0.85001 |
| 9   | 536.98     | 17.20502 | 1.10000 |

(7) $p=0.17$

| $\text{YBa}_2\text{Cu}_3\text{O}_{6.95}(T_c=90\text{K})$ | Energy(eV) | Area     | FWHM    |
|--|------------|----------|---------|
| 1  | 527.54     | 1.52323  | 0.38999 |
| 2  | 528.19     | 4.03260  | 0.40100 |
| 3  | 529.30     | 2.03258  | 0.44098 |
| 4  | 530.33     | 2.10017  | 0.45565 |
| 5  | 531.21     | 1.51849  | 0.40998 |
| 6  | 532.22     | 3.12102  | 0.53135 |
| 7  | 533.41     | 3.95559  | 0.64001 |
| 8  | 534.79     | 8.88454  | 0.82001 |
| 9  | 536.94     | 17.90502 | 0.99000 |

(8) $p=0.15$

| $\text{YBa}_2\text{Cu}_3\text{O}_{6.9}(T_c=90\text{K})$ | Energy(eV) | Area     | FWHM    |
|---|------------|----------|---------|
| 1   | 527.44     | 1.37328  | 0.37998 |
| 2   | 528.14     | 3.95252  | 0.39100 |
| 3   | 529.25     | 2.12477  | 0.46098 |
| 4   | 530.34     | 2.11721  | 0.45565 |
| 5   | 531.21     | 1.53384  | 0.40998 |
| 6   | 532.21     | 3.18066  | 0.53135 |
| 7   | 533.40     | 3.92206  | 0.64001 |
| 8   | 534.78     | 8.84772  | 0.82001 |
| 9   | 536.94     | 17.90502 | 0.99000 |

(9) $p=0.15$

| $\text{YBa}_2\text{Cu}_3\text{O}_{6.9}(T_c=90\text{K})$ | Energy(eV) | Area     | FWHM    |
|---|------------|----------|---------|
| 1   | 527.44     | 1.37328  | 0.37998 |
| 2   | 528.14     | 3.89400  | 0.39100 |
| 3   | 529.23     | 2.43934  | 0.51098 |
| 4   | 530.34     | 1.98765  | 0.45565 |
| 5   | 531.21     | 1.49395  | 0.40998 |
| 6   | 532.21     | 3.03355  | 0.53135 |
| 7   | 533.36     | 3.75925  | 0.64001 |
| 8   | 534.81     | 9.50978  | 0.84001 |
| 9   | 536.94     | 17.00502 | 0.95000 |

(10) $p=0.124$

| $\text{YBa}_2\text{Cu}_3\text{O}_{6.8}(T_c=81\text{K})$ | Energy(eV) | Area     | FWHM    |
|---|------------|----------|---------|
| 1   | 527.45     | 1.20836  | 0.37998 |
| 2   | 528.15     | 3.60054  | 0.40100 |
| 3   | 529.28     | 2.23342  | 0.46098 |
| 4   | 530.35     | 2.25245  | 0.44564 |
| 5   | 531.19     | 1.31295  | 0.40998 |
| 6   | 532.17     | 3.23830  | 0.53135 |
| 7   | 533.38     | 4.39139  | 0.64001 |
| 8   | 534.85     | 10.15082 | 0.85001 |
| 9   | 536.90     | 15.80502 | 0.89000 |

(11) $p=0.113$

| $\text{YBa}_2\text{Cu}_3\text{O}_{6.7}(T_c=74\text{K})$ | Energy(eV) | Area     | FWHM    |
|---|------------|----------|---------|
| 1   | 527.45     | 1.17709  | 0.37998 |
| 2   | 528.13     | 3.30049  | 0.40100 |
| 3   | 529.29     | 2.39030  | 0.49298 |
| 4   | 530.32     | 2.26745  | 0.44564 |
| 5   | 531.14     | 1.22706  | 0.40998 |
| 6   | 532.13     | 3.16077  | 0.53135 |
| 7   | 533.38     | 4.22378  | 0.64001 |
| 8   | 534.80     | 9.65427  | 0.84001 |
| 9   | 536.83     | 15.30019 | 0.90000 |

(12) $p=0.092$

| $\text{YBa}_2\text{Cu}_3\text{O}_{6.5}(T_c=56\text{K})$ | Energy(eV) | Area     | FWHM    |
|---|------------|----------|---------|
| 1   | 527.45     | 0.92120  | 0.37998 |
| 2   | 528.19     | 3.07457  | 0.39510 |
| 3   | 529.36     | 2.45925  | 0.48298 |
| 4   | 530.39     | 2.30673  | 0.40564 |
| 5   | 531.18     | 1.06394  | 0.39998 |
| 6   | 532.13     | 2.98780  | 0.53135 |
| 7   | 533.36     | 4.33152  | 0.67001 |
| 8   | 534.78     | 9.50342  | 0.84001 |
| 9   | 536.86     | 15.40019 | 0.90000 |

(13) $p=0.08$

| $\text{YBa}_2\text{Cu}_3\text{O}_{6.35}(T_c=44\text{K})$ | Energy(eV) | Area     | FWHM    |
|--|------------|----------|---------|
| 1  | 527.48     | 0.80605  | 0.37998 |
| 2  | 528.19     | 2.36975  | 0.39100 |
| 3  | 529.32     | 2.56405  | 0.47298 |
| 4  | 530.33     | 2.52677  | 0.40564 |
| 5  | 531.14     | 0.92753  | 0.37564 |
| 6  | 532.08     | 3.23237  | 0.54134 |
| 7  | 533.36     | 4.69248  | 0.67001 |
| 8  | 534.78     | 9.65427  | 0.84001 |
| 9  | 536.80     | 14.70019 | 0.85000 |

(14) $p=0.08$

| $\text{YBa}_2\text{Cu}_3\text{O}_{6.35}(T_c=44\text{K})$ | Energy(eV) | Area     | FWHM    |
|--|------------|----------|---------|
| 1  | 527.53     | 0.79610  | 0.37998 |
| 2  | 528.27     | 2.29369  | 0.39100 |
| 3  | 529.44     | 2.74367  | 0.46298 |
| 4  | 530.44     | 2.33149  | 0.38564 |
| 5  | 531.19     | 0.86454  | 0.36564 |
| 6  | 532.13     | 2.94070  | 0.54134 |
| 7  | 533.35     | 4.22845  | 0.69000 |
| 8  | 534.79     | 9.72553  | 0.88001 |
| 9  | 536.89     | 14.30019 | 0.87000 |

(15) $p=0.055$

| $\text{YBa}_2\text{Cu}_3\text{O}_{6.3}(T_c=9\text{K})$ | Energy(eV) | Area     | FWHM    |
|--|------------|----------|---------|
| 1  | 527.52     | 0.63972  | 0.37998 |
| 2  | 528.26     | 1.94554  | 0.39100 |
| 3  | 529.37     | 2.93337  | 0.44098 |
| 4  | 530.33     | 2.62490  | 0.42063 |
| 5  | 531.15     | 0.89661  | 0.37564 |
| 6  | 532.09     | 3.29717  | 0.56134 |
| 7  | 533.34     | 4.44195  | 0.68001 |
| 8  | 534.76     | 10.19946 | 0.86001 |
| 9  | 536.84     | 14.57019 | 0.85000 |

(16) $p=0.05$

| $\text{YBa}_2\text{Cu}_3\text{O}_{6.3}(T_c=0\text{K})$ | Energy(eV) | Area     | FWHM    |
|--|------------|----------|---------|
| 1  | 527.63     | 0.42790  | 0.37998 |
| 2  | 528.37     | 1.38691  | 0.38100 |
| 3  | 529.42     | 2.98383  | 0.40098 |
| 4  | 530.36     | 2.54497  | 0.38563 |
| 5  | 531.13     | 1.07509  | 0.37564 |
| 6  | 532.11     | 3.07339  | 0.55134 |
| 7  | 533.30     | 4.13157  | 0.68001 |
| 8  | 534.75     | 10.29846 | 0.87000 |
| 9  | 536.92     | 14.85019 | 0.87000 |

(17) $p=0.05$

| $\text{YBa}_2\text{Cu}_3\text{O}_{6.3}(T_c=0\text{K})$ | Energy(eV) | Area     | FWHM    |
|--|------------|----------|---------|
| 1  | 527.65     | 0.40089  | 0.37998 |
| 2  | 528.37     | 1.31653  | 0.39100 |
| 3  | 529.38     | 2.82310  | 0.39098 |
| 4  | 530.28     | 2.55750  | 0.39063 |
| 5  | 531.08     | 1.25953  | 0.38564 |
| 6  | 532.07     | 2.97025  | 0.55133 |
| 7  | 533.25     | 4.00057  | 0.67000 |
| 8  | 534.68     | 10.08998 | 0.86000 |
| 9  | 536.89     | 15.05019 | 0.90000 |

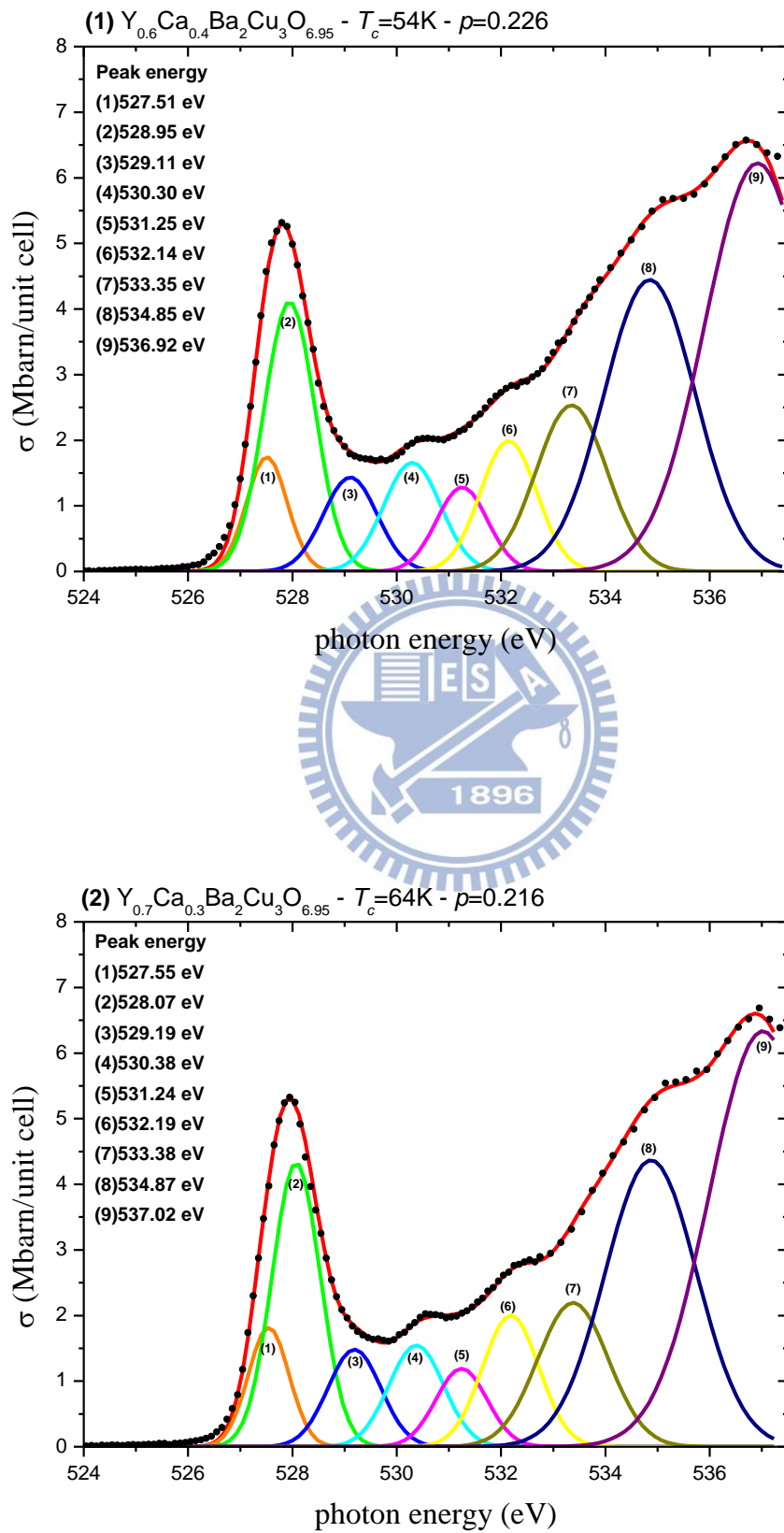
(18) $p=0.042$

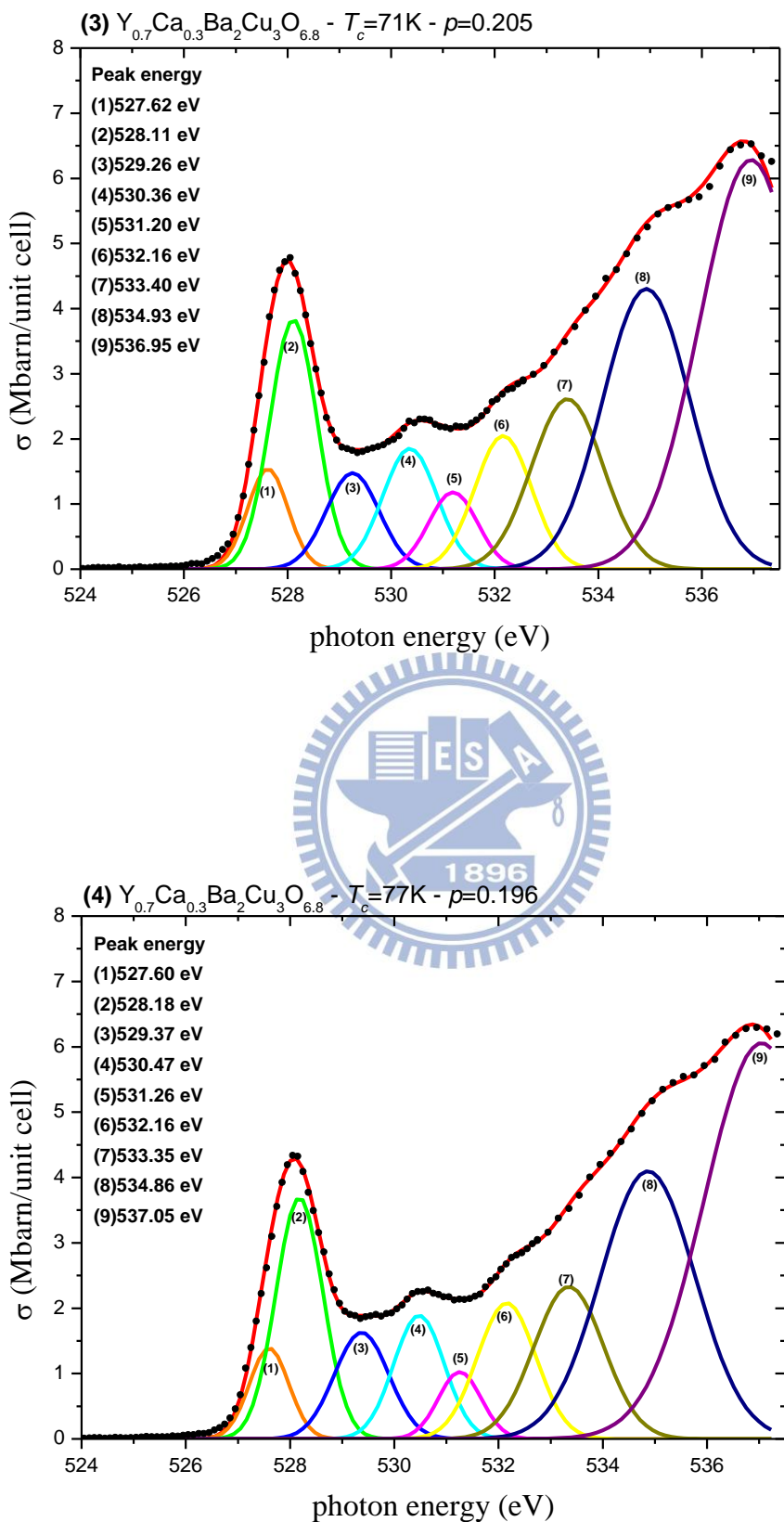
| $\text{YBa}_2\text{Cu}_3\text{O}_{6.3}(T_c=0\text{K})$ | Energy(eV) | Area     | FWHM    |
|--|------------|----------|---------|
| 1  | 527.64     | 0.40089  | 0.37998 |
| 2  | 528.37     | 1.30775  | 0.39100 |
| 3  | 529.41     | 2.98383  | 0.40098 |
| 4  | 530.33     | 2.59001  | 0.40063 |
| 5  | 531.14     | 1.02309  | 0.37564 |
| 6  | 532.12     | 3.22762  | 0.57133 |
| 7  | 533.32     | 4.02980  | 0.68001 |
| 8  | 534.75     | 10.36356 | 0.87000 |
| 9  | 536.90     | 14.73019 | 0.86000 |

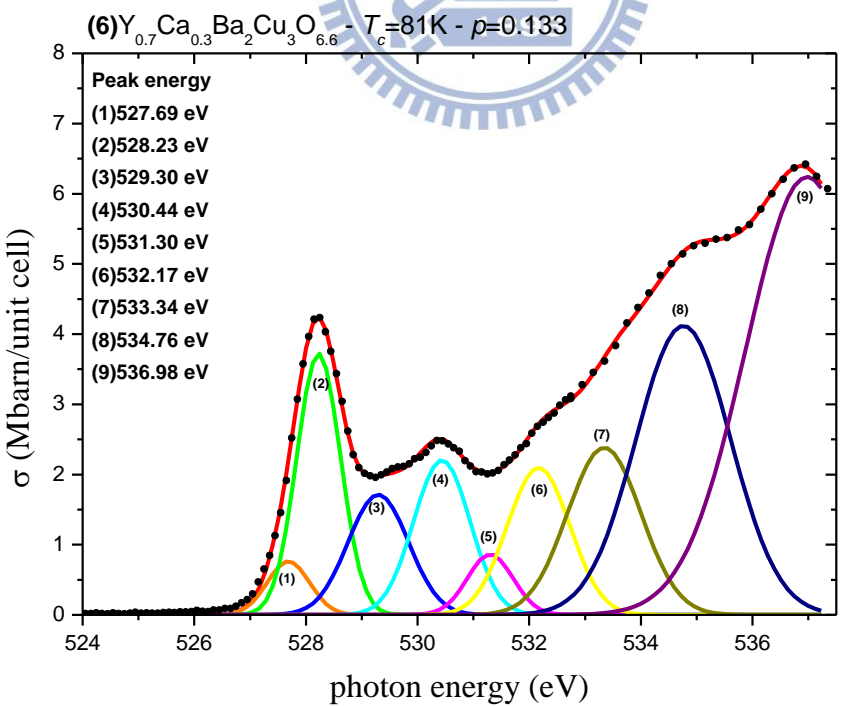
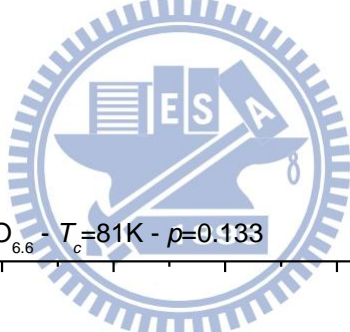
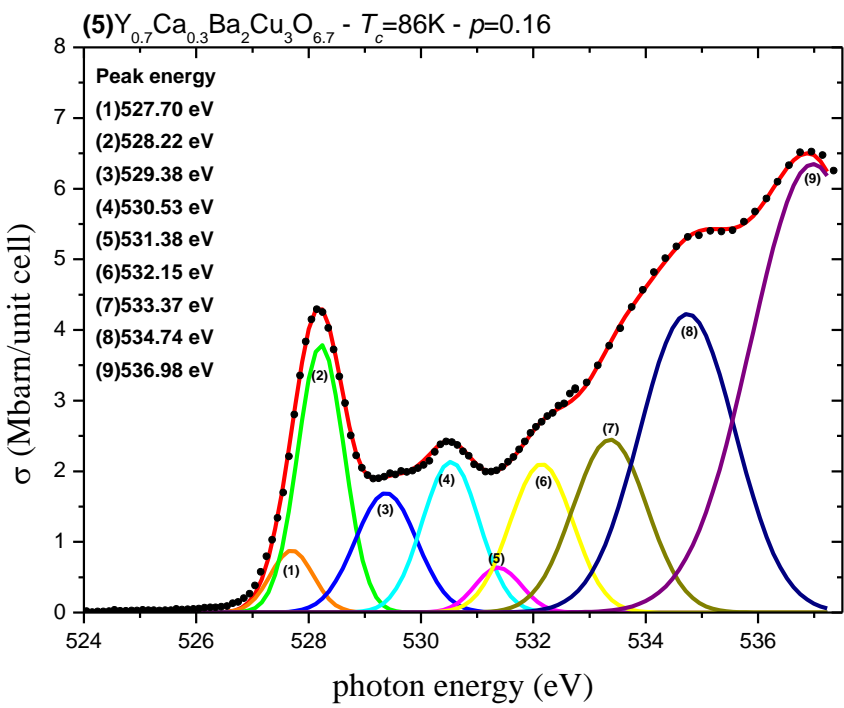
(19) $p=0.035$

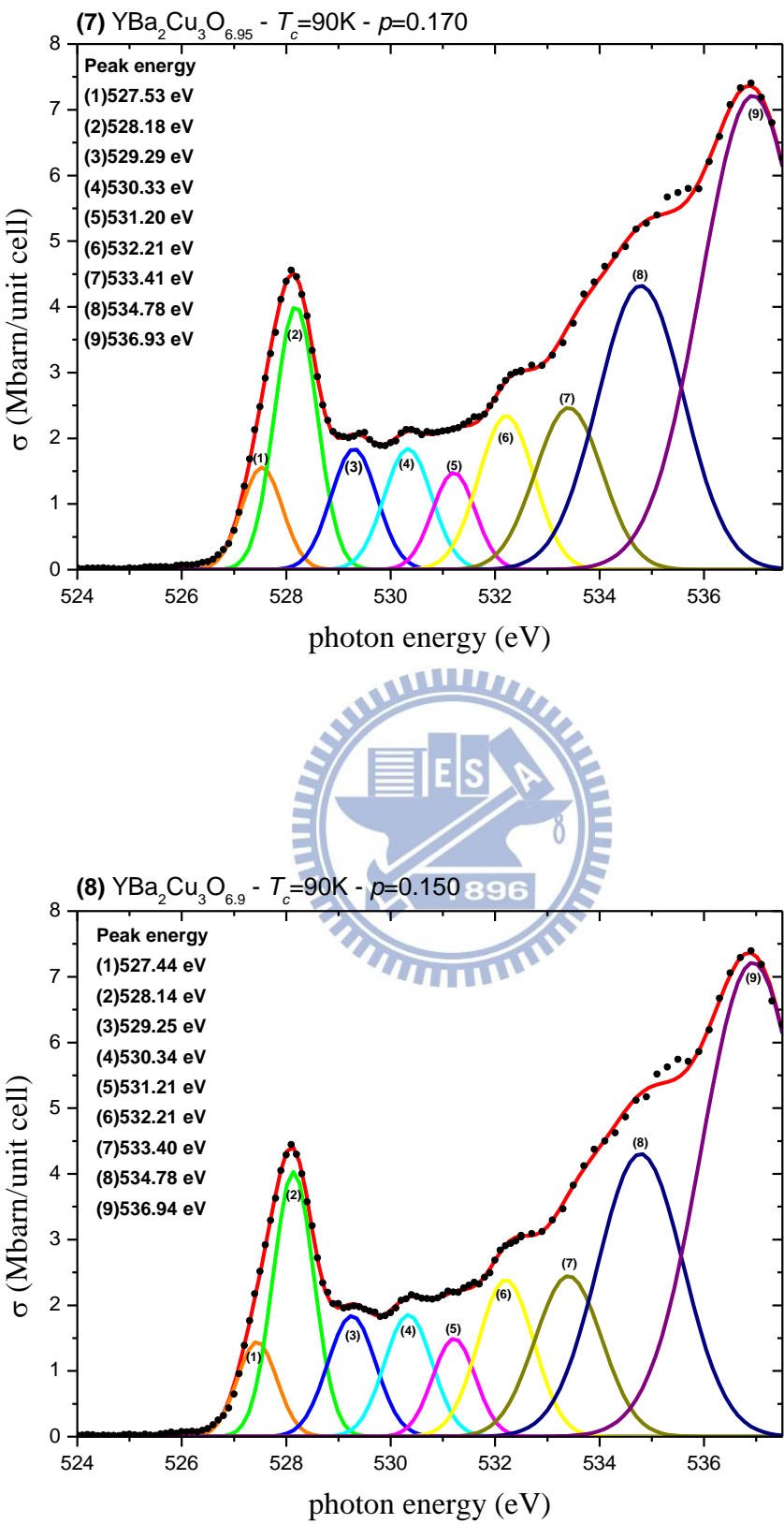
| $\text{YBa}_2\text{Cu}_3\text{O}_{6.25}(T_c=0\text{K})$ | Energy(eV) | Area     | FWHM    |
|---|------------|----------|---------|
| 1   | 527.56     | 0.32839  | 0.37998 |
| 2   | 528.25     | 1.11612  | 0.39100 |
| 3   | 529.32     | 3.13425  | 0.42098 |
| 4   | 530.22     | 2.65801  | 0.41306 |
| 5   | 531.03     | 0.94789  | 0.37564 |
| 6   | 532.01     | 3.32761  | 0.58133 |
| 7   | 533.24     | 4.09593  | 0.68000 |
| 8   | 534.66     | 10.40527 | 0.86000 |
| 9   | 536.82     | 14.65019 | 0.87000 |

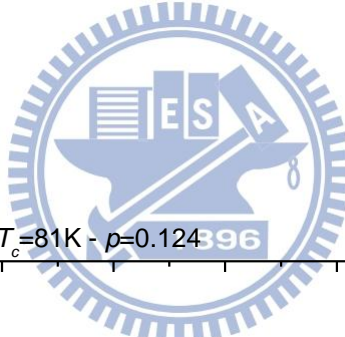
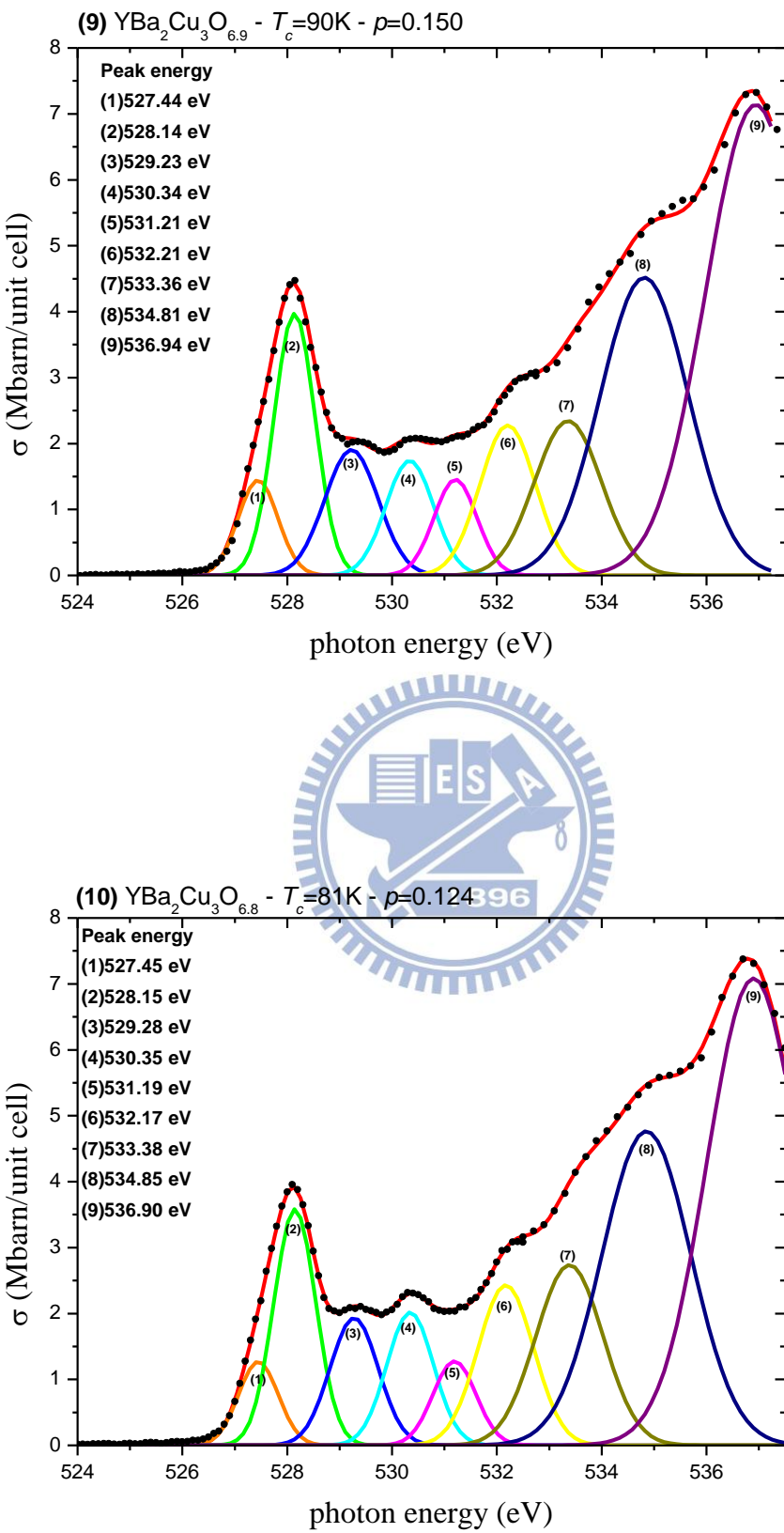
以下為上述系列樣品個別 O K edge XANES 擬合圖。

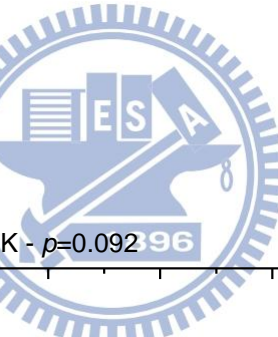
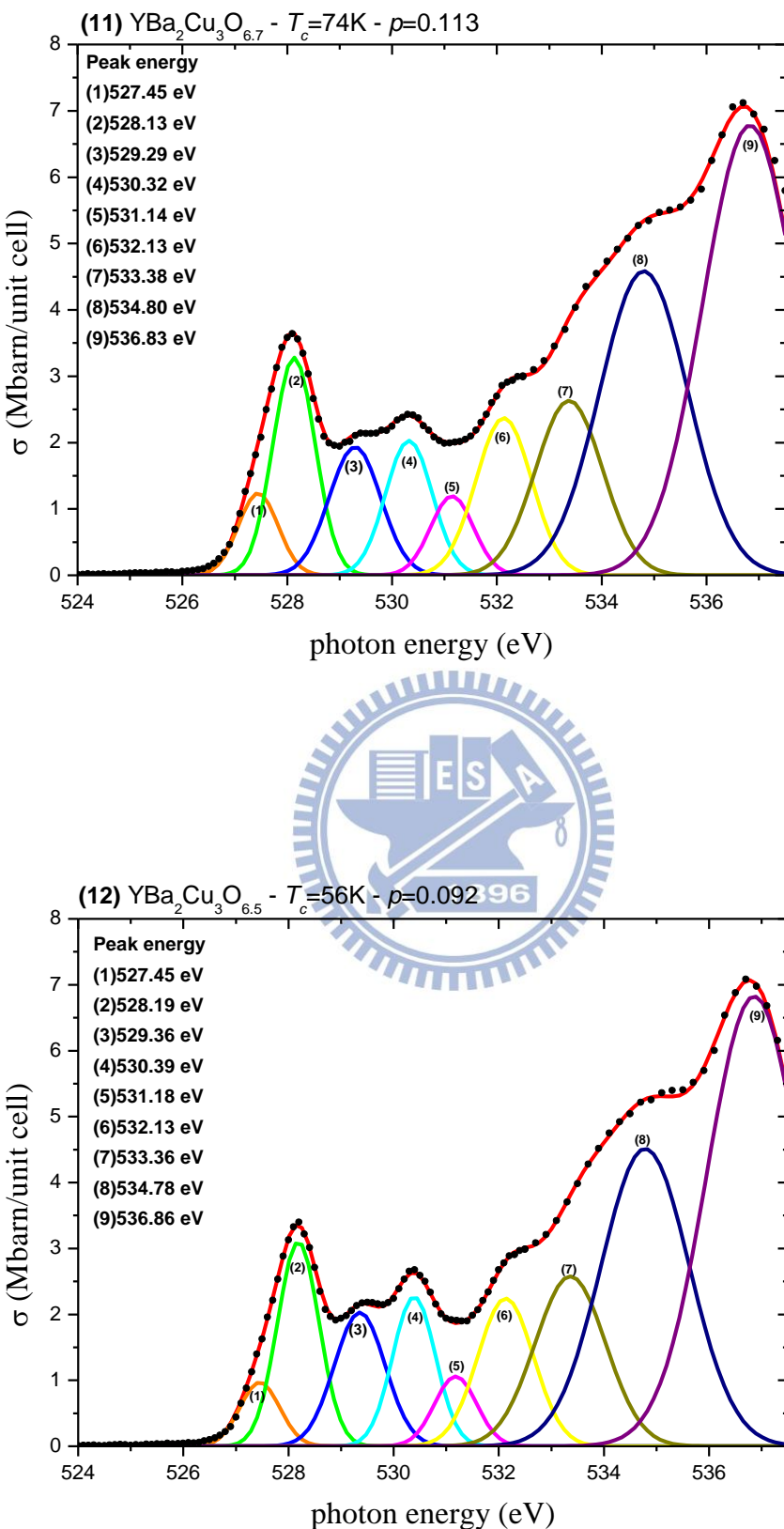


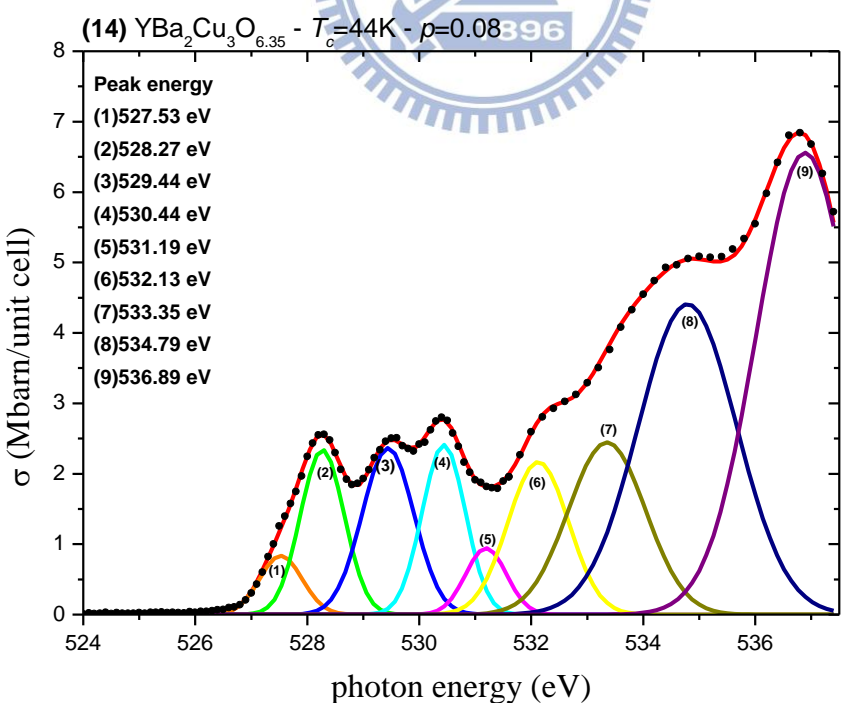
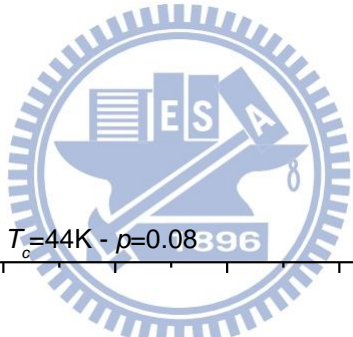
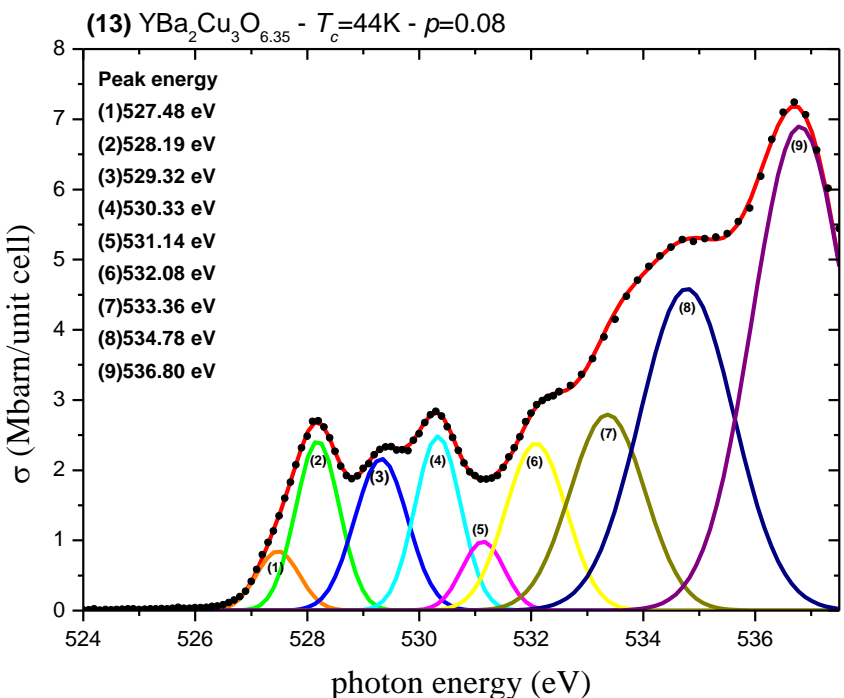


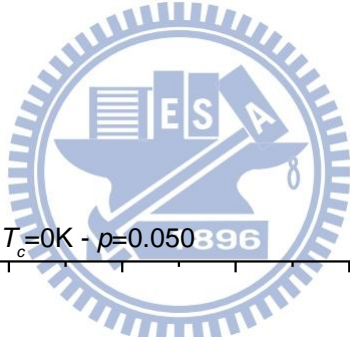
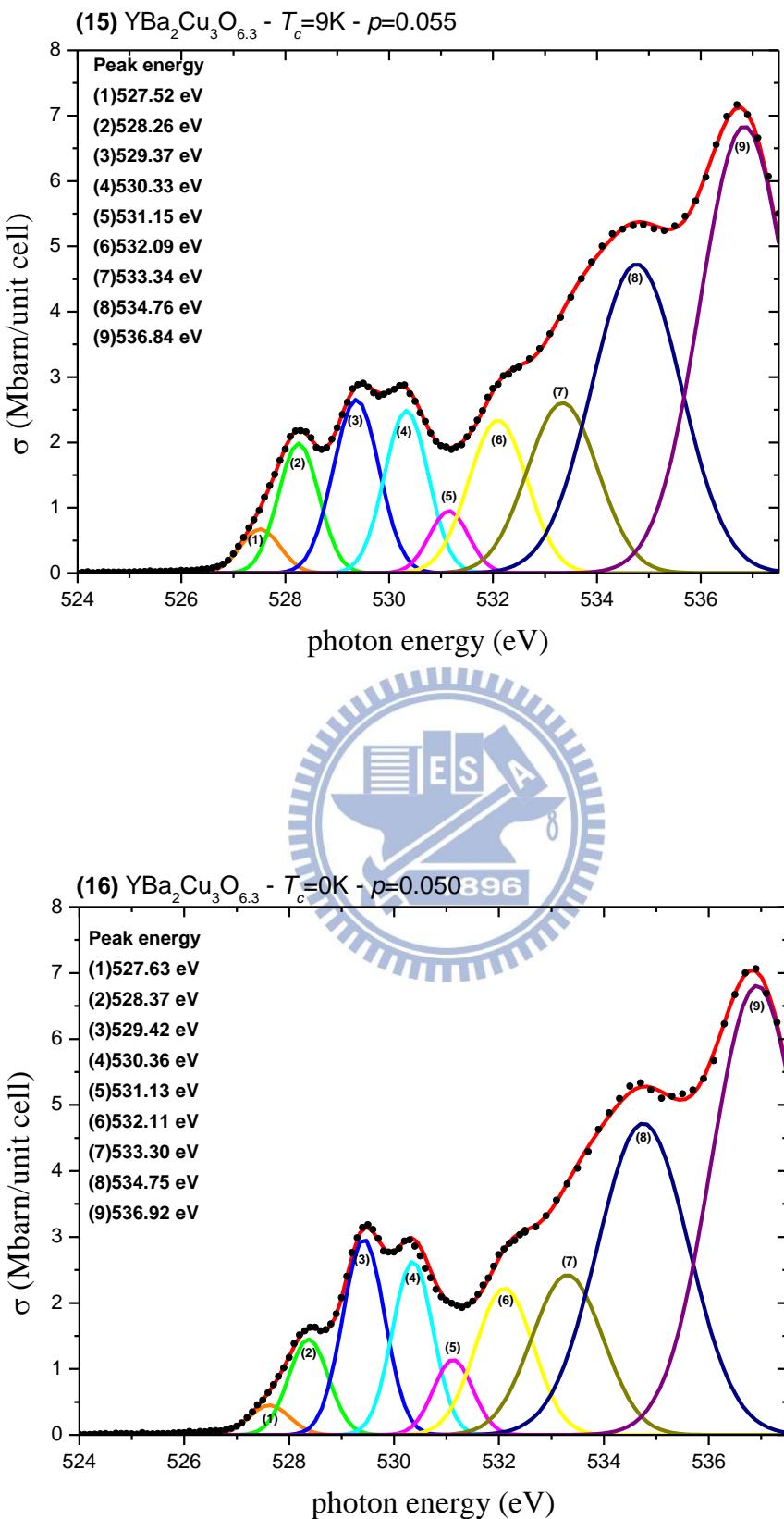


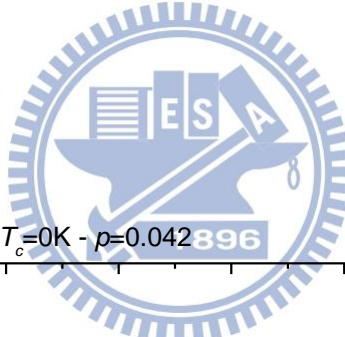
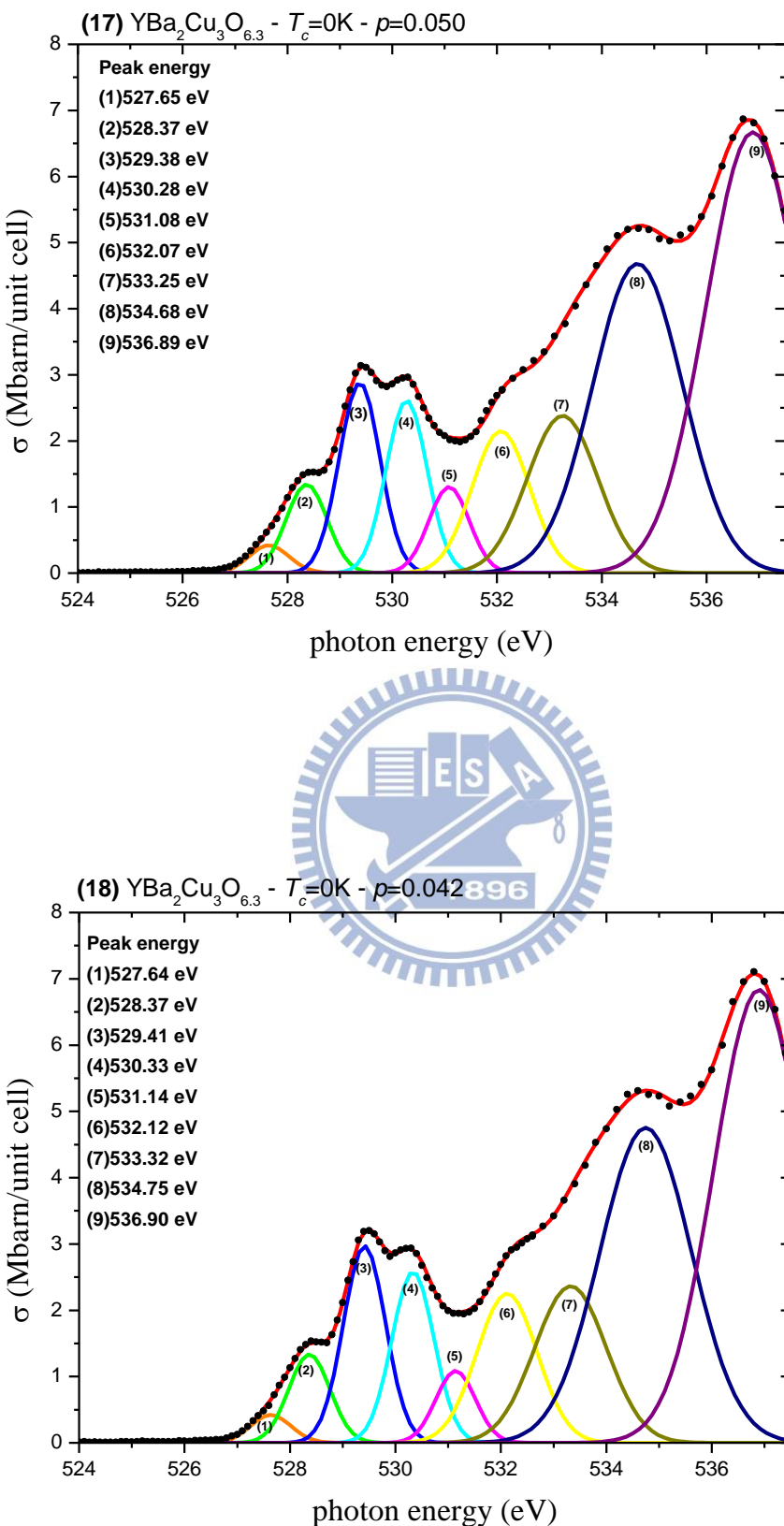


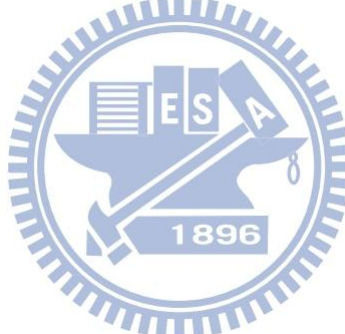
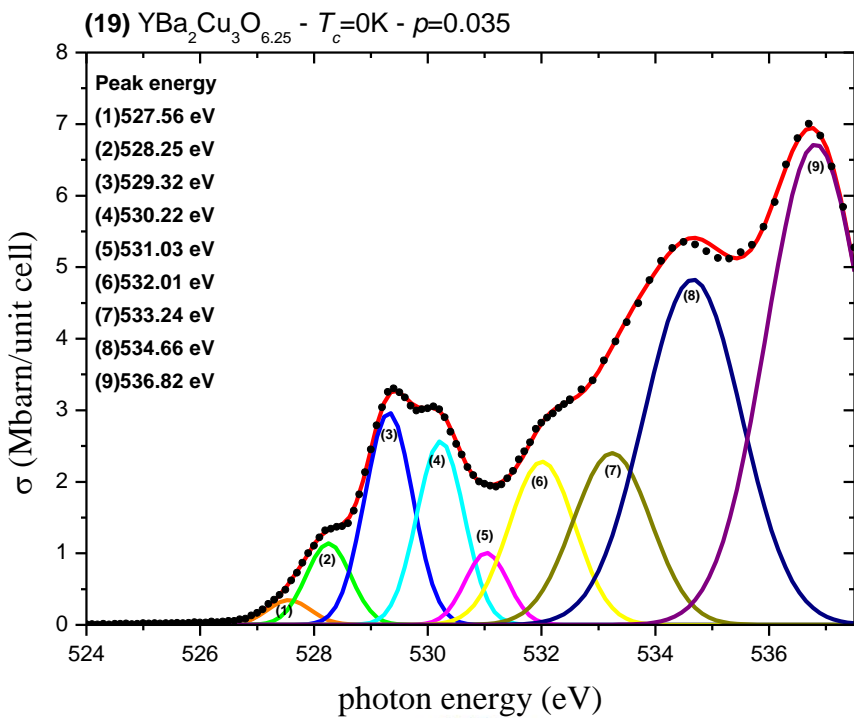






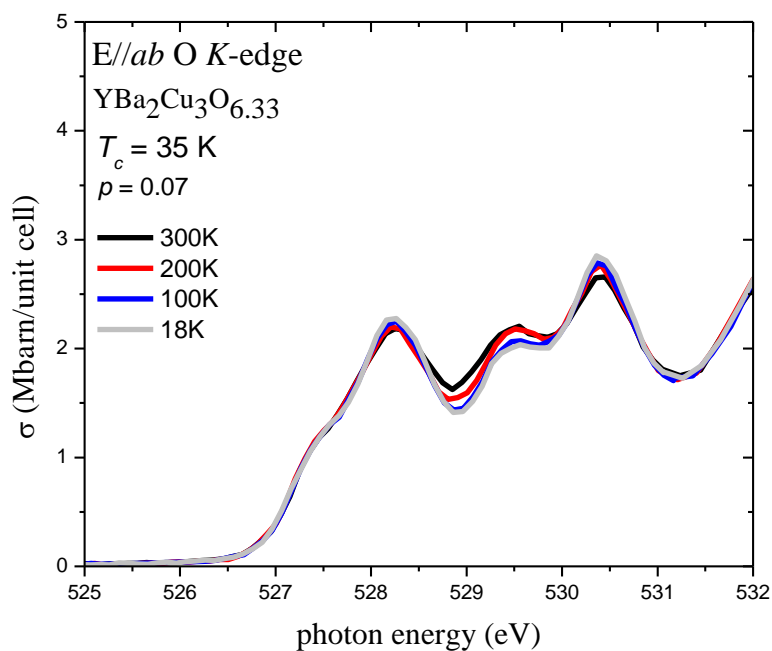
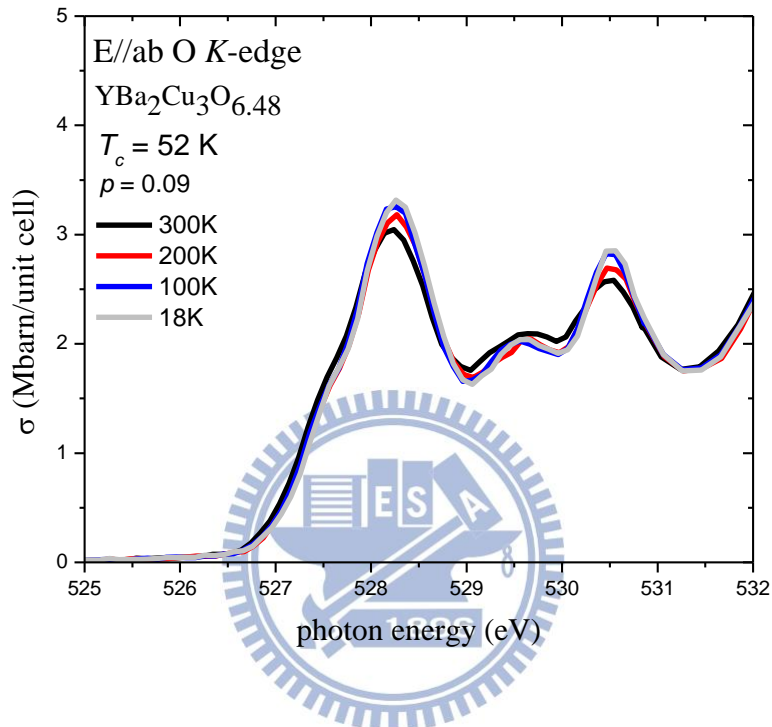


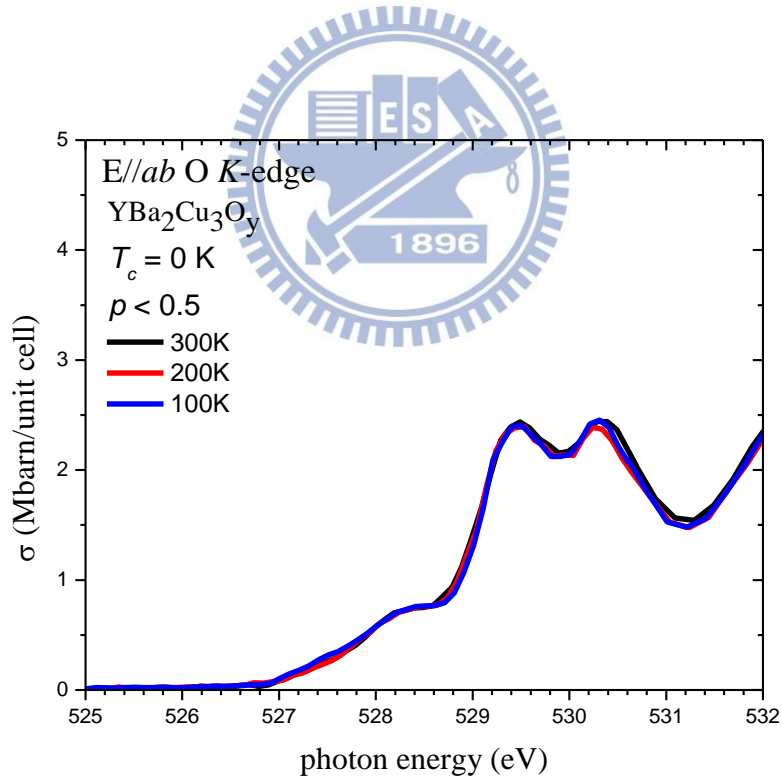
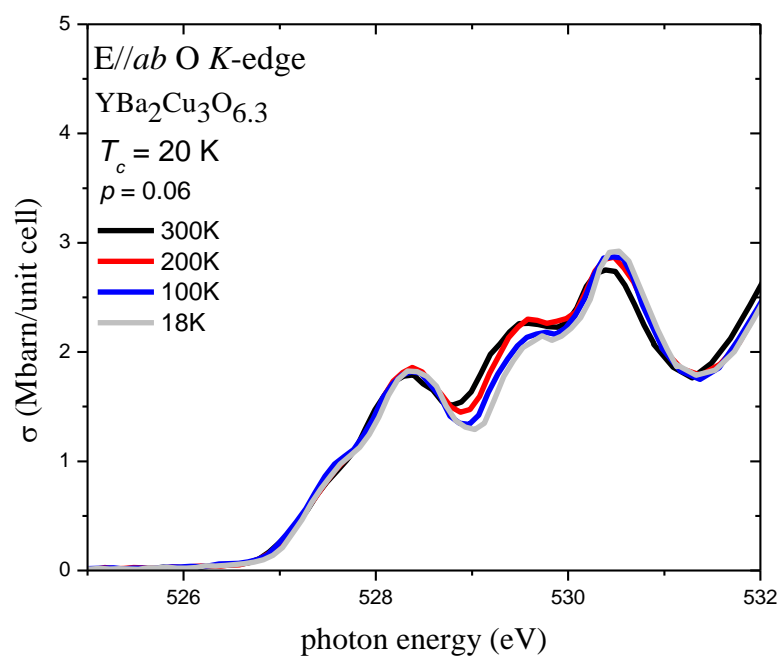




## 附 錄 二

呂宗諺學長 O K edge 變溫之 XANES 光譜圖及各溫區下  $\Delta S_{ZR}$ 、 $\Delta S_{UHB}$  之積分範圍如下：





$\text{YBa}_2\text{Cu}_3\text{O}_{6.48}$ ,  $T_c=52\text{K}$ ,  $p=0.09$

|           | $\Delta S_{\text{ZR}}$ | $\Delta S_{\text{UHB}}$ |
|-----------|------------------------|-------------------------|
| 200K-300K | 527.84eV~528.84eV      | 528.84eV~529.94eV       |
| 100K-300K | 527.74eV~528.84eV      | 528.84eV~529.94eV       |
| 18K-300K  | 527.94eV~528.84eV      | 528.84eV~529.84eV       |

$\text{YBa}_2\text{Cu}_3\text{O}_{6.33}$ ,  $T_c=35\text{K}$ ,  $p=0.07$

|           | $\Delta S_{\text{ZR}}$ | $\Delta S_{\text{UHB}}$ |
|-----------|------------------------|-------------------------|
| 200K-300K | 527.85eV~528.65eV      | 528.65eV~529.85eV       |
| 100K-300K | 527.75eV~528.55eV      | 528.55eV~529.85eV       |
| 18K-300K  | 527.85eV~528.65eV      | 528.65eV~529.85eV       |

$\text{YBa}_2\text{Cu}_3\text{O}_{6.3}$ ,  $T_c=20\text{K}$ ,  $p=0.06$

|           | $\Delta S_{\text{ZR}}$ | $\Delta S_{\text{UHB}}$ |
|-----------|------------------------|-------------------------|
| 200K-300K | 527.99eV~528.79eV      | 528.79eV~530.09eV       |
| 100K-300K | 527.99eV~528.79eV      | 528.79eV~530.09eV       |
| 18K-300K  | 527.99eV~528.79eV      | 528.79eV~530.09eV       |

$\text{YBa}_2\text{Cu}_3\text{O}_y$ ,  $T_c=0\text{K}$ ,  $p=<0.05$

|           | $\Delta S_{\text{ZR}}$ | $\Delta S_{\text{UHB}}$ |
|-----------|------------------------|-------------------------|
| 200K-300K | 527.99eV~528.79eV      | 528.79eV~529.99eV       |
| 100K-300K | 527.99eV~528.59eV      | 528.59eV~529.99eV       |

本論文 O K edge 變溫之 XANES 光譜圖及各溫區下  $\Delta S_{ZR}$ 、 $\Delta S_{UHB}$  之積

分範圍如下：

$\text{YBa}_2\text{Cu}_3\text{O}_{6.5}$ ,  $T_c=56\text{K}$ ,  $p=0.092$

|           | $\Delta S_{ZR}$   | $\Delta S_{UHB}$  |
|-----------|-------------------|-------------------|
| 340K-300K | 527.95eV~528.75eV | 528.75eV~529.95eV |
| 320K-300K | 527.95eV~528.85eV | 528.85eV~529.95eV |
| 280K-300K | 527.95eV~528.75eV | 528.75eV~529.95eV |
| 260K-300K | 527.95eV~528.75eV | 528.75eV~530.05eV |
| 240K-300K | 527.95eV~528.75eV | 528.75eV~530.05eV |
| 200K-300K | 527.95eV~528.75eV | 528.75eV~530.05eV |
| 150K-300K | 527.75eV~528.55eV | 528.55eV~529.95eV |
| 100K-300K | 527.75eV~528.45eV | 528.45eV~529.85eV |
| 50K-300K  | 527.75eV~528.45eV | 528.45eV~529.75eV |
| 18K-300K  | 527.65eV~528.45eV | 528.45eV~529.85eV |

$\text{YBa}_2\text{Cu}_3\text{O}_{6.35}$ ,  $T_c=44\text{K}$ ,  $p=0.08$

|           | $\Delta S_{ZR}$   | $\Delta S_{UHB}$  |
|-----------|-------------------|-------------------|
| 250K-300K | 527.90eV~528.70eV | 528.70eV~529.80eV |
| 200K-300K | 527.70eV~528.60eV | 528.60eV~529.90eV |
| 150K-300K | 527.80eV~528.60eV | 528.60eV~529.90eV |
| 100K-300K | 527.80eV~528.60eV | 528.60eV~529.80eV |
| 50K-300K  | 527.70eV~528.50eV | 528.50eV~529.70eV |
| 17K-300K  | 527.70eV~528.60eV | 528.60eV~529.90eV |

$\text{YBa}_2\text{Cu}_3\text{O}_{6.3}$ ,  $T_c=9\text{K}$ ,  $p=0.055$

|           | $\Delta S_{\text{ZR}}$ | $\Delta S_{\text{UHB}}$ |
|-----------|------------------------|-------------------------|
| 250K-300K | 527.80eV~528.50eV      | 528.50eV~529.80eV       |
| 200K-300K | 527.80eV~528.50eV      | 528.50eV~529.70eV       |
| 150K-300K | 527.80eV~528.50eV      | 528.50eV~529.70eV       |
| 100K-300K | 527.80eV~528.50eV      | 528.50eV~529.70eV       |
| 50K-300K  | 527.80eV~528.50eV      | 528.50eV~529.80eV       |
| 17K-300K  | 527.80eV~528.50eV      | 528.50eV~529.80eV       |

$\text{YBa}_2\text{Cu}_3\text{O}_{6.3}$ ,  $T_c=0\text{K}$ ,  $p=0.05$

|           | $\Delta S_{\text{ZR}}$ | $\Delta S_{\text{UHB}}$ |
|-----------|------------------------|-------------------------|
| 250K-300K | 527.90eV~528.50eV      | 528.50eV~529.60eV       |
| 200K-300K | 527.80eV~528.50eV      | 528.50eV~529.60eV       |
| 150K-300K | 527.80eV~528.40eV      | 528.40eV~529.80eV       |
| 100K-300K | 527.80eV~528.40eV      | 528.40eV~529.80eV       |
| 50K-300K  | 527.80eV~528.50eV      | 528.50eV~529.90eV       |
| 17K-300K  | 527.70eV~528.50eV      | 528.50eV~529.80eV       |